

Poloha břitu nástroje vzhledem k obrobku a jeho geometrický tvar jsou určeny úhly, které svírají funkční plochy s určitými pomocnými rovinami. Úhly na břitu nástroje se určují ve dvou souřadnicových soustavách:

- nástrojové
- pracovní

ad **a) Nástrojová** (statická) souřadnicová soustava, která se používá na určení geometrie břitu při konstrukci, výrobě a kontrole, přičemž jednotlivé úhly definované v této soustavě se nazývají nástrojové řezné úhly. Sem patří úhly, které jsou přímo určeny normou ISO podle tvaru vyměnitelné břitové destičky.

ad **b) Pracovní** souřadnicová soustava, podle které se určuje geometrie nástroje v průběhu procesu obrábění. Tyto úhly analogicky nazýváme pracovními úhly a jsou závislé především na poloze, ve které je břitová destička upnuta v nástrojovém držáku. Například břitová destička SNUN ..... má nástrojový úhel hřbetu  $\alpha = 0^\circ$  a čela  $\gamma = 0^\circ$ , při soustružení je však v nožovém držáku upnuta pod úhlem, čímž vznikne pracovní úhel hřbetu  $\alpha_o = 6^\circ$  a pracovní úhel čela  $\gamma_o = -6^\circ$ . Významnou měrou ovlivňují pracovní úhly i nástrojové úhly břitových destiček s předlisovanými utvářeči. Pro průběh řezného procesu jsou však významné především *pracovní úhly*.

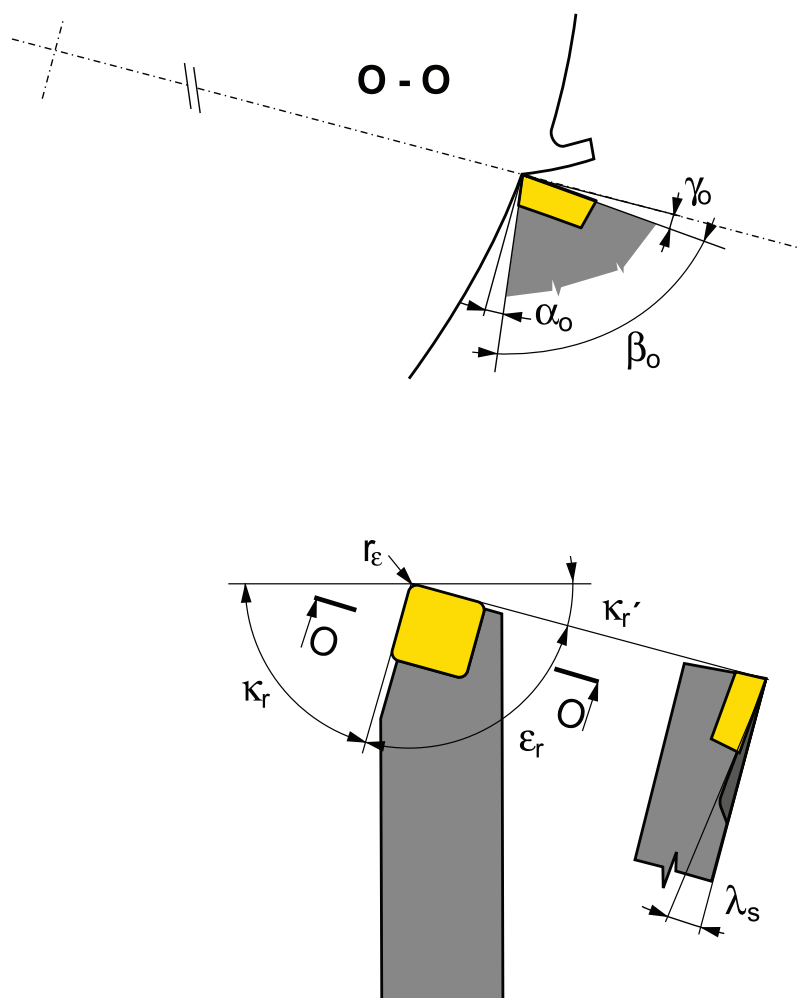
Poloha ostria nástroja vzhľadom k obrobku a jeho geometrický tvar sú určené uhlami, ktoré zvierajú funkčné plochy s určitými pomocnými rovinami. Uhly na ostrí nástroja sa určujú v dvoch súradnicových sústavách.

- nástrojovej
- pracovnej

ad **a) Nástrojová** (statická) súradnicová sústava, ktorá sa používa na určenie geometrie ostria pri konštrukcii, výrobe a kontrole, pričom jednotlivé uhly definované v tejto sústave sa nazývajú nástrojové rezné uhly. Sem patria uhly, ktoré sú priamo určené normou ISO podľa tvaru VRD.

ad **b) Pracovníá** súradnicová sústava, podľa ktorej sa určuje geometria nástroja v priebehu procesu obrábania. Tieto uhly analogicky nazývame pracovnými uhlami a sú predovšetkým závislé na polohe, v ktorej je rezná doštička upnutá v nástrojovom držiaku. Napríklad rezná doštička SNUN .... má nástrojový uhol chrbta  $\alpha = 0^\circ$  a čela  $\gamma = 0^\circ$ , pri sústružení je však v nožovom držiaku upnutá pod uhlom, čím vznikne pracovný uhol hrbta  $\alpha_o = 6^\circ$  a pracovný uhol čela  $\gamma_o = -6^\circ$ . Významnou mierou ovplyvňujú pracovné uhly aj nástrojové uhly rezných doštičiek s predlisovanými utváračmi. Pre priebeh rezného procesu sú však významné predovšetkým pracovné uhly.

Obrázek č. 13 / Obrázok č. 13



Základní úhly nástroje jsou v obrázku naznačeny jednak v *základní nástrojové rovině* (proložené dosedací plochou nožového držáku) a v *normálové nástrojové rovině* (proložené kolmo na ostří - řez O–O).

Jde o následující úhly:

**Úhel čela  $\gamma_o$**  - má podstatný vliv na řezný proces. Na jeho velikosti závisí průběh a velikost plastických deformací při tvorbě třísky, tím určuje i velikost řezných sil a úroveň tepelného zatížení bříty. U nástrojů s výměnnými břitovými destičkami pro soustružení i frézování se jeho velikost pohybuje v poměrně širokém rozmezí  $\gamma_o = +25^\circ$  až  $-15^\circ$ . Kladný úhel zlepšuje podmínky tvoření třísky, zmenšuje velikost řezných sil i úroveň řezných teplot. Záporný úhel čela zvyšuje pevnost bříty, ale současně zvyšuje i plastické deformace při tvorbě třísky a tím i řezné síly a teploty.

**Úhel hřbetu  $\alpha_o$**  má vliv na velikost tření mezi hřbetem a plochou řezu, se vzrůstajícím úhlem  $\alpha_o$  se tření zmenšuje a tím se zmenšuje i opotřebení hřbetu.

**Úhel bříty  $\beta_o$**  je úhel řezného klínu břitové destičky, se zvětšujícím se úhlem  $\beta_o$  se zvětšuje pevnost bříty (odolnost bříty proti rázům), ale současně stoupá řezný odpor, který klade obráběný materiál vnikajícímu břítu.

**Úhel sklonu ostří  $\lambda_s$**  určuje místo prvního dotyku bříty s obrobkem, což má význam zejména při přerušovaném řezu. Při kladných hodnotách  $\lambda_s$  je místo prvního dotyku blíže ke špičce břitové destičky. Záporný úhel  $\lambda_s$  oddaluje místo prvního dotyku dále od špičky a tím zvyšuje odolnost bříty proti mechanickým rázům. Kromě toho ovlivňuje úhel  $\lambda_s$  i směr odchodu třísky. Při záporném úhlu  $\lambda_s$  (špička je nejnižším bodem ostří) odchází tříska směrem k obrobené ploše. Naopak při kladném úhlu  $\lambda_s$  je odcházející tříska směřována od obrobené plochy.

**Úhel nastavení hlavního bříty  $\kappa_r$**  má zejména vliv na tvar průřezu třísky. Se zmenšujícím se úhlem  $\kappa_r$  je při určitém posuvu  $f$  a hloubce řezu  $a_p$  tříska tenčí a širší a naopak při  $\kappa_r = 90^\circ$  je tloušťka třísky  $h = f$  a šířka třísky  $b = a_p$ .

**Úhel nastavení vedlejšího bříty  $\kappa_r'$**  spolu s poloměrem zaoblení špičky  $r_\epsilon$  určují především výslednou drsnost obrobeného povrchu.

Základné uhly nástroja sú v obrázku naznačené jednak v *základnej nástrojovej rovine* (preložené dosadacou plochou nožového držiaka) a v *normálovej rovine* (preložené kolmo na ostrie - rez O–O).

Ide o nasledujúce uhly:

**Uhol čela  $\gamma_o$**  - má podstatný vplyv na rezný proces. Na jeho veľkosti závisí priebeh a veľkosť plastických deformácií pri tvorbe triesky, tým určuje aj veľkosť rezných síl a úroveň tepelného zaťaženia ostria. Pri nástrojoch s vymeniteľnými reznými dosťčkami pre sústruženie a frézovanie sa jeho veľkosť pohybuje v pomerne širokom rozmedzí  $\gamma_o = +25^\circ$  až  $-15^\circ$ . Kladný uhol čela zvyšuje pevnosť ostria, ale súčasne zvyšuje aj plastické deformácie pri tvorbe triesky a tým aj rezné sily a teploty. Záporný uhol čela zvyšuje pevnosť ostria, ale súčasne zvyšuje aj plastickú deformáciu pri tvorbe triesky a tým aj reznej sily a teploty.

**Uhol chrbtu  $\alpha_o$**  má vplyv na veľkosť trenia medzi chrbtom a plochou rezu, so vzrastajúcim uhlom  $\alpha_o$  sa trenie zmenšuje a tým sa zmenšuje aj opotrebenie na chrbte.

**$\beta_o$**  je uhol rezného klinu reznej dosťčky. So zväčšujúcim sa uhlom  $\beta_o$  sa zväčšuje pevnosť ostria (odolnosť ostria proti rázom), ale súčasne stúpa rezný odpor, ktorý klade obrábaný materiál vnikajúcemu ostriu.

**Uhol sklonu ostria  $\lambda_s$**  určuje miesto prvního dotyku ostria s obrobkom, čo má význam najmä pri prerušovanom reze. Pri kladných hodnotách  $\lambda_s$  je miesto prvního dotyku bližšie k špičke reznej dosťčky. Záporný uhol  $\lambda_s$  oddaluje miesto prvního dotyku ďalej od špičky a tým zvyšuje odolnosť ostria proti mechanickým rázom. Okrem toho ovplyvňuje uhol  $\lambda_s$  smer odchodu triesky. Pri zápornom uhle  $\lambda_s$  (špička je najnižším bodom ostria), odchádza trieska smerom k obrobenej ploche. Naopak pri kladnom uhle  $\lambda_s$  je odchádzajúca trieska nasmerovaná od obrobenej plochy.

**Uhol nastavenia hlavného ostria  $\kappa_r$**  má najmä vplyv na tvar prierezu triesky. So zmenšujúcim sa uhlom  $\kappa_r$  je pri určitom posuve  $f$  a hĺbke rezu  $a_p$  trieska tenšia a širšia a naopak, pri  $\kappa_r = 90^\circ$  je hrúbka triesky  $h = f$  a šírka triesky  $b = a_p$ .

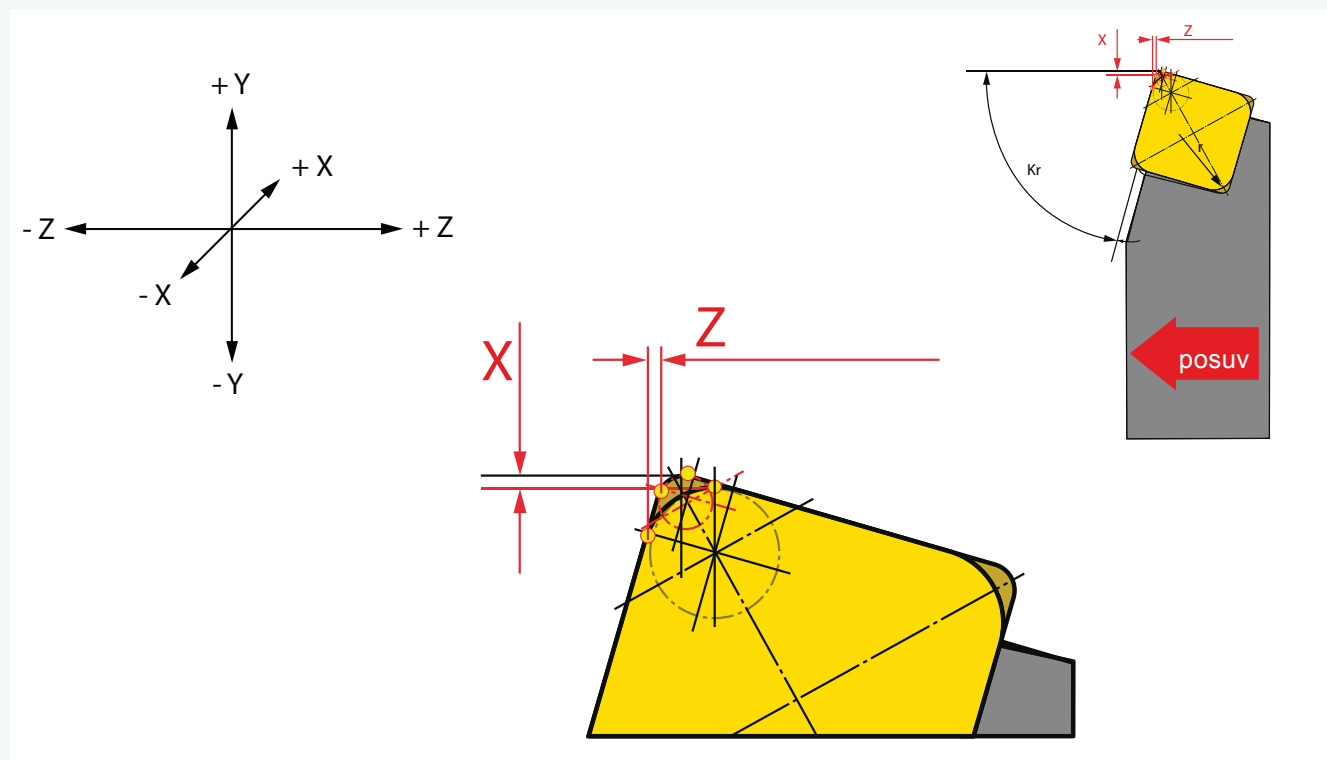
**Uhol nastavenia vedľajšieho ostria  $\kappa_r'$**  spolu s polomerom zaoblenia špičky  $r_\epsilon$  určujú predovšetkým výslednú drsnosť obrobeného povrchu.

Změna rozměrů (korekce) při použití rádiusu:

Obrázek č. 14

Zmena rozmeru (korekcie) pri použití rádiusu:

Obrázok č. 14



Tabulka č. 14

Tabulka č. 14

**POZOR** - data platí pro pravé vnější nože orientované dle obrázku č.14.  
 - pro nože vnitřní, levé popř. jinak orientované je nutné provést korekturu znamének +/- resp. zaměnit hodnoty X/Z  
**POZOR** - údaje platia pre pravé vonkajšie nože, orientované podľa obrázka č.14.  
 - pre vnútorné nože, ľavé alebo inak orientované je potrebné vykonať korekturu znamienok +/-, resp. zameniť hodnoty X/Z

držák držák		souřadnice souřadnice	radius 0,5	radius 1,0	radius 1,5					
Vnější nože Vonkajše nože	CKJNR/L	X	0,443	0,000	-0,433					
		Z	-0,050	0,000	0,050					
držák držák		souřadnice souřadnice	radius 02	radius 04	radius 08	radius 12	radius 16	radius 24	radius 32	
Vnější nože Vonkajše nože	DCLNR/L	X	0,060	0,040	0,000	-0,040	-0,080	-0,160	-0,240	
		Z	-0,062	-0,042	0,000	0,042	0,083	0,166	0,249	
	DDJNR/L	X	0,516	0,347	0,000	-0,329	-0,667	-1,343	-2,019	
		Z	-0,056	-0,041	0,000	0,022	0,054	0,117	0,180	
	DSBnr/L	X	0,252	0,170	0,000	-0,158	-0,322	-0,649	-0,977	
		Z	0,422	0,280	0,000	-0,285	-0,568	-1,134	-1,700	
	DTGnr/L	X	0,437	0,294	0,000	-0,277	-0,562	-1,133	-1,703	
		Z	0,000	0,000	0,000	0,000	0,000	0,000	0,000	
	DWLnr/L	X	0,061	0,044	0,000	-0,026	-0,061	-0,131	-0,200	
		Z	-0,063	-0,045	0,000	0,027	0,062	0,134	0,206	
	DCLNR/L	X	0,060	0,040	0,000	-0,040	-0,080	-0,160	-0,240	
		Z	-0,062	-0,042	0,000	0,042	0,083	0,166	0,249	
	Vnitřní nože Vnútorné nože	DTFnr/L	X	-0,425	-0,289	0,000	0,254	0,526	1,069	1,613
			Z	0,000	0,000	0,000	0,000	0,000	0,000	0,000
Vnější nože Vonkajše nože	MTJnr/L	X	0,437	0,294	0,000	-0,277	-0,562	-1,133	-1,703	
		Z	0,000	0,000	0,000	0,000	0,000	0,000	0,000	

	držák držiak	souřadnice súradnice	radius 02	radius 04	radius 08	radius 12	radius 16	radius 24	radius 32
Vnější nože Vonkajšie nože	MVJNR/L	X	1,263	0,847	0,000	-0,819	-1,651	-3,317	-4,982
		Z	-0,075	-0,055	0,000	0,025	0,065	0,146	0,226
	MWLNR/L	X	0,609	0,044	0,000	-0,026	-0,061	-0,131	-0,200
		Z	-0,063	-0,045	0,000	0,027	0,062	0,134	0,206
	PCBNR/L	X	0,045	0,033	0,000	-0,016	-0,040	-0,088	-0,137
		Z	0,128	0,083	0,000	-0,096	-0,185	-0,364	-0,543
	PCKNR/L	X	0,171	0,115	0,000	-0,110	-0,223	-0,448	-0,672
		Z	0,685	0,457	0,000	-0,457	-0,914	-1,827	-2,741
	PCLNR/L	X	0,061	0,044	0,000	-0,026	-0,061	-0,131	-0,200
		Z	-0,063	-0,045	0,000	0,027	0,062	0,134	0,206
	PDJNR/L	X	0,516	0,347	0,000	-0,329	-0,667	-1,343	-2,019
		Z	-0,056	-0,041	0,000	0,022	0,054	0,117	0,180
	PDNNR/L	X	0,699	0,469	0,000	-0,453	-0,915	-1,837	-2,759
		Z	0,524	0,348	0,000	-0,357	-0,710	-1,415	-2,120
	PDXNR/L	X	0,453	0,305	0,000	-0,288	-0,584	-1,177	-1,770
		Z	-0,156	-0,107	0,000	0,088	0,185	0,380	0,575
	PLBNR/L	X	0,137	0,094	0,000	-0,078	-0,163	-0,335	-0,507
		Z	0,153	0,100	0,000	-0,110	-0,220	-0,433	-0,646
	PSBNR/L	X	0,137	0,094	0,000	-0,078	-0,163	-0,335	-0,507
		Z	0,153	0,100	0,000	-0,110	-0,220	-0,433	-0,646
	PSDNN	X	0,252	0,170	0,000	-0,158	-0,322	-0,649	-0,977
		Z	0,422	0,280	0,000	-0,285	-0,568	-1,134	-1,699
	PSKNR/L	X	0,140	0,094	0,000	-0,090	-0,152	-0,366	-0,550
		Z	0,574	0,383	0,000	-0,384	-0,767	-1,533	-2,300
	PSSNR/L	X	0,246	0,164	0,000	-0,164	-0,328	-0,656	-0,983
		Z	0,424	0,283	0,000	-0,283	-0,566	-1,131	-1,697
	PTFNR/L	X	0,000	0,000	0,000	0,000	0,000	0,000	0,000
		Z	-0,411	-0,243	0,000	0,429	0,765	1,437	2,110
	PTGNR/L	X	0,437	0,294	0,000	-0,277	-0,562	-1,133	-1,703
		Z	0,000	0,000	0,000	0,000	0,000	0,000	0,000
PTTNR/L	X	0,601	0,403	0,000	-0,389	-0,784	-1,575	-2,367	
	Z	0,519	0,345	0,000	-0,354	-0,703	-1,401	-2,099	
PWLNR/L	X	0,609	0,044	0,000	-0,026	-0,061	-0,131	-0,200	
	Z	-0,063	-0,045	0,000	0,027	0,062	0,134	0,206	
PCLNR/L	X	-0,061	-0,046	0,000	0,012	0,040	0,098	0,156	
	Z	-0,062	-0,047	0,000	0,015	0,046	0,160	0,169	
VDUNR/L	X	-0,500	-0,339	0,000	0,305	0,627	1,271	1,915	
	Z	-0,052	-0,040	0,000	0,006	0,029	0,076	0,122	
VPSKNR/L	X	-0,153	-0,097	0,000	0,063	0,143	0,303	0,463	
	Z	0,137	0,098	0,000	-0,124	-0,234	-0,456	-0,677	
VPTFNR/L	X	-0,425	-0,289	0,000	0,254	0,526	1,069	1,613	
	Z	0,000	0,000	0,000	0,000	0,000	0,000	0,000	
VPWLNR/L	X	-0,060	-0,046	0,000	0,012	0,043	0,098	0,156	
	Z	-0,065	-0,049	0,000	0,012	0,040	0,105	0,166	
VSCACR/L	X	0,115	0,077	0,000	-0,077	-0,153	-0,307	-0,460	
	Z	0,000	0,000	0,000	0,000	0,000	0,000	0,000	
VSCBCR/L	X	0,042	0,028	0,000	-0,028	-0,055	-0,111	-0,166	
	Z	0,130	0,087	0,000	-0,087	-0,174	-0,347	-0,521	

ZMĚNA ROZMĚRŮ (KOREKCE) PŘI POUŽITÍ RÁDIUSU  
ZMENA ROZMERU (KOREKCE) PRI POUŽITÍ RÁDIUSU

	držák držiak	souřadnice súradnice	radius 02	radius 04	radius 08	radius 12	radius 16	radius 24	radius 32
Vnější nože Vonkajšie nože	SCDCR/L	X	0,000	0,000	0,000	0,000	0,000	0,000	0,000
		Z	-0,279	-0,186	0,000	0,186	0,372	0,745	1,117
	SCFCR/L	X	0,000	0,000	0,000	0,000	0,000	0,000	0,000
		Z	-0,124	-0,083	0,000	0,083	0,166	0,331	0,497
	SCLCR/L	X	0,060	0,040	0,000	-0,040	-0,080	-0,160	-0,240
		Z	-0,062	-0,042	0,000	0,042	0,083	0,166	0,249
	SDJCR/L	X	0,520	0,346	0,000	-0,346	-0,693	-1,386	-2,078
		Z	-0,060	-0,040	0,000	0,040	0,080	0,161	0,241
	SDNCN	X	0,699	0,466	0,000	-0,466	-0,933	-1,865	-2,798
		Z	0,000	0,000	0,000	0,000	0,000	0,000	0,000
	SEGCR/L	X	0,000	0,000	0,000	0,000	0,000	0,000	0,000
		Z	-0,182	-0,121	0,000	0,121	0,243	0,485	0,728
	SSBCR/L	X	0,135	0,090	0,000	-0,090	-0,180	-0,360	-0,539
		Z	0,155	0,104	0,000	-0,104	-0,207	-0,414	-0,621
	SSDCN	X	0,249	0,166	0,000	-0,166	-0,331	-0,663	-0,994
		Z	0,000	0,000	0,000	0,000	0,000	0,000	0,000
	SSKCR/L	X	-0,376	-0,517	0,000	-1,083	-1,366	-1,931	-2,497
		Z	-0,135	-0,090	0,000	0,090	0,180	0,360	0,539
	STCFR/L	X	0,000	0,000	0,000	0,000	0,000	0,000	0,000
		Z	-	-	0,000	-	-	-	-
	STJCR/L	X	0,406	0,271	0,000	-0,271	-0,542	-1,084	-1,626
		Z	-0,054	-0,036	0,000	0,036	0,071	0,143	-0,214
	SVACR/L	X	00 / 0	01 / -0,107	-	-	-	-	-
		Z	00 / 0	01 / -0,107	-	-	-	-	-
	SVGCR/L	X	0,000	0,000	0,000	0,000	0,000	0,000	0,000
		Z	-1,303	-0,869	0,000	0,869	1,737	3,475	5,212
	SVHBR/L	X	1,034	0,690	0,000	-0,690	-1,379	-2,759	-4,138
		Z	-0,544	-0,363	0,000	0,363	0,726	1,452	2,178
	SVHCR/L	X	1,034	0,690	0,000	-0,690	-1,379	-2,759	-4,138
		Z	-0,544	-0,363	0,000	0,363	0,726	1,452	2,178
	SVJBR/L	X	1,269	0,846	0,000	-0,846	-1,692	-3,384	-5,076
		Z	-0,099	-0,066	0,000	0,066	0,132	0,263	0,395
	SVJCR/L	X	1,269	0,846	0,000	-0,846	-1,692	-3,384	-5,076
		Z	-0,099	-0,066	0,000	0,066	0,132	0,263	0,395
	SVPBR/L	X	0,811	0,541	0,000	-0,541	-1,081	-2,162	-3,244
		Z	-0,811	-0,541	0,000	0,541	1,081	2,162	3,244
	SVPCR/L	X	0,811	0,541	0,000	-0,541	-1,081	-2,162	-3,244
		Z	-0,811	-0,541	0,000	0,541	1,081	2,162	3,244
	SVVBN	X	1,395	0,930	0,000	-0,930	-1,860	-3,721	-5,581
		Z	0,000	0,000	0,000	0,000	0,000	0,000	0,000
SVVCN	X	1,395	0,930	0,000	-0,930	-1,860	-3,721	-5,581	
	Z	0,000	0,000	0,000	0,000	0,000	0,000	0,000	
SVXBR/L	X	1,201	0,801	0,000	-0,080	-1,601	-3,202	-4,804	
	Z	-0,259	-0,173	0,000	0,173	0,345	0,691	1,036	
SVXCR/L	X	1,201	0,801	0,000	-0,080	-1,601	-3,202	-4,804	
	Z	-0,259	-0,173	0,000	0,173	0,345	0,691	1,036	
SWLCR/L	X	0,060	0,040	0,000	-0,040	-0,080	-0,160	-0,240	
	Z	-0,060	-0,040	0,000	0,040	0,080	0,160	0,240	

	držák držiak	souřadnice súradnice	radius 02	radius 04	radius 08	radius 12	radius 16	radius 24	radius 32
Vnitřní nože Vnútorné nože	SCFCR/L	X	-0,420	-0,280	0,000	0,280	0,560	1,121	1,681
		Z	0,000	0,000	0,000	0,000	0,000	0,000	0,000
	SCKCR/L	X	-0,040	-0,027	0,000	0,027	0,054	0,108	0,161
		Z	0,130	0,087	0,000	-0,087	-0,174	-0,348	0,521
	SCLCR/L	X	-0,058	-0,039	0,000	0,039	0,078	0,155	0,233
		Z	-0,062	-0,042	0,000	0,042	0,083	0,166	0,249
	SCXCR/L	X	-0,178	-0,119	0,000	0,119	0,237	0,474	0,711
		Z	0,000	0,000	0,000	0,000	0,000	0,000	0,000
	SDQCR/L	X	-0,309	-0,194	0,000	0,206	0,412	0,825	1,237
		Z	-0,310	-0,206	0,000	0,268	0,499	0,961	1,423
	SDUCR/L	X	-0,504	-0,336	0,000	0,336	0,672	1,344	2,016
		Z	-0,059	-0,039	0,000	0,041	0,082	0,162	0,242
	SDZCR/L	X	-0,520	-0,346	0,000	0,346	0,693	1,386	2,078
		Z	0,059	0,039	0,000	-0,041	-0,082	-0,162	-0,242
	SELPR/L	X	-0,126	-0,084	0,000	0,084	0,168	0,337	0,511
		Z	-0,066	-0,044	0,000	0,044	0,088	0,176	0,264
	SEUCR/L	X	-0,149	-0,099	0,000	0,099	0,199	0,397	0,596
		Z	-0,041	-0,027	0,000	0,027	0,053	0,107	0,160
	SEUPR/L	X	-0,148	-0,099	0,000	0,099	0,198	0,396	0,593
		Z	-0,040	-0,027	0,000	0,027	0,053	0,107	0,160
	SEXPR/L	X	-0,384	-0,256	0,000	0,256	0,512	1,024	1,537
		Z	0,000	0,000	0,000	0,000	0,000	0,000	0,000
	SSSCR/L	X	-0,249	-0,166	0,000	0,166	0,331	0,663	0,994
		Z	0,000	0,000	0,000	0,000	0,000	0,000	0,000
	STFCR/L	X	-0,433	-0,289	0,000	0,289	0,577	1,154	1,731
		Z	0,000	0,000	0,000	0,000	0,000	0,000	0,000
	SVLCR/L	X	-1,243	-0,828	0,000	0,828	1,657	3,314	4,971
		Z	0,239	0,692	0,000	-0,108	-0,215	-0,430	-0,645
SVQBR/L	X	-1,027	-0,684	0,000	0,690	1,369	2,738	4,106	
	Z	-0,545	-0,363	0,000	0,363	0,726	1,452	2,178	
SVQCR/L	X	-1,027	-0,684	0,000	0,690	1,369	2,738	4,106	
	Z	-0,545	-0,363	0,000	0,363	0,726	1,452	2,178	
SVUBR/L	X	-1,259	-0,840	0,000	0,840	1,679	3,358	5,037	
	Z	0,099	-0,066	0,000	0,066	0,132	0,263	0,395	
SVUCR/L	X	-1,259	-0,840	0,000	0,840	1,679	3,358	5,037	
	Z	0,099	-0,066	0,000	0,066	0,132	0,263	0,395	
SVXCR/L	X	-0,917	-0,611	0,000	0,611	1,222	2,445	3,667	
	Z	-0,696	-0,464	0,000	0,464	0,928	1,856	2,783	
SWLCR/L	X	-0,060	-0,039	0,000	0,039	0,079	0,158	0,237	
	Z	-0,060	-0,040	0,000	0,040	0,080	0,160	0,240	
SWUCR/L	X	-0,080	-0,053	0,000	0,053	0,107	0,213	0,319	
	Z	-0,034	-0,024	0,000	0,024	0,049	0,098	0,146	

- POZOR** - data platí pro pravé vnější nože orientované dle obrázku č.14.  
- pro nože vnitřní, levé popř. jinak orientované je nutné provést korekturu znamének +/- resp. zaměnit hodnoty X/Z
- POZOR** - údaje platia pre pravé vonkajšie nože, orientované podľa obrázka č.14.  
- pre vnútorné nože, ľavé alebo inak orientované je potrebné vykonať korektúru znamienok +/-, resp. zameniť hodnoty X/Z

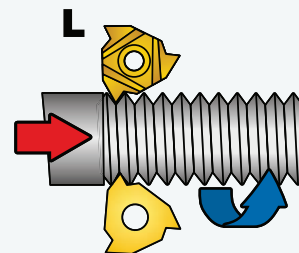
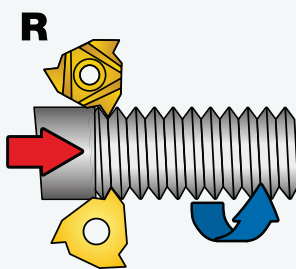
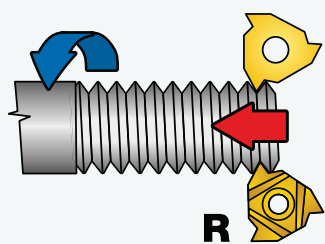
Podle tvaru obrobku a typu soustruhu se zvolí základní metoda soustružení, tj. směr posuvu a smysl otáčení vřetene pro soustružení pravého vnějšího nebo vnitřního závitu resp. levého vnějšího či vnitřního závitu. Volbu lze provést podle obrázků v *tabulce č. 15*.

Tabulka č. 15a

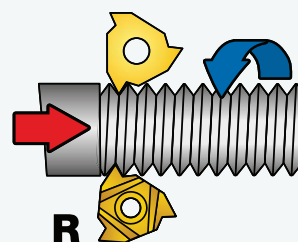
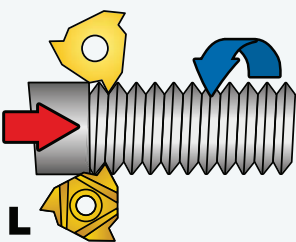
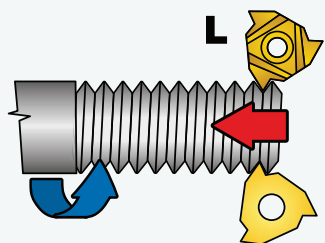
Podľa tvaru obrobku a typu sústruhu sa zvolí základná metóda sústruženia, tj. smer posuvu a zmysel otáčania vretena pre sústruženie pravého vonkajšieho alebo vnútorného závitu, resp. ľavého vonkajšieho alebo vnútorného závitu. Volbu je možné urobiť podľa obrázkov v *tabuľke č. 15*.

Tabulka č. 15a

### VNĚJŠÍ ZÁVIT PRAVÝ / VONKAJŠÍ ZÁVIT PRAVÝ



### VNĚJŠÍ ZÁVIT LEVÝ / VONKAJŠÍ ZÁVIT ĽAVÝ



■ Pohyb obrobku

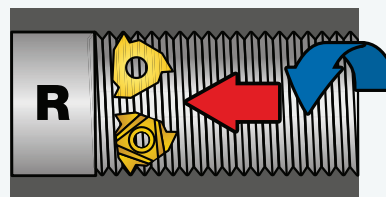
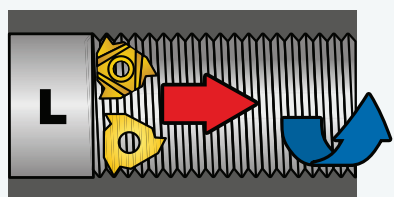
■ Pohyb nástroje

L / R - provedení VBD / prevedenie VRD

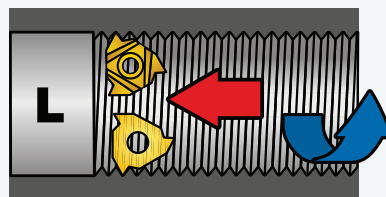
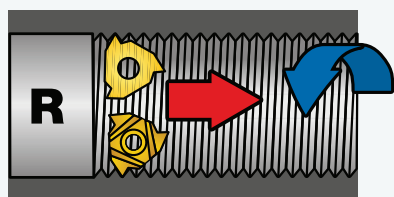
Tabulka č. 15b

Tabulka č. 15b

### VNITŘNÍ ZÁVIT PRAVÝ / VNÚTORNÝ ZÁVIT PRAVÝ



### VNITŘNÍ ZÁVIT LEVÝ / VNÚTORNÝ ZÁVIT ĽAVÝ



■ Pohyb obrobku

■ Pohyb nástroje

L / R - provedení VBD / prevedenie VRD

Úhel stoupání lze vypočítat podle vzorce:

Uhol stúpania sa dá vypočítat podľa vzorca:

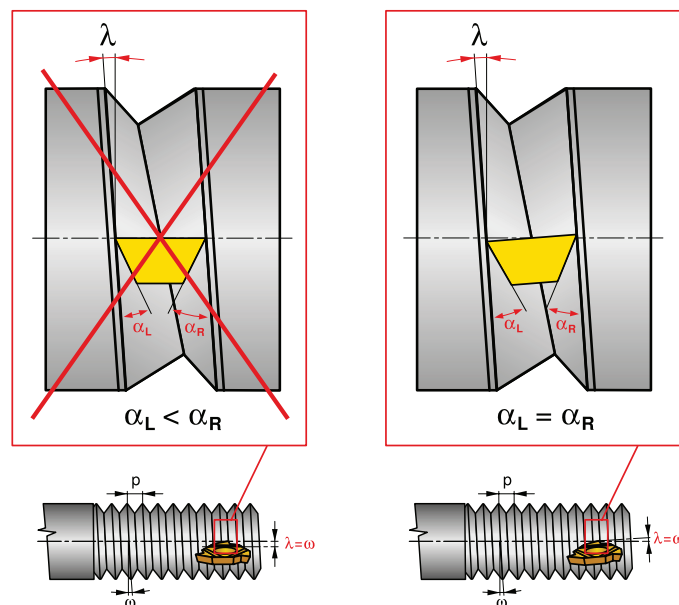
$$\operatorname{tg} \omega = \frac{p}{d_s \cdot \pi}$$

$\omega$     úhel stoupání šroubovice    [°]  
 $p$     stoupání závitu    [mm]  
 $d_s$     střední průměr závitu    [mm]

$\omega$     uhol stúpania skrutkovice    [°]  
 $p$     stúpanie závitu    [mm]  
 $d_s$     stredný priemer závitu    [mm]

Obrázek č. 15

Obrázok č. 15



Úhel sklonu VBD musí odpovídat úhlu stoupání šroubovice, protože v případě, že se úhel stoupání šroubovice i úhel sklonu profilu podstatně liší, dochází ke zkreslení průřezu obrobeného závitu i k nerovnoměrnému oteru obou bočních břitů.

Zpravidla držáky závitových nožů mají konstantní úhel sklonu (naklopení VBD)  $\lambda = 1,5^\circ$ . Pro dosažení potřebného sklonu  $\lambda$  blízkého úhlu stoupání šroubovice závitu  $\omega$  je zapotřebí pod břitovou destičku vložit speciální redukční podložku, pomocí které se dosáhne požadovaného úhlu sklonu  $\lambda$  VBD.

Pro volbu vhodné podložky pod závitovou břitovou destičku pro soustružení závitu průměru  $d$  a stoupání  $p$  je určena následující tabulka č. 16 a nomogram - obr. č. 16.

Uhol sklonu VRD musí zodpovedať uholu stúpania skrutkovice, pretože v prípade, že sa uhol stúpania skrutkovice a uhol sklonu profilu podstatne líšia, dochádza ku skresleniu prierezu obrobeného závitu a k nerovnomernému oteru obidvoch bočných rezných hrán.

Väčšinou majú držiaky závitových nožov konštantný uhol sklonu (naklopenie VRD)  $\lambda = 1,5^\circ$ . Pre dosiahnutie potrebného sklonu  $\lambda$  blízkého uholu stúpania skrutkovice závitu  $\omega$  je potrebné pod reznú doštičku vložiť špeciálnu redukčnú podložku, pomocou ktorej sa dosiahne požadovaného uhla sklonu  $\lambda$  VRD.

Pre voľbu vhodnej podložky pod závitovú reznú doštičku pro soustružení závitu průměru  $d$  a stúpania  $p$  je určená nasledujúci tabulka č. 16 a nomogram - obr. č. 16.

Tabulka č. 16 - volba podložky

Tabulka č. 16 - volba podložky

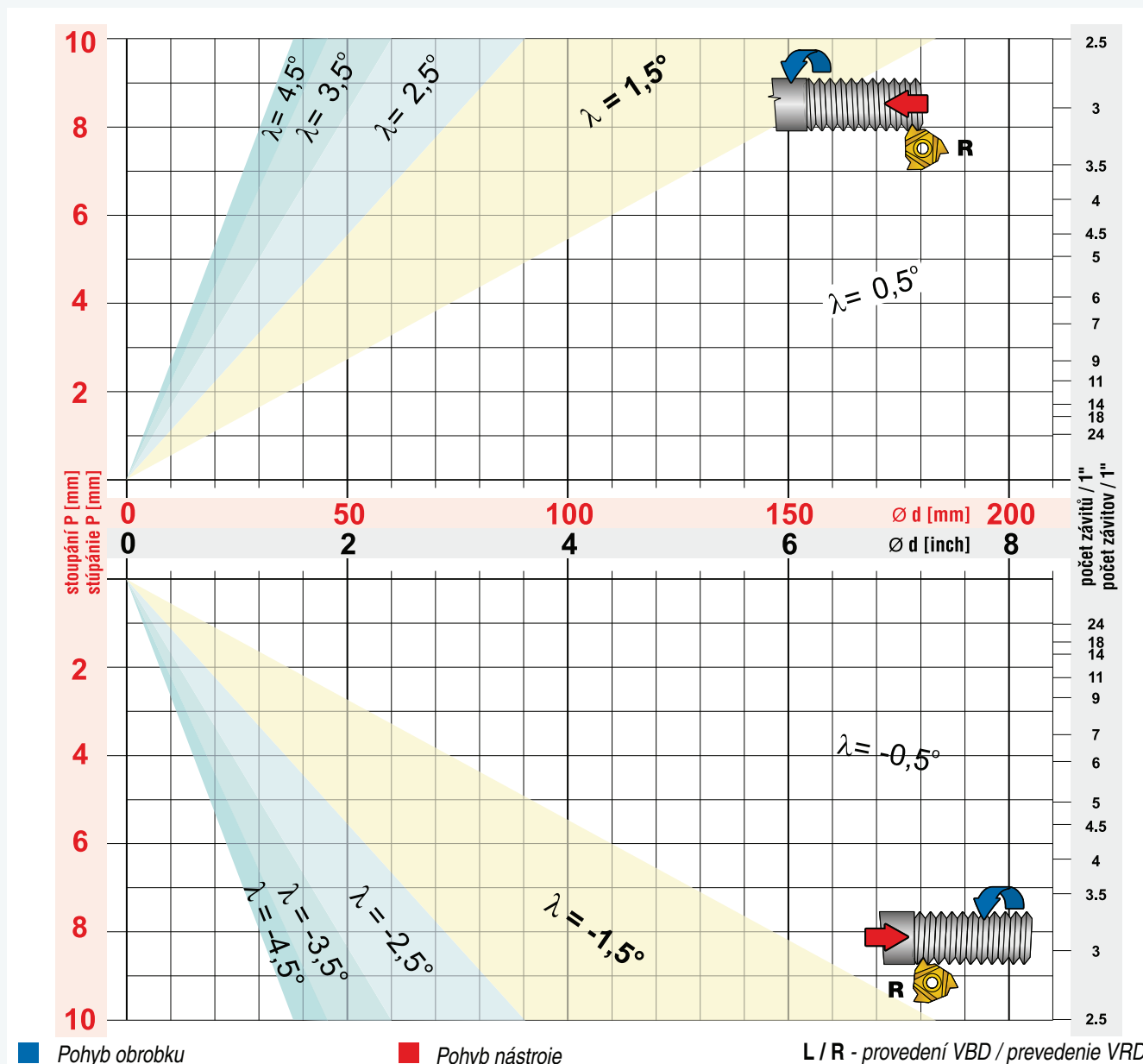
Úhel nastavení / Uhol nastavenia $\lambda$	Pozitivní / Pozitívne					Negativní / Negatívne		pro zápičkové VBD pre zápičkové VRD TN16.....ZZ
	4,5°	3,5°	2,5°	1,5°	0,5°	-0,5°	-1,5°	
Závitový nož / Závitový nož	Označení podložky / Označenie podložky							
SER .....16; SIL .....16	PE16+4,5	PE16+3,5	PE16+2,5	PE16+1,5	PE16+0,5	PE16-0,5	PE16-1,5	PE16ZZ
SEL .....16; SIR .....16	PI16+4,5	PI16+3,5	PI16+2,5	PI16+1,5	PI16+0,5	PI16-0,5	PI16-1,5	PI16ZZ
SER .....22; SIL .....22	PE22+4,5	PE22+3,5	PE22+2,5	PE22+1,5	PE22+0,5	PE22-0,5	PE22-1,5	PE-22ZZ
SEL .....22; SIR .....22	PI22+4,5	PI22+3,5	PI22+2,5	PI22+1,5	PI22+0,5	PI22-0,5	PI22-1,5	PI-22ZZ
SER-S .....22; SIL-S .....22	PE22S+4,5	PE22S+3,5	PE22S+2,5	PE22S+1,5	PE22S+0,5	PE22S-0,5	PE22S-1,5	-
SEL-S .....22; SIR-S .....22	PI22S+4,5	PI22S+3,5	PI22S+2,5	PI22S+1,5	PI22S+0,5	PI22S-0,5	PI22S-1,5	-

Poznámka: Závitové držáky mají úhel naklonění  $\lambda = 1,5^\circ$  který je možné měnit vyměnitelnou podložkou viz. tabulka a diagram.  
U závitových nožů SER-S ..... , SIR-S ..... jsou podložky značeny písmenem „S“

Poznámka: Závitové držáky mají uhol naklonenia  $\lambda = 1,5^\circ$  ktorý je možné meniť vymeniteľnou podložkou vid. tabulka a diagram.  
U závitových držákov SER-S ..... , SIR-S ..... sú podložky označené písmenom „S“

Obrázek č. 16 - nomogram pro volbu podložky

Obrázok č. 16 - nomogram pre voľbu podložky



**Dělení třísky, metody a velikost příssuvu.**

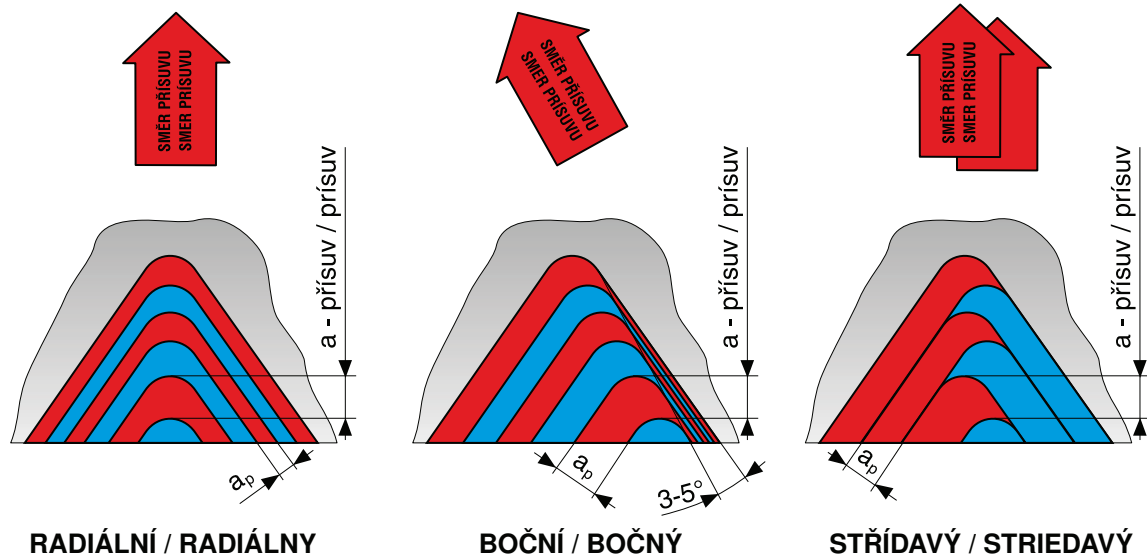
Pro úběr celého profilu závitu existují tři různé metody příssuvu a to radiální příssuv, boční příssuv, a střídavý příssuv.

Obrázek č. 17

**Delenie triesky, metódy a veľkosť príssuvu**

Pre úber celého profilu závitu existujú tri rôzne metódy príssuvu: radiálny príssuv, bočný príssuv, striedavý príssuv.

Obrázok č. 17

**RADIÁLNÍ / RADIÁLNY****BOČNÍ / BOČNÝ****STŘÍDAVÝ / STRIEDAVÝ**

Volba příssuvné metody příssuvu závisí na typu soustruhu, druhu obráběného materiálu a stoupání závitu.

**Radiální příssuv** - je nejjednodušší a nejčastěji používán. Příssuv je kolmý na osu rotace obrobku - úběr materiálu probíhá na obou bocích profilu. Napomáhá příznivé tvorbě třísky a tudíž rovnoměrnému opotřebení břitu. Je vhodný pro závity s menším stoupáním ( $p < 1,5$  mm). Při vyšších posuvech může dojít u tohoto příssuvu ke vzniku vibrací. Radiální příssuv je vhodný pro obráběné materiály dávající krátkou třísku a pro materiály, u kterých dochází ke zpevňování za studena - např. austenitické korozivzdorné oceli a oceli s nízkým obsahem uhlíku.

**Boční příssuv** - snižuje tepelné zatížení špičky břitu VBD a tím i snižuje opotřebení. Umožňuje i lepší tvar a odvod třísky. Používá se na závity se stoupáním  $p > 1,5$  mm pro soustružení trapézových závitů. Nevýhodou je tření pravého bočního břitu o pravý bok profilu a následné nepravidelné opotřebení břitu i zhoršení jakosti obrobeného povrchu na pravém boku profilu. V některých případech se používá boční příssuv s odklonem 3-5° - eliminuje tření na boku profilu.

**Střídavý příssuv** - doporučuje se u velkých stoupání závitů a materiálů tvořících dlouhou špatně utvářitelnou třísku. Výhodou je rovnoměrnější rozdělení úberu materiálu na oba boky a tím rovnoměrnější opotřebení břitu VBD. Klade větší nároky na programování obráběcího stroje.

**Velikost příssuvu a počet záběrů** - jsou závislé na stoupání závitu. Pro různé typy závitů je lze volit podle následujících tabulek. Uvedené hodnoty je nutno považovat za směrné-východzí a lze je podle konkrétních zkušeností upravovat. V případě, že dojde k lomu břitu, doporučuje se snížit velikost příssuvu a zvýšit počet záběrů. Velikost příssuvu by neměla být nižší než 0,05 mm resp. při soustružení austenitických ocelí a měkkých ocelí je minimální přípustný příssuv 0,08 mm.

Volba příssuvnej metody příssuvu závisí na type sústruhu, druhu obráběného materiálu a stúpaní závitu.

**Radiálny príssuv** - je najjednoduchší a najčastejšie používaný. Príssuv je kolmý na os rotácie obrobku - úber materiálu prebieha na oboch bokoch profilu. Napomáha priaznivej tvorbe triesky a rovnomernému opotrebeniu ostria. Je vhodný pre závity s menším stúpaním ( $p < 1,5$  mm). Pri vyšších posuvoch môže dôjsť pri tomto príssuve k vzniku vibrácií. Radiálny posuv je vhodný pre obrábané materiály dávajúce krátku triesku a pre materiály, pri ktorých dochádza k spevňovaniu za studena, napr. austenitické koróziivzdorné ocele a ocele s nízkym obsahom uhlíka.

**Bočný príssuv** - znižuje tepelné zaťaženie špičky ostria VRD a tým znižuje aj opotrebenie. Umožňuje aj lepší tvar a odvod triesky. Používa sa na závity so stúpaním  $p > 1,5$  mm pre sústruženie trapézových závitov. Nevýhodou je trenie pravého bočného ostria o pravý bok profilu a následné nepravidelné opotrebenie ostria a zhoršenie akosti obrobeného povrchu na pravom boku profilu. V niektorých prípadoch sa používa. Bočný príssuv s odklonom 3-5° - eliminuje trenie na boku profilu.

**Striedavý príssuv** - doporučuje sa pri veľkých stúpaniach závitov a materiáloch tvoriacich dlhú, zle utvárateľnú triesku. Výhodou je rovnomernejšie rozdelenie úberu materiálu na oboja boky a tým rovnomernejšie opotrebenie ostria VRD. Klade väčšie nároky na programovanie obrábacieho stroja.

**Veľkosť príssuvu a počet záberov** sú závislé na stúpaní závitu. Pre rôzne typy závitov je ich možné voliť podľa následujících tabuliek. Uvedené hodnoty je nutné považovať za východzie a možno ich podľa konkrétnych skúseností upravovať. V prípade, že dôjde k lomu ostria, doporučuje sa snížiť veľkosť príssuvu a zvýšit počet záberov. Veľkosť príssuvu by nemala byť nižšia ako 0,05 mm, resp. pri sústružení austenitických a mäkkých ocelí je minimálny prípustný príssuv 0,08 mm.

Tabulka č. 17

Tabulka č. 17

Trubkový závit válcový odpovídá profilu W (WHITWORTH 55°) Trubkový závit válcový zodpovedá profilu W (WHITWORTH 55°)					
Označení závitu Označenie závitu	Počet závitů Počet závitov / 1	Stoupání závitu Stúpanie závitu [mm]	Jmenovitý průměr závitu Menovitý priemer závitu [mm]	Malý průměr závitu Malý priemer závitu [mm]	Typové označení závitové destičky Typové označenie závitovej doštičky
G 1/16"	28	0,907	7,723	6,561	TN xxxx280W
G 1/8"			9,728	8,566	
G 1/4"	19	1,337	13,157	11,445	TN xxxx190W
G 3/8"			16,662	14,950	
G 1/2"	14	1,814	20,955	18,631	TN xxxx140W
G 5/8"			22,911	20,587	
G 3/4"			26,441	24,117	
G 7/8"			30,201	27,877	
G 1"	11	2,309	33,249	30,291	TN xxxx110W
G1 1/8"			37,897	34,939	
G1 1/4"			41,910	38,952	
G1 1/2"			47,803	44,845	
G1 3/4"			53,746	50,788	
G 2"			59,614	56,656	
G2 1/4"			65,710	62,752	
G2 1/2"			75,184	72,226	
G2 3/4"			81,534	78,576	
G3"			87,884	84,926	
G3 1/2"			100,330	97,372	
G4"			113,030	110,072	
G4 1/2"			125,730	122,772	
G5"			138,430	135,472	
G5 1/2"			151,130	148,172	
G6"			163,830	160,872	

Příklad: pro pravý vnější závit na trubce 1 1/2" použijte závitovou destičku TN 16ER110W; T8030

Příklad: pro pravý vonkajší závit na trubce 1 1/2" použijte závitovou doštičku TN 16ER110W; T8030

 OBRÁBĚNÉ MATERIÁLY  
 OBRABANE MATERIÁLY

 VOLBA NÁSTROJE  
 VOLBA NÁSTROJA

 GEOMETRIE VBD  
 GEOMETRIA VBD

 ŘEZNÉ MATERIÁLY  
 REZNE MATERIÁLY

 VOLBA ŘEZ. PODMÍNEK  
 VOLBA REZ. PODMIENOK

 OPOTŘEBENÍ  
 OPOTREBENIE

 DALŠÍ INFORMACE  
 DALŠIE INFORMÁCIE

 PŘEVODNÍ TABULKA  
 PREVODNA TABULKA

Tab. č. 18a: M - metrický 60° - vnější

Tab. č. 18a: M - metrický 60° - vonkajší

počet záběrů počet záberov	Snižovat řeznou rychlost úměrně s rostoucím stoupáním Znižovať reznú rýchlosť úmerne s rastúcim stúpaním														
	stoupání [mm] / stúpanie [mm]														
	6.0	5.5	5.0	4.5	4.0	3.5	3.0	2.5	2.0	1.75	1.5	1.25	1.0	0.75	0.50
1	0,46	0,43	0,41	0,37	0,34	0,34	0,28	0,27	0,24	0,22	0,22	0,21	0,18	0,16	0,11
2	0,43	0,40	0,39	0,34	0,32	0,31	0,26	0,24	0,22	0,20	0,20	0,17	0,16	0,14	0,09
3	0,35	0,32	0,32	0,28	0,25	0,25	0,21	0,20	0,18	0,17	0,17	0,14	0,12	0,11	0,07
4	0,30	0,28	0,27	0,24	0,22	0,21	0,18	0,17	0,16	0,14	0,14	0,11	0,11	0,07	0,06
5	0,29	0,26	0,24	0,22	0,20	0,18	0,16	0,15	0,14	0,12	0,12	0,10	0,08		
6	0,26	0,24	0,24	0,22	0,18	0,18	0,15	0,15	0,12	0,10	0,08	0,08			
7	0,24	0,21	0,22	0,20	0,17	0,16	0,14	0,12	0,11	0,10					
8	0,23	0,20	0,20	0,18	0,15	0,15	0,13	0,11	0,08	0,08					
9	0,22	0,19	0,19	0,17	0,14	0,14	0,12	0,11							
10	0,19	0,18	0,18	0,16	0,13	0,12	0,11	0,08							
11	0,18	0,17	0,16	0,14	0,12	0,11	0,10								
12	0,16	0,15	0,15	0,13	0,12	0,08	0,08								
13	0,15	0,14	0,12	0,12	0,11										
14	0,13	0,13	0,10	0,10	0,08										
15	0,13	0,12													
16	0,10	0,10													
hloubka profilu hĺbka profilu	3,83	3,52	3,19	2,87	2,53	2,23	1,92	1,60	1,25	1,13	0,93	0,81	0,65	0,48	0,33

Tab. č. 18b: M - metrický 60° - vnitřní

Tab. č. 18b: M - metrický 60° - vnútorný

počet záběrů počet záberov	Snižovat řeznou rychlost úměrně s rostoucím stoupáním Znižovať reznú rýchlosť úmerne s rastúcim stúpaním														
	stoupání [mm] / stúpanie [mm]														
	6.0	5.5	5.0	4.5	4.0	3.5	3.0	2.5	2.0	1.75	1.5	1.25	1.0	0.75	0.50
1	0,46	0,43	0,42	0,37	0,34	0,32	0,28	0,26	0,23	0,22	0,20	0,17	0,17	0,16	0,10
2	0,43	0,40	0,40	0,34	0,31	0,30	0,26	0,25	0,21	0,20	0,18	0,17	0,15	0,13	0,08
3	0,35	0,33	0,32	0,28	0,24	0,24	0,21	0,18	0,17	0,15	0,15	0,14	0,11	0,10	0,07
4	0,30	0,26	0,26	0,23	0,21	0,19	0,16	0,15	0,15	0,13	0,13	0,10	0,09	0,07	0,06
5	0,26	0,22	0,22	0,21	0,18	0,17	0,14	0,13	0,12	0,10	0,11	0,09	0,08		
6	0,22	0,20	0,20	0,19	0,15	0,15	0,13	0,12	0,11	0,09	0,08	0,08			
7	0,20	0,18	0,17	0,16	0,14	0,14	0,12	0,11	0,10	0,08					
8	0,19	0,17	0,16	0,15	0,13	0,13	0,11	0,10	0,08	0,08					
9	0,18	0,16	0,16	0,14	0,12	0,12	0,10	0,10							
10	0,16	0,15	0,15	0,13	0,12	0,11	0,10	0,08							
11	0,15	0,14	0,14	0,12	0,11	0,10	0,09								
12	0,15	0,14	0,14	0,12	0,10	0,08	0,08								
13	0,14	0,13	0,12	0,11	0,10										
14	0,13	0,12	0,10	0,10	0,08										
15	0,12	0,12													
16	0,10	0,10													
hloubka profilu hĺbka profilu	3,54	3,25	2,96	2,65	2,33	2,05	1,78	1,48	1,17	1,05	0,85	0,75	0,60	0,46	0,31

Tab. č. 19: W - Whitworth 55° - vnitřní i vnější

Tab. č. 19: W - Whitworth 55° - vnútorný i vonkajší

počet záběrů počet záberov	Snižovat řeznou rychlost úměrně s rostoucím stoupáním Znižovať reznú rýchlosť úmerne s rastúcim stúpaním																
	stoupání [záv./palec] / stúpanie [záv./palec]																
	4	4.5	5	6	7	8	9	10	11	12	14	16	18	19	20	26	28
1	0,49	0,46	0,45	0,38	0,37	0,32	0,30	0,29	0,28	0,28	0,24	0,24	0,23	0,22	0,21	0,19	0,18
2	0,46	0,43	0,43	0,36	0,35	0,30	0,28	0,27	0,26	0,26	0,22	0,22	0,22	0,22	0,21	0,18	0,17
3	0,38	0,38	0,38	0,30	0,29	0,24	0,23	0,22	0,22	0,22	0,18	0,19	0,19	0,18	0,17	0,15	0,14
4	0,36	0,33	0,32	0,26	0,25	0,21	0,20	0,19	0,19	0,18	0,15	0,16	0,16	0,14	0,14	0,12	0,12
5	0,34	0,29	0,28	0,22	0,22	0,19	0,18	0,17	0,16	0,16	0,13	0,13	0,13	0,12	0,11	0,08	0,08
6	0,31	0,25	0,25	0,21	0,19	0,17	0,15	0,15	0,14	0,14	0,11	0,11	0,08	0,08	0,08		
7	0,29	0,24	0,22	0,19	0,18	0,15	0,14	0,14	0,13	0,13	0,09	0,08					
8	0,27	0,22	0,20	0,17	0,16	0,14	0,13	0,13	0,12	0,08	0,08						
9	0,24	0,20	0,19	0,16	0,15	0,13	0,12	0,12	0,08								
10	0,22	0,18	0,18	0,15	0,14	0,12	0,12	0,08									
11	0,20	0,17	0,17	0,14	0,12	0,12	0,08										
12	0,19	0,16	0,15	0,14	0,08	0,08											
13	0,17	0,15	0,12	0,12													
14	0,15	0,14	0,10	0,10													
15	0,12	0,12															
16	0,10	0,10															
hloubka profilu hĺbka profilu	4,29	3,82	3,44	2,90	2,50	2,17	1,93	1,76	1,58	1,45	1,20	1,13	1,01	0,96	0,92	0,72	0,69

Tab. č. 20a: UN - americký UN 60° - vnější / Tab. č. 20a: UN - americký UN 60° - vonkajší

počet záběrů počet záberov	Snižovat řeznou rychlost úměrně s rostoucím stoupáním Znižovať reznú rýchlosť úmerne s rastúcim stúpaním																	
	stoupání [záv./palec] / stúpanie [záv./palec]																	
	4	4.5	5	6	7	8	9	10	11	12	13	14	16	18	20	24	28	32
1	0,47	0,45	0,43	0,36	0,35	0,30	0,28	0,27	0,27	0,27	0,25	0,23	0,22	0,23	0,20	0,19	0,17	0,17
2	0,44	0,41	0,40	0,34	0,33	0,28	0,26	0,26	0,25	0,26	0,24	0,22	0,21	0,21	0,19	0,17	0,15	0,15
3	0,40	0,39	0,36	0,27	0,26	0,25	0,21	0,20	0,20	0,20	0,18	0,17	0,16	0,16	0,15	0,14	0,11	0,13
4	0,36	0,31	0,31	0,23	0,22	0,21	0,20	0,17	0,19	0,18	0,17	0,15	0,14	0,14	0,12	0,12	0,09	0,08
5	0,32	0,26	0,26	0,22	0,21	0,18	0,17	0,16	0,16	0,15	0,14	0,13	0,13	0,12	0,10	0,08	0,08	
6	0,27	0,23	0,23	0,20	0,19	0,16	0,15	0,15	0,14	0,13	0,12	0,11	0,11	0,08	0,08			
7	0,25	0,21	0,20	0,18	0,17	0,14	0,14	0,14	0,12	0,12	0,11	0,10	0,08					
8	0,23	0,20	0,19	0,16	0,15	0,13	0,12	0,12	0,11	0,08	0,08	0,08						
9	0,22	0,18	0,19	0,15	0,14	0,12	0,12	0,11	0,08									
10	0,21	0,17	0,18	0,14	0,12	0,12	0,11	0,08										
11	0,19	0,16	0,17	0,13	0,11	0,11	0,08											
12	0,18	0,15	0,15	0,12	0,08	0,08												
13	0,16	0,14	0,12	0,11														
14	0,15	0,14	0,10	0,10														
15	0,12	0,12																
16	0,10	0,10																
hloubka profilu hĺbka profilu	4,07	3,62	3,29	2,71	2,33	2,08	1,84	1,66	1,52	1,39	1,29	1,19	1,05	0,94	0,84	0,70	0,60	0,53

Tab. č. 20b: UN - americký UN 60° - vnitřní

Tab. č. 20b: UN - americký UN 60° - vnútorný

počet záběrů počet záberov	Snižovat řeznou rychlost úměrně s rostoucím stoupáním Znižovať reznú rýchlosť úmerne s rastúcim stúpaním																	
	stoupání [záv./palec] / stúpanie [záv./palec]																	
	4	4.5	5	6	7	8	9	10	11	12	13	14	16	18	20	24	28	32
1	0,44	0,41	0,42	0,35	0,34	0,30	0,28	0,27	0,27	0,27	0,25	0,23	0,22	0,23	0,20	0,18	0,17	0,17
2	0,41	0,38	0,38	0,33	0,32	0,28	0,26	0,25	0,23	0,23	0,20	0,18	0,18	0,17	0,16	0,15	0,14	0,14
3	0,39	0,34	0,33	0,25	0,24	0,22	0,19	0,18	0,18	0,18	0,15	0,14	0,14	0,14	0,13	0,13	0,09	0,10
4	0,33	0,28	0,27	0,21	0,21	0,18	0,16	0,15	0,15	0,15	0,13	0,13	0,12	0,12	0,10	0,10	0,08	0,08
5	0,28	0,23	0,23	0,18	0,17	0,15	0,14	0,13	0,13	0,13	0,12	0,11	0,10	0,10	0,09	0,08	0,08	
6	0,24	0,20	0,20	0,16	0,15	0,13	0,13	0,12	0,11	0,11	0,11	0,10	0,09	0,08	0,08			
7	0,22	0,19	0,18	0,15	0,14	0,12	0,12	0,11	0,11	0,10	0,10	0,09	0,08					
8	0,21	0,18	0,17	0,14	0,13	0,11	0,11	0,10	0,10	0,08	0,08	0,08						
9	0,20	0,17	0,16	0,13	0,12	0,11	0,10	0,10	0,08									
10	0,18	0,16	0,15	0,12	0,12	0,10	0,09	0,08										
11	0,17	0,15	0,14	0,12	0,11	0,10	0,08											
12	0,16	0,14	0,14	0,11	0,08	0,08												
13	0,15	0,14	0,12	0,11														
14	0,14	0,13	0,10	0,10														
15	0,12	0,12																
16	0,10	0,10																
hloubka profilu hlbka profilu	3,74	3,32	2,99	2,46	2,13	1,88	1,66	1,49	1,36	1,25	1,14	1,06	0,93	0,84	0,76	0,64	0,56	0,49

Tab. č. 21: NPT - NPT 60° - vnitřní i vnější

Tab. č. 21: NPT - NPT 60° - vnútorný i vonkajší

počet záběrů počet záberov	Snižovat řeznou rychlost úměrně s rostoucím stoupáním Znižovať reznú rýchlosť úmerne s rastúcim stúpaním				
	stoupání [záv./palec] / stúpanie [záv./palec]				
	8	11.5	14	18	27
1	0,28	0,25	0,24	0,22	0,19
2	0,25	0,22	0,22	0,18	0,15
3	0,22	0,18	0,17	0,15	0,13
4	0,19	0,16	0,15	0,14	0,11
5	0,18	0,16	0,14	0,13	0,09
6	0,18	0,14	0,13	0,12	0,08
7	0,17	0,14	0,12	0,10	
8	0,17	0,12	0,10	0,08	
9	0,16	0,12	0,10		
10	0,16	0,10	0,08		
11	0,14	0,09			
12	0,13	0,08			
13	0,12				
14	0,11				
15	0,08				
hloubka profilu hlbka profilu	2,54	1,76	1,45	1,12	0,75

Tab. č. 22a: RD - oblý 30° - vnější

Tab. č. 22a: RD - oblý 30° - vonkajší

počet záběrů počet záberov	Snižovat řeznou rychlost úměrně s rostoucím stoupáním Znižovať reznú rýchlosť úmerne s rastúcim stúpaním			
	stoupání [záv./palec] / stúpanie [záv./palec]			
	4	6	8	10
1	0,44	0,33	0,29	0,26
2	0,40	0,29	0,26	0,25
3	0,34	0,25	0,21	0,23
4	0,32	0,23	0,19	0,20
5	0,28	0,20	0,18	0,16
6	0,26	0,18	0,16	0,12
7	0,24	0,16	0,14	0,10
8	0,22	0,15	0,12	0,08
9	0,20	0,14	0,10	
10	0,19	0,12	0,08	
11	0,17	0,10		
12	0,15	0,08		
13	0,12			
14	0,10			
hloubka profilu hĺbka profilu	3,43	2,23	1,73	1,40

Tab. č. 22b: RD - oblý 30° - vnitřní

Tab. č. 22b: RD - oblý 30° - vnútorný

počet záběrů počet záberov	Snižovat řeznou rychlost úměrně s rostoucím stoupáním Znižovať reznú rýchlosť úmerne s rastúcim stúpaním			
	stoupání [záv./palec] / stúpanie [záv./palec]			
	4	6	8	10
1	0,46	0,38	0,26	0,27
2	0,43	0,34	0,22	0,26
3	0,40	0,30	0,21	0,25
4	0,35	0,25	0,19	0,22
5	0,30	0,21	0,18	0,18
6	0,26	0,19	0,16	0,13
7	0,24	0,17	0,14	0,10
8	0,22	0,16	0,12	0,08
9	0,20	0,14	0,10	
10	0,19	0,12	0,08	
11	0,17	0,10		
12	0,15	0,08		
13	0,12			
14	0,10			
hloubka profilu hĺbka profilu	3,59	2,44	1,66	1,49

OBRÁBĚNÉ MATERIÁLY  
OBRABANE MATERIÁLYVOLBA NÁSTROJE  
VOLBA NÁSTROJAGEOMETRIE VBD  
GEOMETRIA VRDŘEZNÉ MATERIÁLY  
REZNE MATERIÁLYVOLBA ŘEZ. PODMÍNEK  
VOLBA REZ. PODMIENOKOPOTŘEBENÍ  
OPOTREBENIEDALŠÍ INFORMACE  
DALŠIE INFORMÁCIEPŘEVODNÍ TABULKA  
PREVODNA TABULKA

Tab. č. 23a: TR - trapéz 30° - vnější

Tab. č. 23a: TR - trapéz 30° - vonkajší

počet záběrů počet záberov	Snižovat řeznou rychlost úměrně s rostoucím stoupáním Znižovať reznú rýchlosť úmerne s rastúcim stúpaním											
	stoupání [mm] / stúpanie [mm]											
	14,0	12,0	10,0	9,0	8,0	7,0	6,0	5,0	4,0	3,0	2,0	1,5
1	0,40	0,38	0,38	0,38	0,37	0,37	0,37	0,34	0,31	0,27	0,25	0,23
2	0,37	0,36	0,36	0,35	0,35	0,34	0,35	0,33	0,28	0,25	0,24	0,22
3	0,36	0,34	0,34	0,34	0,34	0,33	0,32	0,27	0,24	0,21	0,20	0,18
4	0,36	0,34	0,34	0,33	0,33	0,31	0,29	0,25	0,20	0,17	0,17	0,14
5	0,35	0,32	0,32	0,31	0,31	0,29	0,27	0,23	0,19	0,15	0,14	0,12
6	0,35	0,32	0,32	0,30	0,29	0,26	0,25	0,21	0,18	0,13	0,13	0,08
7	0,34	0,30	0,31	0,29	0,28	0,26	0,23	0,20	0,16	0,13	0,11	
8	0,34	0,30	0,29	0,28	0,27	0,26	0,22	0,20	0,15	0,12	0,09	
9	0,34	0,30	0,28	0,26	0,25	0,24	0,22	0,18	0,15	0,12		
10	0,33	0,29	0,27	0,25	0,24	0,23	0,20	0,16	0,15	0,10		
11	0,33	0,29	0,25	0,24	0,23	0,22	0,18	0,15	0,14	0,10		
12	0,32	0,29	0,24	0,23	0,21	0,22	0,17	0,14	0,13	0,08		
13	0,32	0,28	0,23	0,22	0,20	0,20	0,17	0,13	0,10			
14	0,31	0,27	0,22	0,21	0,19	0,19	0,16	0,10				
15	0,31	0,25	0,22	0,21	0,19	0,17	0,14					
16	0,30	0,25	0,20	0,19	0,18	0,16	0,12					
17	0,30	0,24	0,19	0,18	0,17	0,12						
18	0,29	0,22	0,18	0,16	0,15							
19	0,28	0,20	0,17	0,15	0,13							
20	0,27	0,20	0,16	0,15								
21	0,23	0,19	0,15	0,13								
22	0,23	0,18	0,15									
23	0,21	0,17	0,13									
24	0,19	0,16										
25	0,17	0,15										
26	0,16	0,13										
27	0,16											
28	0,15											
29	0,13											
hloubka profilu hĺbka profilu	8,2	6,72	5,7	5,16	4,68	4,17	3,66	2,89	2,38	1,83	1,33	0,97

Tab. č. 23b: TR - trapéz 30° - vnitřní

Tab. č. 23b: TR - trapéz 30° - vnútorný

počet záběrů počet záberov	Snižovat řeznou rychlost úměrně s rostoucím stoupáním Znižovať reznú rýchlosť úmerne s rastúcim stúpaním											
	stoupání [mm] / stúpanie [mm]											
	14,0	12,0	10,0	9,0	8,0	7,0	6,0	5,0	4,0	3,0	2,0	1,5
1	0,40	0,38	0,38	0,38	0,37	0,37	0,37	0,34	0,31	0,27	0,25	0,23
2	0,37	0,36	0,36	0,35	0,35	0,34	0,34	0,33	0,28	0,25	0,24	0,22
3	0,36	0,34	0,34	0,34	0,34	0,33	0,32	0,27	0,24	0,22	0,21	0,19
4	0,36	0,34	0,34	0,33	0,33	0,31	0,29	0,25	0,20	0,17	0,17	0,14
5	0,35	0,32	0,32	0,31	0,31	0,29	0,27	0,23	0,19	0,15	0,14	0,12
6	0,35	0,32	0,32	0,31	0,29	0,26	0,25	0,21	0,18	0,14	0,13	0,08
7	0,34	0,30	0,31	0,29	0,28	0,26	0,23	0,20	0,16	0,13	0,11	
8	0,34	0,30	0,29	0,29	0,27	0,26	0,22	0,20	0,15	0,12	0,09	
9	0,34	0,30	0,28	0,26	0,25	0,24	0,22	0,18	0,15	0,12		
10	0,33	0,29	0,27	0,25	0,24	0,23	0,20	0,16	0,15	0,10		
11	0,33	0,29	0,25	0,24	0,23	0,22	0,18	0,15	0,14	0,10		
12	0,32	0,28	0,24	0,23	0,21	0,22	0,17	0,14	0,13	0,08		
13	0,32	0,28	0,23	0,22	0,20	0,20	0,17	0,13	0,10			
14	0,31	0,27	0,22	0,21	0,19	0,19	0,16	0,10				
15	0,31	0,25	0,22	0,21	0,19	0,17	0,14					
16	0,30	0,25	0,20	0,20	0,18	0,16	0,12					
17	0,30	0,24	0,19	0,18	0,17	0,12						
18	0,29	0,22	0,18	0,16	0,15							
19	0,28	0,20	0,17	0,15	0,13							
20	0,27	0,20	0,16	0,15								
21	0,27	0,19	0,15	0,13								
22	0,23	0,18	0,15									
23	0,23	0,17	0,13									
24	0,21	0,16										
25	0,19	0,15										
26	0,17	0,13										
27	0,16											
28	0,16											
29	0,15											
30	0,13											
hloubka profilu hĺbka profilu	8,47	6,71	5,7	5,19	4,68	4,17	3,65	2,89	2,38	1,85	1,34	0,98

OBRÁBĚNÉ MATERIÁLY  
OBRABANE MATERIÁLY

VOLBA NÁSTROJE  
VOLBA NÁSTROJA

GEOMETRIE VBD  
GEOMETRIA VBD

ŘEZNÉ MATERIÁLY  
REZNE MATERIÁLY

VOLBA ŘEZ. PODMÍNEK  
VOLBA REZ. PODMIENOK

OPOTŘEBENÍ  
OPOTREBENIE

DALŠÍ INFORMACE  
DALŠIE INFORMÁCIE

PŘEVODNÍ TABULKA  
PREVODNA TABULKA

Tab. č. 24a: ACME - ACME 29° - vnější

Tab. č. 24a: ACME - ACME 29° - vonkajší

počet záběrů počet záberov	Snižovat řeznou rychlost úměrně s rostoucím stoupáním Znižovať reznú rýchlosť úmerne s rastúcim stúpaním							
	stoupání [záv./palec] / stúpanie [záv./palec]							
	4	5	6	8	10	12	14	16
1	0,37	0,34	0,32	0,29	0,27	0,25	0,22	0,23
2	0,34	0,32	0,28	0,25	0,23	0,22	0,20	0,21
3	0,30	0,25	0,23	0,21	0,20	0,17	0,18	0,18
4	0,27	0,23	0,21	0,17	0,18	0,14	0,15	0,14
5	0,25	0,22	0,18	0,15	0,14	0,13	0,13	0,12
6	0,24	0,20	0,18	0,13	0,12	0,12	0,11	0,08
7	0,21	0,19	0,16	0,13	0,12	0,10	0,08	
8	0,20	0,19	0,16	0,12	0,11	0,09		
9	0,20	0,18	0,16	0,12	0,11			
10	0,18	0,16	0,15	0,11	0,09			
11	0,17	0,15	0,14	0,11				
12	0,16	0,14	0,13	0,09				
13	0,16	0,13	0,11					
14	0,15	0,11						
15	0,14							
16	0,12							
hloubka profilu hĺbka profilu	3,46	2,83	2,41	1,88	1,57	1,22	1,07	0,96

Tab. č. 24b: ACME - ACME 29° - vnútorný

Tab. č. 24b: ACME - ACME 29° - vnútorný

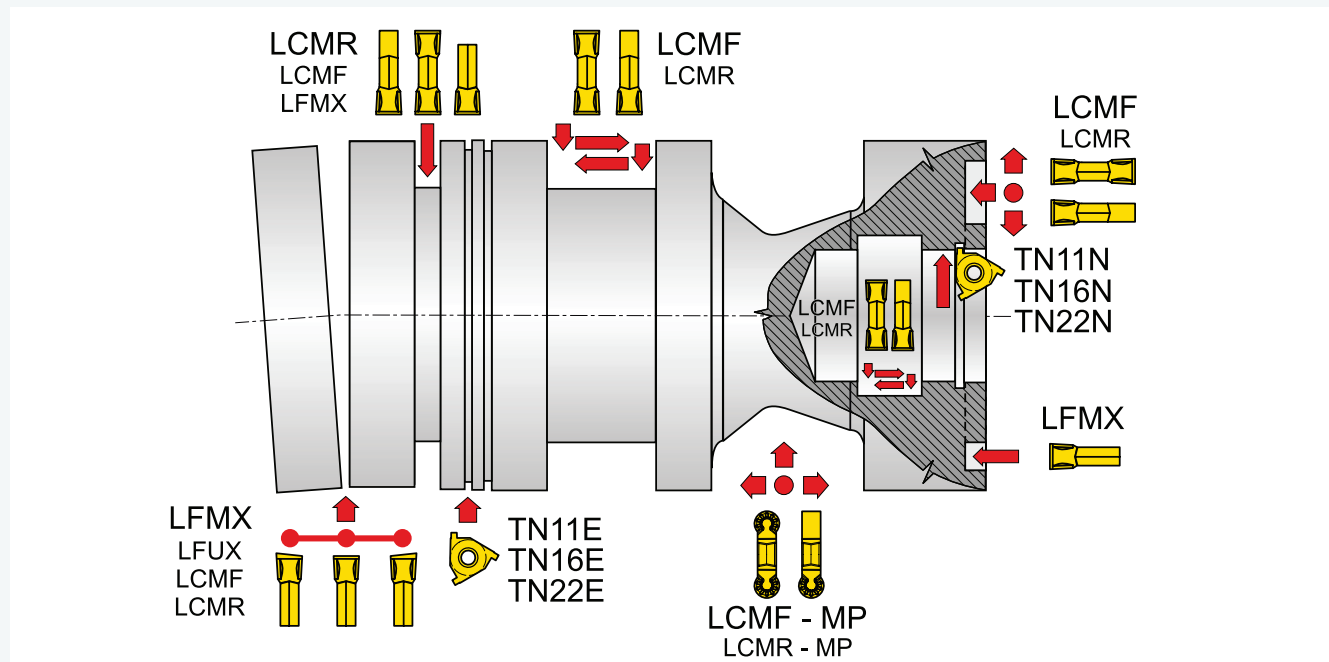
počet záběrů počet záberov	Snižovat řeznou rychlost úměrně s rostoucím stoupáním Znižovať reznú rýchlosť úmerne s rastúcim stúpaním							
	stoupání [záv./palec] / stúpanie [záv./palec]							
	4	5	6	8	10	12	14	16
1	0,37	0,34	0,32	0,29	0,27	0,25	0,22	0,23
2	0,33	0,31	0,27	0,25	0,23	0,22	0,20	0,21
3	0,30	0,25	0,23	0,21	0,20	0,17	0,18	0,17
4	0,27	0,23	0,20	0,17	0,18	0,15	0,15	0,14
5	0,25	0,22	0,18	0,15	0,15	0,13	0,13	0,12
6	0,23	0,20	0,18	0,14	0,12	0,12	0,11	0,08
7	0,21	0,19	0,16	0,13	0,12	0,10	0,08	
8	0,20	0,19	0,15	0,12	0,11	0,09		
9	0,20	0,17	0,15	0,12	0,11			
10	0,18	0,16	0,15	0,12	0,09			
11	0,17	0,15	0,14	0,11				
12	0,16	0,14	0,13	0,09				
13	0,16	0,13	0,11					
14	0,15	0,11						
15	0,14							
16	0,12							
hloubka profilu hĺbka profilu	3,44	2,78	2,38	1,90	1,59	1,23	1,07	0,95

**Soustružení zápichů, upichování a kopírovací soustružení.**

Výrobní program nástrojů Pramet umožňuje produktivní soustružení mělkých i hlubokých zápichů radiálních i axiálních (čelních). Dále zápichů kruhového profilu s možností následného rozjíždění podélným posuvem (*obecně kopírovací soustružení*).

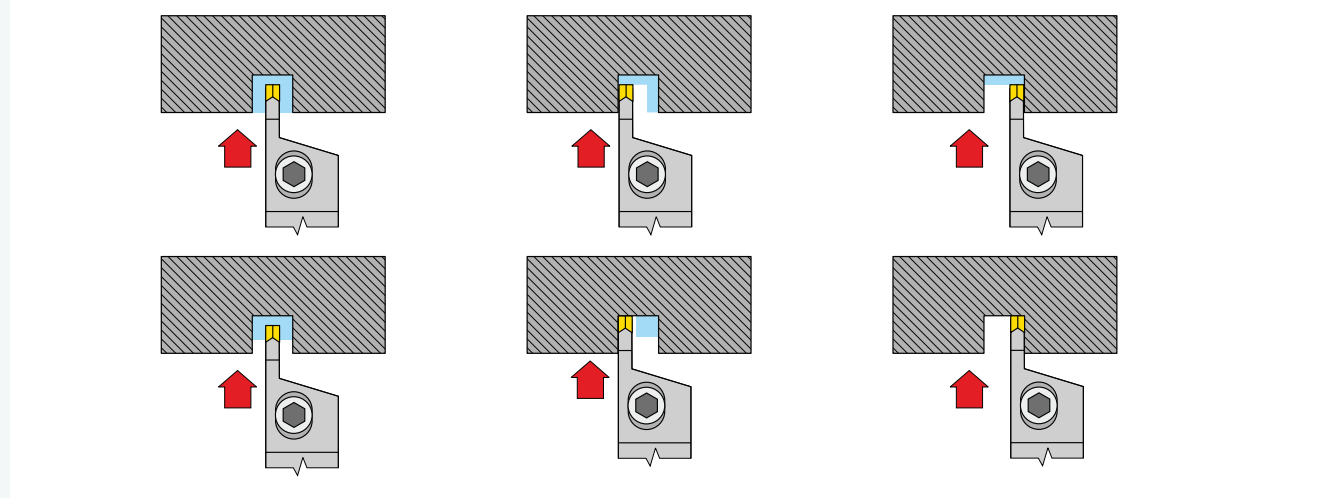
Technologické možnosti zapichovacích a upichovacích nástrojů Pramet jsou schematicky naznačeny na následujícím obrázku č. 18

Obrázek č. 18


**Doporučení pro praxi soustružení zápichů a upichování:**

Postup při soustružení (prohlubování a rozšiřování) zápichu je schematicky naznačen na následujícím obrázku č. 19

Obrázek č. 19



Pozn. Použij destičky LCMF s **utvarečem F**. Přídavek překrytí šířky destičky - 2x rádius rohu destičky - dosáhneme rovnou dosedací plochu.

**Sústruženie zápichov, upichovanie a kopírovacie sústruženie.**

Výrobní program nástrojov Pramet umožňuje produktívne sústruženie plytkých a hlbokých zápichov radiálnych a axiálnych (čelných). Ďalej zápichov kruhového profilu s možnosťou následného rozpichnutia pozdĺžnym posuvom (všeobecne kopírovacie sústruženie).

Technologické možnosti zapichovacích a upichovacích nástrojov Pramet sú schématicky naznačené v následujúcom obrázku č. 18

Obrázok č. 18

**Doporučenie pre prax sústruženie zápichov a upichovanie:**

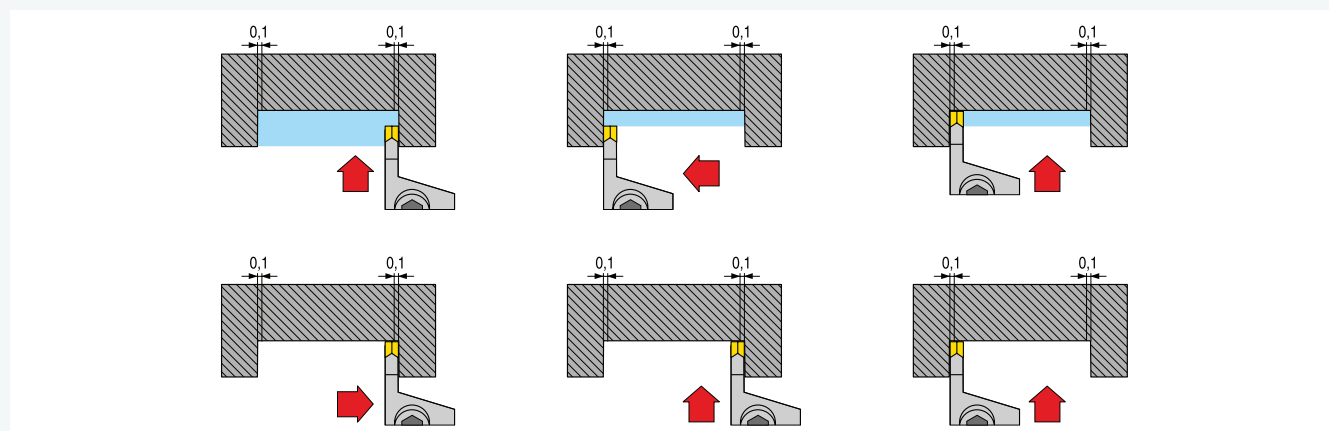
Postup pri sústružení (prehlbovanie a rozširovanie) zápichu je schematicky naznačený na následujúcom obrázku č. 19

Obrázok č. 19

Pozn. Použi doštičky LCMF s **utvaračom F**. Prídavok prekrytia šírky doštičky - 2x rádius rohu doštičky - dosiahneme rovnú dasadaci plochu.

V případě soustružení zahlobení (širokého zápichu) postupujte způsobem schematicky naznačeným na následujícím obrázku.

Obrázek č.20

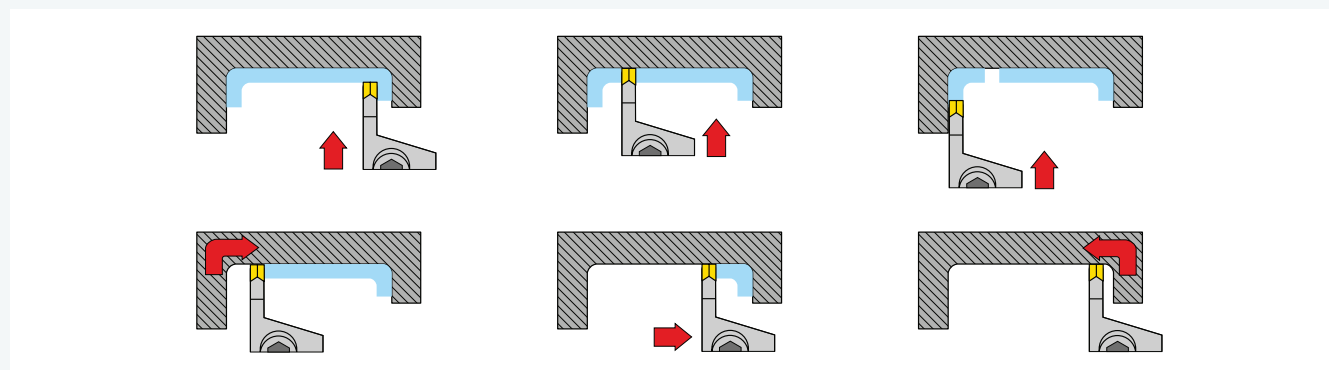


Pozn.: Při použití destičky LCMF s utvářečem M. Nutno počítat s deformací nástroje  $y$ :

	- pro $f = 0,15 \text{ mm.ot}^{-1}$ ;	$a_p = 3 \text{ mm}$	$y = 0,07 \text{ mm}$
	- pro $f = 0,25 \text{ mm.ot}^{-1}$ ;	$a_p = 3 \text{ mm}$	$y = 0,08 \text{ mm}$
	- pro $f = 0,35 \text{ mm.ot}^{-1}$ ;	$a_p = 3 \text{ mm}$	$y = 0,10 \text{ mm}$

Při rozšiřování zahlobení a prohlubování či při podélném soustružení s rádiusovými přechody použijte postupu zobrazeného na následujícím obrázku.

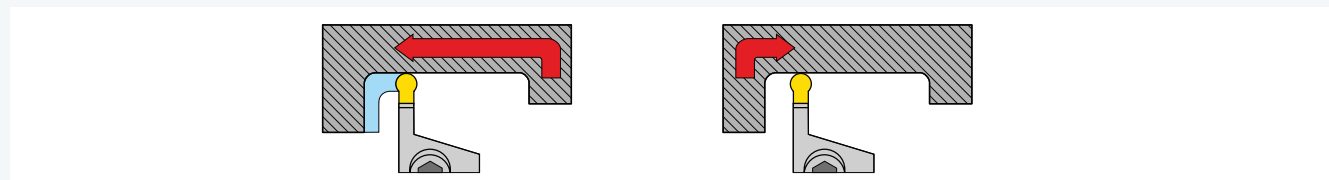
Obrázek č.21



**Hrubování zahlobení (VBD s kruhovým břitem) / Hrubovanie zahĺbenia (VRD s kruhovým britom)**

Obrázek č. 22

Obrázok č. 22



**Dokončování zahlobení (VBD s kruhovým břitem) / Dokončovanie zahĺbenia (VRD s kruhovým britom)**

Obrázek č. 23

Obrázok č. 23

D [mm]	$a_p$ [mm]
3	0,15
4	0,20
5	0,22
6	0,25
8	0,40

➡ Při kopírovacím soustružení vyměnitelnými destičkami s kruhovým břitem nesmí hloubka třísky překročit 50% průměru VBD

➡ Pro omezení vibrací soustavy je nutno volit nožový držák o maximálním průřezu a s minimálním vyložení

➡ Podélná osa VBD musí být kolmá k ose rotace obrobku (u radiálních zápichů)

➡ Ostří VBD musí být ve výšce osy rotace obrobku v toleranci  $\pm 0,1$  mm

➡ Řezná kapalina musí být přiváděna přímo na břit v dostatečném množství, aby bylo zajištěno účinné chlazení břitu, ale i k části držáku pod břitovou destičkou

➡ Při soustružení čelních zápichů je především zapotřebí volit vhodný nožový držák pro určitý rozsah průměrů zápichu. Dále musí být podélná osa nožového držáku rovnoběžná s osou rotace. V opačném případě vzniká nebezpečí nadměrného tření hřbetu nástroje o stěny zápichu. V případě, že dochází k zadírání hřbetu na vnější stěně držáky, případ A obr. 24, je nutno posunout břit VBD nad osu obrobku.

➡ Pri kopírovacom sústružení vymeniteľnými doštičkami s kruhovým břitom nesmie hĺbka triesky prekročiť 50% priemeru VRD

➡ Pre obmedzenie vibrácií sústavy je nutné voliť nožový držiak s maximálnym prierezom a s minimálnym vyložení

➡ Pozdĺžna os VRD musí byť kolmá k osi rotácii obrobku (u radiálnych zápichov)

➡ Ostrie VRD musí byť vo výške osi rotácie obrobku v tolerancii  $\pm 0,1$  mm

➡ Rezná kvapalina musí byť privádzaná priamo na břit v dostatočnom množstve, aby bolo zaistené účinné chladenie břitu, ale i k části držiaku pod doštičkou

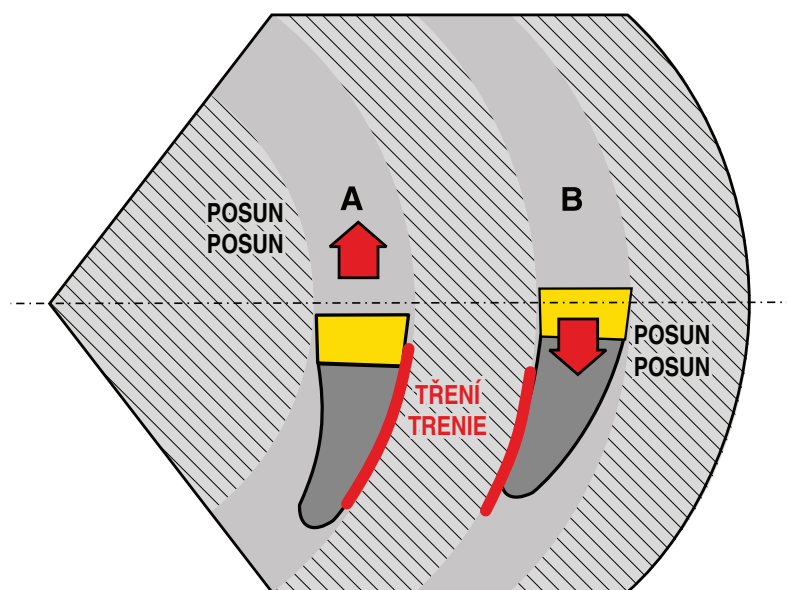
➡ Pri sústružení čelných zápichov je predovšetkým potrebné voliť vhodný nožový držiak pre určitý rozsah priemerov zápichu. Ďalej musí byť pozdĺžna os nožového držiaku rovnobežná s osou rotácie. V opačnom prípade vzniká nebezpečie nadmerného trenia chrbtu nástroja o steny zápichu. V prípade, že dochádza k zadieraniu chrbtu na vonkajšej stene drážky, prípad A obr. 24, je nutné posunúť břit VRD nad osu obrobku.

Při čelním zapichování je dále nutno klást zvláštní důraz na umístění nože do osy, protože jinak může dojít k tření nástroje o obrobek a následnému poškození.

Pri čelnom zapichovaní je ďalej nutné klásť zvláštny dôraz na umiestnenie noža do osy, pretože inak môže dojsť k treniu nástroja o obrobok a následnému poškodeniu.

Obrázek č.24

Obrázok č. 24



Velmi důležité je použití řezné kapaliny s výrazným chladícím účinkem, přiváděné ke břitu v dostatečném množství. Výdatné chlazení musí zabezpečit jednak snížení teploty břitu, ale i podložené části nožového držáku s lůžkem pro VBD.

Velmi důležité je použitie reznej kvapaliny s výrazným chladiacim účinkom, privádzanej k břitu v dostatočnom množstve. Výdatné chladenie musí zabezpečiť jednak zníženie teploty břitu, ale aj podloženej časti nožového držiaku s lôžkom pre VRD.

V obou případech je zapotřebí při volbě pracovních podmínek (především rezných podmínek a geometrie břitu VBD) brát v úvahu možnost vzniku samobuzených nebo případně i vynu-cených vibrací soustavy stroj – nástroj – obrobek.

Vibrace nepříznivě ovlivňují především opotřebení břitu, ale i jakost obrobeného povrchu a výslednou přesnost obrobku.

Prvotní příčinou vzniku samobuzených vibrací soustavy je snížení tuhosti některého členu – nejčastěji v důsledku vysoké štíhlosti obráběného hřídele při vnějším soustružení a omezená tuhost nožového držáku (vyvrtávací tyče) při vnitřním soustružení.

V prvním případě je stupeň štíhlosti  $\lambda$  hřídele obecně definován poměrem délky hřídele  $L$  k jeho průměru  $D$ .

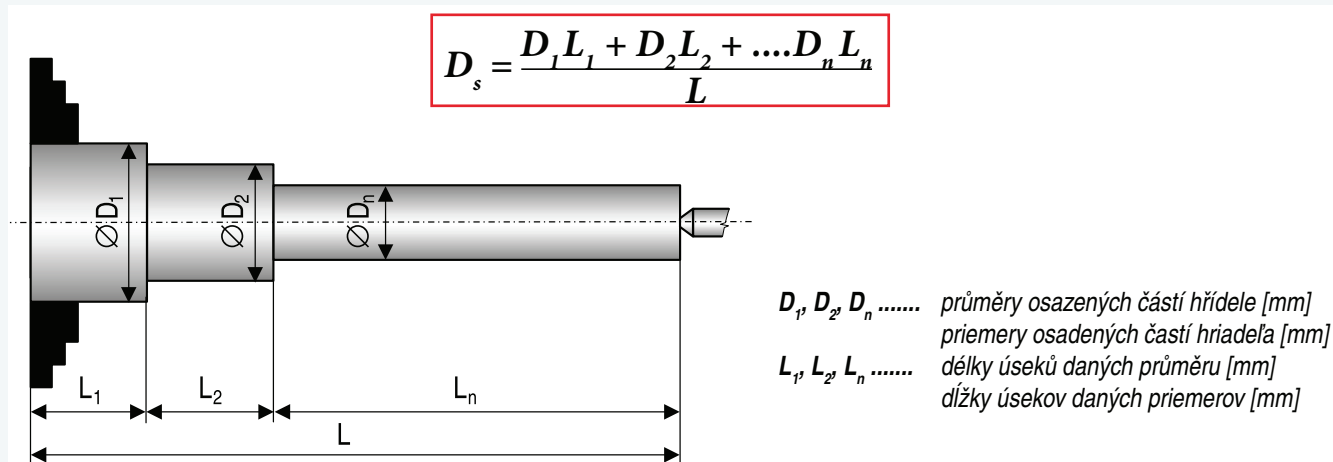
$$\lambda = \frac{L}{D}$$

$\lambda$     *stupeň štíhlosti / stupeň štíhlosti*  
 $L$     *délka hřídele / dĺžka hriadeľa [mm]*  
 $D$     *průměr hřídele / priemer hriadeľa [mm]*

Nejčastěji se při obrábění setkáme s případem, kdy má hřídel několik průměrů, osazených na různých délkách, viz. obrázek.

V tomto případě charakterizujeme stupeň štíhlosti tzv. redukovanou štíhlostí  $\lambda_{red}$ , která je definována (viz. obr. 25) pomocí středního průměru hřídele.

Obrázek č.25



Redukovaný stupeň štíhlosti  $\lambda_{red}$  je definován jako poměr

$$\lambda_{red} = \frac{L}{D_s}$$

Při vnitřním soustružení je tuhost nožového držáku rovněž závislá na jeho štíhlosti

$$\lambda = \frac{L}{D}$$

V tomto případě je  $L$  ..... délka vyložení nožového držáku a  $D$  jeho průměr.

V obidvoch případech je potřebné pri volbe pracovních podmínek (predovšetkým rezných podmienok a geometrie britu VRD) brať do úvahy možnosť vzniku samobuzených alebo prípadne i vynútených vibrácií sústavy stroj – nástroj – obrobok.

Vibrácie nepriaznivo ovplyvňujú predovšetkým opotrebenie britu, ale aj akosť obrobeného povrchu a výslednú presnosť obrobku.

Prvotnou príčinou vzniku samobuzených vibrácií sústavy je zníženie tuhosti niektorého z členov – najčastejšie v dôsledku vysokej štíhlosti obrábaného hriadeľa pri vonkajšom sústružení a obmedzená tuhosť nožového držiaku (vyvrtávacej tyče) pri vnútornom sústružení.

V prvom prípade je stupeň štíhlosti  $\lambda$  hriadeľa obvyčajne definovaný pomerom dĺžky hriadeľa  $L$  k jeho priemeru  $D$ .

Najčastejšie sa pri obrábaní stretne s prípadom, kedy má hriadeľ niekoľko priemerov, odsadených na rôznych dĺžkach, vid. obrázok.

V tomto prípade charakterizujeme stupeň štíhlosti tzv. redukovanou štíhlosťou  $\lambda_{red}$ , ktorá je definovaná (vid. obr. 25) pomocou stredného priemeru hriadeľa.

Obrázok č. 25

Redukovaný stupeň štíhlosti  $\lambda_{red}$  je definovaný ako pomer

Pri vnútornom sústružení je tuhosť nožového držiaku rovnako závislá na jeho štíhlosti

V tomto prípade je  $L$  ..... dĺžka vyloženia nožového držiaku a  $D$  jeho priemer

Při soustružení dochází působením řezné síly k pružné deformaci (průhybu) obrobku. Pro vznik vibrací jsou nejdůležitější deformace obrobku především ve směru radiální a dále tangenciální složky řezné síly. Pokud dosáhne tato deformace určité velikosti, vzniknou podmínky pro vznik samobuzených vibrací. Je zapotřebí upozornit, že problematice vibrací soustavy stroj – nástroj – obrobek při obrábění a vlivu vlastností jednotlivých členů této soustavy je věnována řada publikovaných prací teoretických i experimentálních. Tyto práce přináší podrobnější popis mechanismu jejich vzniku.

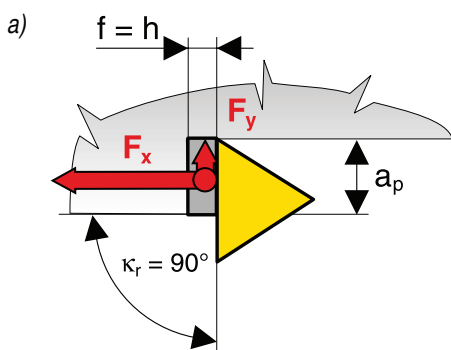
V dalším výkladu budou uvedena některá konkrétní doporučení pro omezení nebezpečí vzniku vibrací pro řešení konkrétních případů obrábění.

Především je nutno pamatovat na skutečnost, že nebezpečí vzniku vibrací je větší při hrubovacím soustružení, kdy vznikají v důsledku úberu větších průřezů třísky i větší radiální i tangenciální složky řezné síly.

Pro zmenšení pravděpodobnosti vzniku vibrací je zapotřebí zvolit nástroj s max. úhlem nastavení (blízkým)  $\kappa_r \approx 90^\circ$

V tomto případě je jednak odebrána při určité hloubce řezu  $a_p$  a posuvu  $f$  třísky o největší tloušťce  $h$ , při které dosahuje měrný řezný odpor minimální hodnoty, a jednak dosahuje minima i radiální složka řezné síly  $F_y$ , která bezprostředně ovlivňuje velikost průhybu (odtlačení) obrobku. Při úhlu nastavení  $\kappa_r = 90^\circ$  dosahuje maximální hodnoty posuvová složka  $F_x$ , působící ve směru osy rotace obrobku a jeho průhyb ovlivňuje minimálně. Schematicky je vliv úhlu nastavení  $\kappa_r$  na obě složky řezné síly naznačen na obr. 26 a, b. Například při úhlu nastavení  $\kappa_r \approx 75^\circ$  vzroste hodnota  $F_y$  v porovnání s úhlem  $\kappa_r = 90^\circ$  cca na dvojnásobek.

Obrázek č.26



Při úhlu nastavení  $\kappa_r = 90^\circ$  mají největší vliv (na radiální složku) síly působící na špičce VBD zaoblené poloměrem  $r_\epsilon$ . (obr. 27)

Jde o pasivní složku řezné síly odtlačující obrobek a její složky se podílejí na silách  $F_x$  i  $F_y$ , jak je v obrázku č. 27 schematicky naznačeno. Čím větší je poloměr  $r_\epsilon$ , tím větší je podíl sil působících na špičce na celkové složce  $F_y$  a tím větší průhyb (odtlačení) obrobku.

Pri sústružení dochádza pôsobením reznej sily k pružnej deformácii (priehybu) obrobku. Pre vznik vibrácií sú najdôležitejšie deformácie obrobku predovšetkým v smere radiálnej a ďalej tangenciálnej zložky reznej sily. Pokiaľ dosiahne táto deformácia určitú veľkosť, vzniknú podmienky pre vznik samobuzených vibrácií. Je potrebné upozorniť, že problematike vibrácií sústavy stroj – nástroj – obrobok pri obrábaní a vplyve vlastností jednotlivých členov tejto sústavy je venovaná rada publikovaných prác teoretických a experimentálnych. Tieto práce prinášajú podrobnější popis mechanismu ich vzniku.

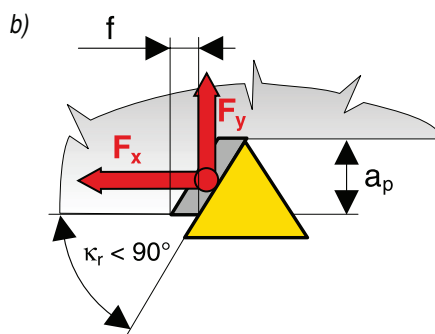
V ďalšom výklade budú uvedené niektoré konkrétne odporúčenia pre obmedzenie nebezpečia vzniku vibrácií pre riešenie konkrétnych prípadov obrábania.

Predovšetkým je nutné pamätať na skutočnosť, že nebezpečie vzniku vibrácií je väčšie pri hrubovacom sústružení, kedy vznikajú v dôsledku úberu väčších prierezov triesky aj väčšie radiálne a tangenciálne zložky reznej sily.

Pre zmenšenie pravdepodobnosti vzniku vibrácií je potrebné zvolit nástroj s max. uhlom nastavenia (blízkym)  $\kappa_r \approx 90^\circ$

V tomto prípade je jednak odobraná pri určitej hĺbke rezu  $a_p$  a posuve  $f$  trieska o najväčšej hrúbke  $h$ , pri ktorej dosahuje merný rezný odpor minimálne hodnoty a jednak dosahuje minima aj radiálna zložka reznej sily  $F_y$ , ktorá bezprostredne ovplyvňuje veľkosť priehybu (odtlačenie) obrobku. Pri uhle nastavenia  $\kappa_r \approx 90^\circ$  dosahuje maximálne hodnoty posuvová zložka  $F_x$ , pôsobiaca v smere osi rotácie obrobku a jeho priehyb ovplyvňuje minimálne. Schématicky je vplyv uhlu nastavenia  $\kappa_r$  na obidve zložky reznej sily naznačený na obr. 26 a, b. Napríklad pri uhle nastavenia  $\kappa_r = 75^\circ$  vzrastie hodnota  $F_y$  v porovnaní s uhlom nastavenia  $\kappa_r = 90^\circ$  cca na dvojnásobok.

Obrázok č. 26

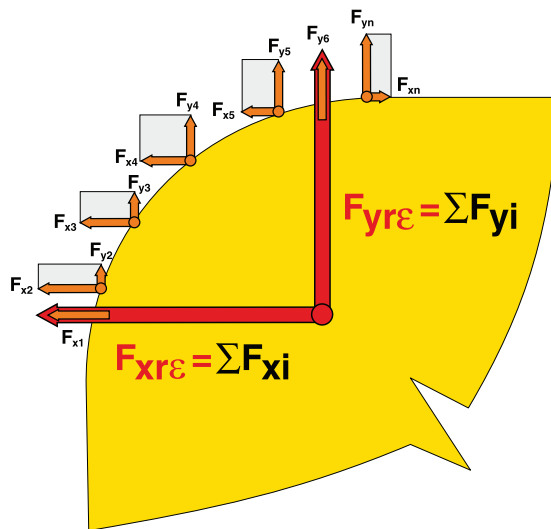


Pri uhle nastavenia  $\kappa_r = 90^\circ$  majú najväčší vplyv (na radiálnu zložku) síly pôsobiace na špičke VRD zaoblené polomerom  $r_\epsilon$ . (obr. 27)

Ide o pasívnu zložku reznej sily odtlačujúcej obrobok a jej zložky sa podielajú na silách  $F_x$  i  $F_y$ , ako je v obrázku č. 27 schématicky naznačené. Čím väčší je polomer  $r_\epsilon$ , tým väčší je podiel síl pôsobiacich na špičke na celkovej zložke  $F_y$  a tým väčší priehyb (odtlačenie) obrobku.

Obrázek č. 27

Obrázok č. 27



Proto pro zmenšení pravděpodobnosti vzniku vibrací je nutno volit co nejmenší poloměr zaoblení špičky VBD  $r_\epsilon$ .

Preto pre zmenšenie pravdepodobnosti vzniku vibrácií je nutné voliť čo najmenší polomer zaoblenia špičky VRD  $r_\epsilon$ .

Pro zmenšení nebezpečí vzniku vibrací je nutno volit geometrii utvařeče třísky s maximálním vstupním úhlem čela  $\gamma$  (zmenšení  $F_y$ ) a pokud možno raději s rektifikovaným ostřím (provedení E než provedení S (fazetka + rektifikace) – lépe ostrý brit.

Pre zníženie nebezpečia vzniku vibrácií je nutné voliť geometriu utvárača tresky s maximálnym vstupným uhlom čela  $\gamma$  (zmenšenie  $F_y$ ) a pokiaľ možno radšej s rektifikovaným ostřím (prevedenie E než prevedenie S (fazetka+rektifikácia) – lepšie ostrý brit

U povlakovaných materiálů VBD, zejména s povlaky o velké tloušťce, kdy se zvětšuje poloměr zaoblení ostří, se nebezpečí vibrací zvětšuje. Proto se v tomto případě doporučuje použít VBD s povlaky PVD nebo tenkými povlaky MTCVD (např. materiál 6640). Nebezpečí vzniku vibrací zvyšuje použití nástroje s nadměrně opotřebeným hřbetem.

U povlakovaných materiálů VRD, najmä s povlakmi s veľkou hrúbkou, kedy sa zväčšuje polomer zaoblenia ostria, sa nebezpečie vibrácií zväčšuje. Preto sa v tomto prípade doporučuje použiť VRD s povlakmi PVD alebo tenkými povlakmi MTCVD (napr. materiál 6640). Nebezpečie vzniku vibrácií zvyšuje použitie nástroja s nadmerne opotrebeným chrbtom.

Při vnitřním soustružení nebo vyvrtávání je nutno zvolit co největší průměr nástroje nebo vyvrtávací tyče a použít co nejkratší vyložení.

Pri vnútornom sústružení alebo vyvrtávaní je nutné zvoliť čo najväčší priemer nástroja alebo vyvrtávej tyče a použiť čo najkratšie vyloženie.

Problém vzniku vibrací lze řešit i úpravou rezných podmínek. Především zmenšení hloubky řezu  $a_p$ , která ovlivňuje velikost rezných sil nejvýrazněji, je velmi účinným opatřením proti vibracím.

Problém vzniku vibrácií sa dá riešiť aj úpravou rezných podmienok. Predovšetkým zmenšením hĺbky rezu  $a_p$ , ktorá ovplyvňuje veľkosť rezných síl najvýraznejšie, je veľmi účinným opatrením proti vibráciám.

Pomůckou pro volbu „startovních“ hodnot maximální přípustné hloubky řezu  $a_{pmax}$  pro vnější hrubovací soustružení hřídelů o různém stupni štíhlosti  $\lambda_{red}$  v rozmezí posuvů  $f = 0,4 \div 0,8$  mm/ot jsou experimentálně stanovené hodnoty  $a_{pmax}$  uvedené v diagramu na obr. 21. Tyto údaje platí pro soustružení nástrojem s VBD  $\kappa_r \approx 90^\circ$  a poloměrem špičky  $r_\epsilon = 0,8$  mm.

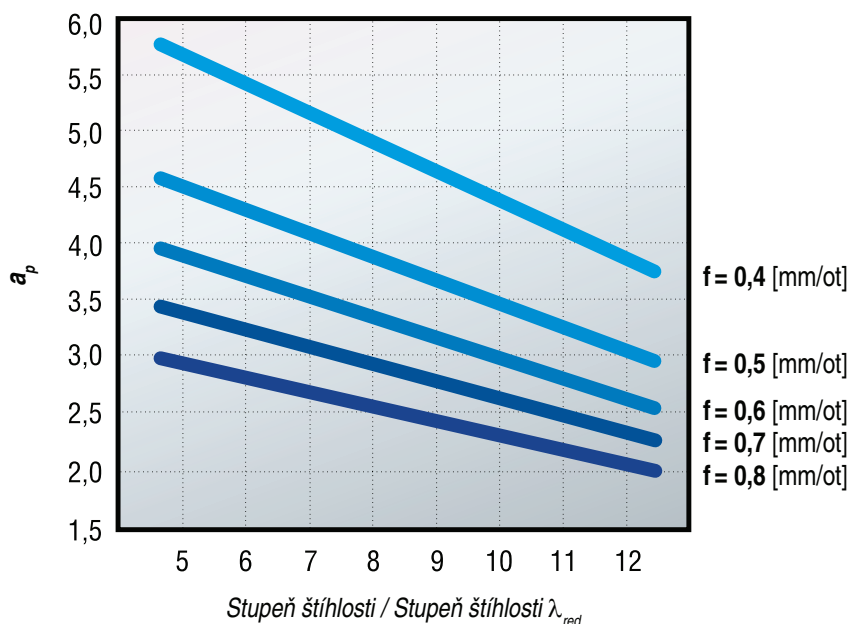
Pomôckou pre volbu štartovních hodnôt maximálnej prípustnej hĺbky rezu  $a_{pmax}$  pre vonkajšie hrubovacie sústruženie hriadeľov o rôznom stupni štíhlosti  $\lambda_{red}$  v rozmedzí posuvov  $f = 0,4 - 0,8$  mm/ot, sú experimentálne stanovené hodnoty  $a_{pmax}$  uvedené v diagrame na obr. 21. Tieto údaje platia pre sústruženie nástrojom s VRD  $\kappa_r = 90^\circ$  a polomerom špičky  $r_\epsilon = 0,8$  mm.

Účinek řezné rychlosti na odstranění vibrací není jednoznačný. Změnou řezné rychlosti se však dosáhne změny frekvence řezné síly a tím lze dosáhnout i eliminaci vibrací. Je proto zapotřebí zkusit, jak zvýšení, tak i snížení řezné rychlosti.

Účinok reznej rýchlosti na odstranení vibrácií nie je jednoznačný. Zmenou reznej rýchlosti sa však dosiahne zmeny frekvencie reznej síly a tým sa dá dosiahnuť aj eliminácia vibrácií. Je preto potrebné skúsiť, ako zvýšenie, tak aj zníženie reznej rýchlosti.

Obrázek č. 28

Obrázok č. 28



Totéž platí i pro posuv. Změnou posuvu se dosáhne změny velikosti řezné síly, ale i posunutí frekvence jejího kolísání. Doporučuje se proto vyzkoušet jak zvýšení, tak i snížení posuvu.

Při soustružení velmi štíhlých hřídelů  $\lambda_{red} \gg 12$  je účinným prostředkem proti vibracím použití pohyblivých řízených opěrek (lunet). Tyto opěrky sledují pohyb břitu a podírají obrobek v místě řezu proti směru řezné síly.

Pohyblivé opěrky jsou obvykle velmi účinné, ale je nutno věnovat velkou pozornost seřízení tlaku mezi opěrkou a obrobkem. Opěrka nesmí deformovat obráběný hřídel. Příliš vysoký tlak mezi opěrkou a obrobkem může v extrémním případě vyvolat vznik vynucených vibrací. Dotyková část opěrky pokud ji tvoří například rotující element (například valivé ložisko), musí mít rovněž minimální házivosť.

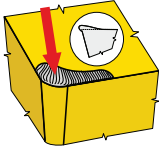
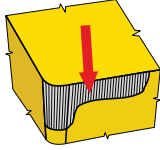
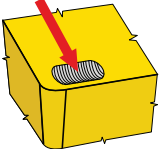
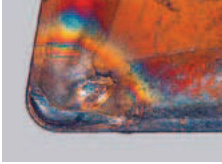
V případě vnitřního soustružení a vyvrtávání nástrojem s velmi vysokou štíhlostí je účinným prostředkem proti vibracím použití speciálních vyvrtávacích tyčí s tlumičem.

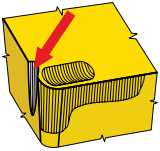
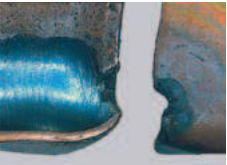
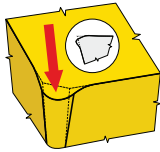
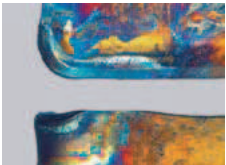
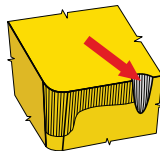
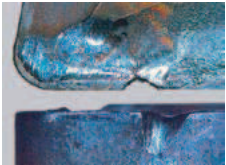
To isté platí aj pre posuvy. Zmenou posuvu sa dosiahne zmena veľkosti reznnej sily, ale aj posunutie frekvencie jej kolísania. Doporučuje sa preto vyskúšať ako zvýšenie, tak aj zníženie posuvu.

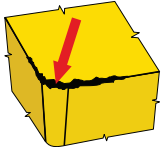
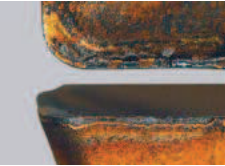
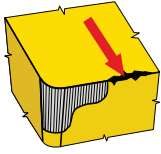
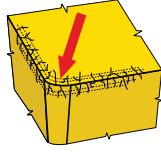
Pri sústružení veľmi štíhlych hriadeľov  $\lambda_{red} \gg 12$  je účinným prostriedkom proti vibráciám použitie pohyblivých riadených opierok (Luniet). Tieto opierky sledujú pohyb britu a podopierajú obrobok v mieste rezu proti smeru reznnej sily.

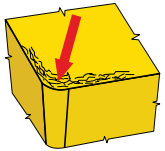
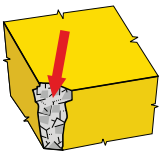
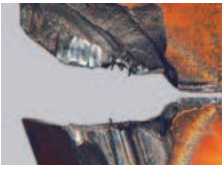
Pohyblivé opierky sú obvykle veľmi účinné, ale je nutné venovať veľkú pozornosť nastaveniu tlaku medzi opierkou a obrobkom. Opierka nesmie deformovať obrábaný hriadeľ. Príliš vysoký tlak medzi opierkou môže v extrémnom prípade vyvolať vznik vynútených vibrácií. Dotyková časť opierky pokiaľ ju tvorí napríklad rotujúci element (napríklad valivé ložisko), musí mať taktiež minimálnu hádzavosť.

V prípade vnútorného sústruženia a vyvrtávania nástrojom s veľmi vysokou štíhloťou je účinným prostriedkom proti vibráciám použitie špeciálnych vyvrtávacích tyčí s tlmivom.

Obrázek / Obrázok	TVORBA NÁRŮSTKU	TVORBA NÁRASTKU
 	<p><b>Popis a příčiny:</b> Jedná se o nalepování obráběného materiálu na břit nástroje. Nárůstek má charakter návaru na břitu. Při jeho odtrhávání může dojít ke křehkému porušení břitu nástroje. Tento jev je dále charakterizován snížením jakosti obráběného povrchu.</p> <p><b>Opatření:</b></p> <ul style="list-style-type: none"> <li>- změnit (zvýšit) řeznou rychlost</li> <li>- změnit (zvýšit) posuv</li> <li>- aplikovat povlakované typy slinutých karbidů</li> <li>- použít jinou řeznou geometrii</li> <li>- použít chladicí emulzi s vyšším protinárůstkovým účinkem (pokud není k dispozici, upustit od chlazení)</li> </ul>	<p><b>Popis a příčiny:</b> Jedná se o nalepování obráběného materiálu na reznou hranu nástroje. Nárůstek má charakter návaru na reznou hranu. Při jeho odtrhávání může dojít ke křehkému porušení ostria nástroje. Tento jev je také charakterizovaný snížením jakosti obráběného povrchu.</p> <p><b>Opatrenia</b></p> <ul style="list-style-type: none"> <li>- zmeniť (zvýšit) reznú rýchlosť</li> <li>- zmeniť (zvýšit) posuv</li> <li>- aplikovať povlakované typy spekaných karbidov</li> <li>- použiť inú reznú geometriu</li> <li>- použiť kvapalinu s vyšším protinárústkovým účinkom (pokiaľ nie je k dispozícii, nechladit)</li> </ul>
Obrázek / Obrázok	OPOTŘEBENÍ HŘBETU	OPOTREBENIE CHRBTU
 	<p><b>Popis a příčiny:</b> Otěr hřbetu je jedním z hlavních kritérií charakterizujících trvanlivost VBD. Vzniká v důsledku styku nástroje a obráběného materiálu v průběhu řezného procesu. Jeho velikost (intenzitu) lze pouze snížit.</p> <p><b>Opatření:</b></p> <ul style="list-style-type: none"> <li>- použít otěruvzdornější typ slinutého karbidu</li> <li>- snížit řeznou rychlost</li> <li>- zvýšit posuv (v případě, že posuv je menší než 0,1 mm.ot-1)</li> <li>- použít chladicí emulzi resp. zvýšit intenzitu chlazení</li> </ul>	<p><b>Popis a příčiny:</b> Oter chrbta je jedním z hlavních kritérií charakterizujících trvanlivost VRD. Vzniká v důsledku styku nástroje a obráběného materiálu v průběhu rezného procesu. Jeho intenzitu je možné snížit.</p> <p><b>Opatrenie</b></p> <ul style="list-style-type: none"> <li>- použiť oteruvzdornejší typ karbidu</li> <li>- znížiť reznú rýchlosť</li> <li>- zvýšit posuv (v prípade, že posuv je menší ako 0,1 mm/ot)</li> <li>- použiť reznú kvapalinu, resp. zvýšit intenzitu chladenia</li> </ul>
Obrázek / Obrázok	VÝMOL NA ČELE	VÝMOL NA ČELE
 	<p><b>Popis a příčiny:</b> Výmol na čele je typ opotřebení, které se nejvýrazněji projevuje u VBD s rovným čelem, jeho výskyt není však omezen pouze na tento typ destiček. Při obrábění měkkých materiálů vzniká výmol širší a mělčí, u tvrdých materiálů naopak výmol úzký a hluboký.</p> <p><b>Opatření:</b></p> <ul style="list-style-type: none"> <li>- použít otěruvzdornější typ slinutého karbidu</li> <li>- použít povlakovaný typ, zejména (MT) CVD</li> <li>- snížit řeznou rychlost</li> <li>- použít jiný (pozitivnější) typ řezné geometrie</li> <li>- použít chladicí emulzi resp. zvýšit intenzitu chlazení</li> </ul>	<p><b>Popis a příčiny:</b> Výmol na čele je typ opotrebenia, ktorý sa najvýraznejšie prejavuje pri VRD s rovným čelom, jeho výskyt nie je však obmedzený len na tento typ dosťičiek. Pri obrábaní mäkkých materiálov vzniká výmol širší a plytší, pri tvrdých materiáloch naopak výmol úzky a hlboký.</p> <p><b>Opatrenie:</b></p> <ul style="list-style-type: none"> <li>- použiť oteruvzdornejší typ spekaného karbidu</li> <li>- použiť povlakovaný typ, najmä (MT) CVD</li> <li>- znížiť reznú rýchlosť</li> <li>- použiť iný (pozitívnejší) typ reznej geometrie</li> <li>- použiť reznú kvapalinu, resp. zvýšit intenzitu chladenia</li> </ul>

Obrázek / Obrázok	OXIDAČNÍ RÝHA NA VEDLEJŠÍM BŘITU	OXIDAČNÁ RYHA NA VEDĽAJŠEJ HRANE
 	<p><b>Popis a příčiny:</b> Oxidační rýha na vedlejším břitu - je jedním z nejvýznamnějších kritérií limitujících životnost VBD. Setkáváme se s ní zejména u soustružení. Propojení oxidační rýhy s výmolem na čele se jednoznačně projeví na zvýšení drsnosti povrchu obrobku, dojde k jevu, který je slangově nazýván jako "chlupaceni".</p> <p><b>Opatření:</b></p> <ul style="list-style-type: none"> <li>- použít povlakovaný resp. otěruvzdornější typ slinutého karbidu, dovolují-li to podmínky, použít VBD s povlakem obsahujícím <math>Al_2O_3</math></li> <li>- použít chladicí emulzi resp. zvýšit intenzitu chlazení</li> <li>- snížit řeznou rychlost</li> </ul>	<p><b>Popis a příčiny:</b> Oxidačná rýha na vedľajšej reznej hrane je jedným z najvýznamnejších kritérií limitujúcich životnosť VRD. Stretávame sa s ňou najmä pri sústružení: Prepojenie oxidačnej vrstvy s výmolem na čele sa jednoznačne prejaví na zvýšení drsnosti povrchu obrobku. Dôjde k javu, ktorý sa v dialekte nazýva „chlupacenie“.</p> <p><b>Opatrenia:</b></p> <ul style="list-style-type: none"> <li>- použit povlakovaný, resp. oteruvzdornejší typ spekaného karbidu, ak to dovoľujú podmienky, použít VRD s povlakom obsahujúcim <math>Al_2O_3</math></li> <li>- použit chladiacu emulziu, resp. zvýšit intenzitu chladenia</li> <li>- znížit reznú rýchlosť</li> </ul>
 	<p><b>Popis a příčiny:</b> Plastická deformace špičky - důvodem tohoto typu opotřebení je přetížení břitu v důsledku vysokých řezných teplot (tedy vysokých rychlostí a posuvů).</p> <p><b>Opatření:</b></p> <ul style="list-style-type: none"> <li>- použít otěruvzdornější typ slinutého karbidu</li> <li>- snížit řeznou rychlost</li> <li>- snížit posuv</li> <li>- použít chladicí emulzi resp. zvýšit intenzitu chlazení</li> <li>- použít VBD s větším poloměrem zaoblení špičky</li> <li>- použít VBD s větším úhlem špičky</li> </ul>	<p><b>Popis a příčiny:</b> Plastická deformácia špičky – dôvodom vzniku tohoto typu opotrebenia je preťaženie reznej hrany v dôsledku vysokých rezných teplôt (teda vysokých rýchlostí a posuvov).</p> <p><b>Opatrenia:</b></p> <ul style="list-style-type: none"> <li>- použit oteruvzdornejší typ spekaného karbidu</li> <li>- znížit reznú rýchlosť</li> <li>- znížit posuv</li> <li>- použit chladiacu emulziu, resp. zvýšit intenzitu chladenia</li> <li>- použít VRD s väčším polomerom zaoblenia špičky</li> <li>- použít VRD s väčším uhlom špičky</li> </ul>
 	<p><b>Popis a příčiny:</b> Vrubové opotřebení na hlavním břitu - vzniká v oblasti styku břitu nástroje s povrchem obrobku. Je zapříčiněno převážně zpevněním povrchových vrstev obrobku a otřepy. Tento typ opotřebení se vyskytuje zejména u korozivzdorných austenitických ocelí.</p> <p><b>Opatření:</b></p> <ul style="list-style-type: none"> <li>- použít povlakovaný resp. otěruvzdornější typ slinutého karbidu, dovolují-li to podmínky, použít VBD s povlakem obsahující <math>Al_2O_3</math></li> <li>- zvolit nástroj s menším úhlem nastavení</li> <li>- nerovnoměrně rozdělit třísku</li> </ul>	<p><b>Popis a příčiny:</b> Vrubové opotrebenie na hlavnej reznej hrane, vzniká v oblasti styku ostria nástroja s povrchom obrobku. Je zapríčinené prevažne spevnením povrchových vrstiev obrobku a otrepmi. Tento typ opotrebenia sa vyskytuje najmä pri korozivzdorných austenitických oceliach.</p> <p><b>Opatrenia:</b></p> <ul style="list-style-type: none"> <li>- použit povlakovaný, resp. oteruvzdornejší typ spekaného karbidu, ak to dovoľujú podmienky, použít VRD obsahujúcu <math>Al_2O_3</math></li> <li>- zvolit nástroj s menším uhlom nastavenia</li> <li>- nerovnomerne rozdelit triesku</li> </ul>

Obrázek / Obrázok	KŘEHKÉ PORUŠOVÁNÍ ŘEZNÉ HRANY	KREHKÉ PORUŠOVANIE REZNEJ HRANY
 	<p><b>Popis a příčiny:</b> Křehké porušování řezné hrany (mikrovyštípnutí) - ve většině případů se vyskytuje v kombinaci s jiným typem opotřebení, je samostatně obtížně identifikovatelné. Jeho příčinou bývá zejména nízká tuhost soustavy stroj-nástroj-obrobek nebo „tvrdé utváření“.</p> <p><b>Opatření:</b></p> <ul style="list-style-type: none"> <li>- použít houževnatější typ slinutého karbidu</li> <li>- zvolit méně intenzivní řezné podmínky</li> <li>- použít jinou řeznou geometrii</li> <li>- při najíždění do záběru zmenšit posuv</li> </ul>	<p><b>Popis a příčiny:</b> Křehké porušování rezné hrany (mikrovyštípnutie) sa vo väčšine prípadov vyskytuje v kombinácii s iným typom opotrebenia. Je samostatne obtiažne identifikovateľné. Jeho príčinou býva najmä nízka tuhosť sústavy stroj - nástroj - obrobok alebo tvrdé utváranie triesky.</p> <p><b>Opatrenia:</b></p> <ul style="list-style-type: none"> <li>- použiť húževnatejší typ spekaného karbidu</li> <li>- zvoliť menej intenzívne rezné podmienky</li> <li>- použiť inú reznú geometriu</li> <li>- pri nabíhaní do záberu zmenšiť posuv</li> </ul>
Obrázek / Obrázok	PORUŠOVÁNÍ ŘEZNÉ HRANY (MIMO ZÁBĚR)	PORUŠOVANIE REZNEJ HRANY (MIMO ZÁBER)
 	<p><b>Popis a příčiny:</b> Porušování řezné hrany (mimo záběr) - jeho příčinou je nevhodné utváření třísky, která při svém odchodu naráží na břit a ten mechanicky poškozuje.</p> <p><b>Opatření:</b></p> <ul style="list-style-type: none"> <li>- změnit posuv</li> <li>- zvolit nástroj s jiným úhlem nastavení</li> <li>- použít jinou řeznou geometrii (jiný utvářeč)</li> <li>- použít houževnatější typ slinutého karbidu</li> </ul>	<p><b>Popis a příčiny:</b> Porušovanie rezné hrany (mimo záber) - jeho príčinou je nevhodné utváranie triesky, ktorá pri svojom odchode naráža na ostrie a ten mechanicky poškodzuje.</p> <p><b>Opatrenia:</b></p> <ul style="list-style-type: none"> <li>- zmeniť posuv</li> <li>- zvoliť nástroj s iným uhlom nastavenia</li> <li>- použiť inú reznú geometriu (iný utvárač)</li> <li>- použiť húževnatejší typ spekaného karbidu</li> </ul>
Obrázek / Obrázok	HŘEBENOVITÉ TRHLINY	HŘEBEŇOVÉ TRHLINY
 	<p><b>Popis a příčiny:</b> Hřebenovité trhliny - tento jev je důsledkem dynamického tepelného zatížení při přerušovaném řezu.</p> <p><b>Opatření:</b></p> <ul style="list-style-type: none"> <li>- upustit od chlazení kapalinou (možno použít vzduch z důvodů odstanění třísek z místa řezu)</li> <li>- zvolit houževnatější materiál VBD</li> <li>- snížit řeznou rychlost</li> </ul>	<p><b>Popis a příčiny:</b> Hrebeňové trhliny vznikajú v dôsledku dynamického tepelného zaťaženia pri prerušovanom reze.</p> <p><b>Opatrenia:</b></p> <ul style="list-style-type: none"> <li>- upustiť od chladenia kvapalinou (môže sa použiť vzduch z dôvodu odstránenia triesok z miesta rezu)</li> <li>- zvoliť húževnatejší materiál VRD</li> <li>- znížiť reznú rýchlosť</li> </ul>

Obrázek / Obrázok	ÚNAVOVÉ TRHLINY PODÉL HŘBETU	ÚNAVOVÉ TRHLINY POZDĚLŤ CHRBTU
 	<p><b>Popis a příčiny:</b> Vznikají v důsledku dynamického zatížení oblasti těsně za břitem.</p> <p><b>Opatření:</b></p> <ul style="list-style-type: none"> <li>- použít houževnatější typ slinutého karbidu</li> <li>- změnit způsob najíždění a vyjíždění nástroje</li> <li>- změnit záběrové podmínky</li> <li>- použít jiný typ řezné geometrie resp. VBD s jinou úpravou řezné hrany (...T, ...S, ...K, ...P)</li> <li>- změnit posuv</li> </ul>	<p><b>Popis a příčiny:</b> Vznikají v důsledku dynamického zafázenia v oblasti tesne za reznou hranou.</p> <p><b>Opatrenia:</b></p> <ul style="list-style-type: none"> <li>- použít húževnatejší typ spekaného karbidu</li> <li>- zmeniť spôsob nábehu a výbehu nástroja</li> <li>- zmeniť záběrové podmienky</li> <li>- použít jiný typ rezné geometrie, resp. VRD s inou úpravou rezné hrany (...T, ...S, ...K, ...P)</li> <li>- zmeniť posuv</li> </ul>
Obrázek / Obrázok	DESTRUKCE BŘITU RESP. ŠPIČKY NÁSTROJE	DESTRUKCIA REZNEJ HRANY RESP. ŠPIČKY NÁSTROJA
 	<p><b>Popis a příčiny:</b> Destrukce břitu resp. špičky nástroje - příčiny tohoto jevu mohou být různé a jsou závislé na materiálu nástroje i materiálu obrobku, stavu a zejm. tuhosti soustavy stroj-nástroj-obrobek, vliv má i velikost a typ opotřebení a záběrové podmínky.</p> <p><b>Opatření:</b></p> <ul style="list-style-type: none"> <li>- použít houževnatější typ slinutého karbidu</li> <li>- zvolit méně intenzivní řezné podmínky (snižít posuv i hloubku)</li> <li>- použít VBD s větším poloměrem zaoblení špičky</li> <li>- použít VBD s větším úhlem špičky</li> <li>- použít jinou řeznou geometrii (jiný utvářeč)</li> <li>- stabilizovat řeznou hranu (břit)</li> <li>- při najíždění do záběru zmenšít posuv</li> </ul>	<p><b>Popis a příčiny:</b> Deštrukcia reznej hrany, resp. špičky nástroja - príčiny tohoto javu môžu byť rôzne a sú závislé na materiále nástroja aj materiálu obrobku, stave sústavy stroj - nástroj - obrobok, vplyv má aj veľkosť a typ opotrebenia a záběrové podmienky.</p> <p><b>Opatrenia:</b></p> <ul style="list-style-type: none"> <li>- použít húževnatejší typ spekaného karbidu</li> <li>- zvolit menej intenzívne rezné podmienky (znížiť posuv a hĺbku)</li> <li>- použít VRD s väčším polomerom zaoblenia špičky</li> <li>- použít VRD s väčším uhlom špičky</li> <li>- použít inú reznú geometriu (iný utvárač)</li> <li>- stabilizovať reznú hranu (ostrie)</li> <li>- pri nabehaní do záberu zmenšít posuv</li> </ul>

OBRÁBĚNÉ MATERIÁLY  
OBRABANE MATERIÁLY

VOLBA NÁSTROJE  
VOLBA NÁSTROJA

GEOMETRIE VBD  
GEOMETRIA VRD

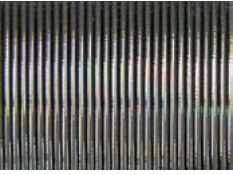
ŘEZNÉ MATERIÁLY  
REZNE MATERIÁLY

VOLBA ŘEZ. PODMÍNEK  
VOLBA REZ. PODMIENOK

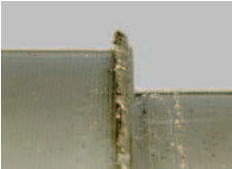
OPOTŘEBENÍ  
OPOTREBENIE

DALŠÍ INFORMACE  
ĎALŠIE INFORMÁCIE

PŘEVODNÍ TABULKA  
PREVODNA TABUJKA

Obrázek / Obrázok	VYSOKÁ DRSNOST OBROBENÉHO POVRCHU	VYSOKÁ DRSNOSŤ OBROBENÉHO POVRCHU
	<p><b>Popis a příčiny:</b></p> <p>U finálních operací, kde je kladen požadavek na drsnost povrchu, která je samozřejmě ovlivněna mnoha faktory, mezi nimiž lze jmenovat: materiál obrobku, řezné prostředí, provedení a stav břítu nástroje, řezné podmínky (zejm. posuv a řezná rychlost) a stabilita soustavy stroj-nástroj-obrobek.</p> <ul style="list-style-type: none"> <li>- špatná volba nástroje</li> <li>- špatná tloušťka třísky</li> <li>- špatně zvolená řezná rychlost</li> <li>- obrábění materiálu vyžaduje použití řezné kapaliny</li> <li>- vysoký posuv</li> </ul> <p><b>Opatření:</b></p> <ul style="list-style-type: none"> <li>- použít hladicí VBD resp. VBD s hladícím segmentem</li> <li>- použít VBD s vhodnou řeznou geometrií</li> <li>- snížit posuv</li> <li>- upravit (většinou zvýšit) řeznou rychlost</li> <li>- použít chlazení či mazání (MQL)</li> <li>- eliminovat chvění</li> <li>- použít nástroj s možností přesněji seřídít polohu jednotlivých VBD</li> <li>- změnit tloušťku třísky (upravit záběrové podmínky)</li> </ul>	<p><b>Popis a příčiny:</b></p> <p>Pri finálných operáciách, kde je kladená požiadavka na drsnosť povrchu, ktorá je samozrejme ovplyvnená mnohými faktormi, medzi ktorými je možné menovať materiál obrobku, reznú prostredie a stav ostria nástroja, reznú podmienku, najmä posuv a reznú rýchlosť a stabilita sústavy stroj - nástroj - obrobok.</p> <ul style="list-style-type: none"> <li>- zlá voľba nástroja</li> <li>- zlá hrúbka triesky</li> <li>- zle zvolená rezná rýchlosť</li> <li>- obrábanie materiálu vyžaduje použitie reznej kapaliny</li> <li>- vysoký posuv</li> </ul> <p><b>Opatrenia:</b></p> <ul style="list-style-type: none"> <li>- použít hladiace VRD alebo VRD s hladiacim segmentom</li> <li>- použít VRD s vhodnou reznou geometriou</li> <li>- znížiť posuv</li> <li>- upraviť (väčšinou zvýšiť) reznú rýchlosť</li> <li>- použít chladienie alebo mazanie (MQL)</li> <li>- eliminovať chvenie</li> <li>- použít nástroj umožňujúci presnejšie zoradiť polohu jednotlivých VRD</li> <li>- zmeniť hrúbku triesky (upraviť záberové podmienky)</li> </ul>

Obrázek / Obrázok	POCHVĚLÝ POVRCH	ROZOCHVENÝ POVRCH
	<p><b>Popis a příčiny:</b></p> <p>Je jevem veľmi častým, medzi hlavnými príčinami patrí nevyváženosť obrobku resp. nástroje, nestabilní upnutí obrábenej súčasti a vysoká hodnota rezných síl.</p> <ul style="list-style-type: none"> <li>- nízka tuhosť sústavy stro-nástroj-obrobek</li> <li>- príliš vysoká hĺbka triesky (jak axiálna tak radiálna)</li> <li>- hádzanie - špatná vyváženosť obrobku resp. nástroje</li> <li>- vysoké vyloženie nástroje</li> </ul> <p><b>Opatření:</b></p> <ul style="list-style-type: none"> <li>- prezkoušet stabilitu upnutia obrobku</li> <li>- prezkoušet stabilitu upnutia nástroja</li> <li>- zmenšit hĺbku rezu</li> <li>- použít nástroj s menším vyložení</li> <li>- upraviť reznú rýchlosť</li> <li>- zmenšit tloušťku triesky (zmeniť reznú či záberové podmienky)</li> <li>- vhodnou voľbou rezných geometrií a materiálu nástroja minimalizovať silovú bilanciu rezného procesu (co najostrejší a najpozitívnejší) teda použít nástroj s nižším rezným odporom</li> <li>- použít nástroj s úhľom nastavenia blízky 90°</li> </ul>	<p><b>Popis a příčiny:</b></p> <p>Je javom veľmi častým. Medzi hlavné príčiny patrí nevyváženosť obrobku alebo nástroja, nestabilné upnutie obrábenej súčasti a vysoká hodnota rezných síl.</p> <ul style="list-style-type: none"> <li>- nízka tuhosť sústavy stroj - nástroj - obrobok</li> <li>- veľmi vysoká hĺbka triesky (jako axiálna tak aj radiálna)</li> <li>- hádzanie - zlá vyváženosť obrobku alebo nástroja</li> <li>- veľké vyloženie nástroja</li> </ul> <p><b>Opatrenia:</b></p> <ul style="list-style-type: none"> <li>- preskúšať stabilitu upnutia obrobku</li> <li>- preskúšať stabilitu upnutia nástroja</li> <li>- zmenšit hĺbku rezu</li> <li>- použít nástroj s menším vyložení</li> <li>- upraviť reznú rýchlosť</li> <li>- zmenšit hrúbku triesky (zmeniť reznú alebo záberové podmienky)</li> <li>- vhodnou voľbou rezných geometrií a materiálu nástroja minimalizovať bilanciu rezného procesu (čo najostrejší a najpozitívnejší), teda použít nástroj s nižším rezným odporom</li> <li>- použít nástroj s úhľom nastavenia blízky 90°</li> </ul>

Obrázek / Obrázok	TVORBA OTŘEPU	TVORBA OTREPU
	<p><b>Popis a příčiny:</b> Tento jev je velmi častý, nelze mu vždy zabránit. Otřep vzniká zejména při obrábění měkkých ocelí a plastických materiálů.</p> <p><b>Opatření:</b></p> <ul style="list-style-type: none"> <li>- použít VBD s ostrým břitem</li> <li>- použít VBD s pozitivní geometrií</li> <li>- použít nástroj s menším úhlem nastavení</li> </ul>	<p><b>Popis a příčiny:</b> Tento jav je velmi častý a nedá sa mu vždy zabrániť. Otrep vzniká najmä pri obrábaní mäkkých ocelí a plastických materiálův.</p> <p><b>Opatrenia:</b></p> <ul style="list-style-type: none"> <li>- použíť VRD s ostrou reznou hranou</li> <li>- použíť VRD s pozitívnu geometriou</li> <li>- použíť nástroj s menším uhlom nastavenia</li> </ul>
Obrázek / Obrázok	ROZMĚROVÁ A TVAROVÁ NEPŘESNOST OBROBKU	ROZMEROVÁ A TVAROVÁ NEPRESNOSŤ OBROBKU
	<p><b>Popis a příčiny:</b> Je ovlivněna velkým množstvím faktorů resp. vlastnostmi soustavy stroj-nástroj-obrobek.</p> <p><b>Opatření:</b></p> <ul style="list-style-type: none"> <li>- zvolit VBD s dostatečnou odolností proti opotřebení</li> <li>- přezkoušet stabilitu upnutí obrobku</li> <li>- přezkoušet stabilitu upnutí nástroje (snížit vyložení, případně zajistit vyvážení)</li> <li>- vhodně zvolit velikost přídávku na obrábění</li> </ul>	<p><b>Popis a příčiny:</b> Je ovplyvnená veľkým množstvom faktorov a vlastnosťami sústavy stroj - nástroj - obrobok.</p> <p><b>Opatrenia:</b></p> <ul style="list-style-type: none"> <li>- zvoliť VRD s dostatečnou odolnosťou proti opotrebeniu</li> <li>- preskúšať stabilitu upnutia obrobku</li> <li>- preskúšať stabilitu upnutia nástroja (znižiť vyloženie, zaistiť vyváženie)</li> <li>- vhodne zvoliť veľkosť prídavku na obrábanie</li> </ul>
Obrázek / Obrázok	NEVHODNÝ TVAR TŘÍSKY	NEVHODNÝ TVAR TRIESKY
	<p><b>Popis a příčiny:</b> Vhodný tvar třísky - je v současnosti stejně důležitým kritériem jako trvanlivost. Na vhodné utváření má vliv zejména materiál obrobku, posuv, hloubka řezu a samozřejmě vhodná volba řezné geometrie (utvářeče). Dlouhá (neutvářená) tříska je z mnoha důvodů neakceptovatelná, ale i příliš krátká "drcená" tříska je nežádoucí (svědčí o přetížení břitu a vede ke vzniku vibrací)</p> <p><b>Opatření:</b></p> <ul style="list-style-type: none"> <li>- upravit posuv a hloubku řezu</li> <li>- zvolit vhodnější geometrii</li> <li>- změnit záběrové podmínky</li> </ul>	<p><b>Popis a příčiny:</b> Vhodný tvar triesky je v súčasnosti rovnako dôležitým kritériom ako trvanlivosť. Na vhodné utváranie má vplyv najmä materiál obrobku, posuv, hĺbka rezu a samozrejme vhodná voľba reznej geometrie (utvárača). Dlhá (neutváraná) trieska je z mnohých dôvodov neakceptovateľná, ale aj veľmi krátká, rozdrvená trieska je nežiadúca a svedčí o preťažení ostria a vedie ku vzniku vibrácií.</p> <p><b>Opatrenia:</b></p> <ul style="list-style-type: none"> <li>- upraviť posuv a hĺbku rezu</li> <li>- zvoliť vhodnejšiu geometriu</li> <li>- zmeniť záberové podmienky</li> </ul>

OBECE PLATNÉ ZÁSADY	OBECE PLATNÉ ZÁSADY
<p><b>Kontrola stavu lůžka VBD</b></p> <p>Před nasazením nové VBD nebo výměnou břitu pootočením VBD je nutno očistit lůžko, zkontrolovat stav lůžka popřípadě podložky či podpěrného klínu (otlačení, poškození zejména pod špičkou VBD).</p>	<p><b>Kontrola stavu lůžka VRD</b></p> <p>Před nasazením nové VRD nebo výměnou ostria pootočením VRD je nutné vyčistit lůžko, zkontrolovat stav lůžka, případně podložky nebo podpěrného klínu (otlačení, poškození zejména pod špičkou VRD).</p>
<p><b>Kontrola a údržba upínacích segmentů</b></p> <p>Neméně důležitá je i kontrola samotných upínacích segmentů (úhlové páky, šroubku, upínky či upínacího klínu. Pro upnutí zásadně používat segmenty nepoškozené v případě jejich výměny používat pouze náhradní díly uvedené v katalogu pro daný nástroj. Pravidelně mazat závit a kuželové dosedací plochy šroubků- např. mazivem odolným proti vyšším teplotám (Molyko G). Pro montáž i demontáž používat výhradně šroubováky a klíče uvedené v katalogu nebo doporučené výrobcem nástroje, dále je nutno dbát na správné dotažení šroubků (úměrné dotažení!) - nejlépe používat momentový klíč.</p>	<p><b>Kontrola a údržba upínacích segmentov</b></p> <p>Nemenej dôležitá je aj kontrola upínacích segmentov (uhlovej páky, skrutky, upínky a upínacieho klínu). Pre upnutie zásadne používať segmenty nepoškodené, v prípade ich výmeny používať len náhradné diely uvedené v katalógu pre daný nástroj. Pravidelne mazať závit a kuželové dosadacie plochy skrutiek, napr. mazivom odolným proti vyšším teplotám (Molyko G). Pre montáž a demontáž používať výhradne skrutkovače a kľúče uvedené v katalógu alebo doporučené výrobcem nástroja. Je nutné tiež dbať na správne dotiahnutie.</p>
<p><b>Kontrola upnutí</b></p> <p>Při upínání je nutno zkontrolovat dosednutí VBD po celé dosedací ploše a opření VBD v radiálním a axiálním směru. upínané VBD a samozřejmě i nástroje musí být vždy čisté a nepoškozené.</p>	<p><b>Kontrola upnutia</b></p> <p>Pri upínaní je nutné zkontrolovat dosadnutie VRD po celej dosadacej ploche a oprenie VRD v radiálnom a axiálnom smere. Upínané VRD a aj nástroje musia byť vždy čisté a nepoškodené.</p>

Tabulka č. 27  
Tabulka č. 27VZORCE PRO VÝPOČTY PARAMETRŮ  
VZORCE PRE VÝPOČET PARAMETROV

Veličina	Vzorec pro výpočet Vzorec pre výpočet	Jednotka	Poznámka
Počet otáček Počet otáčok	$n = \frac{v_c \cdot 1000}{D \cdot \pi}$	[ot/min]	n počet otáček [1/min] D průměr (nástroje nebo obrodku) [mm]
Řezná rychlost Rezná rýchlosť	$v_c = \frac{\pi \cdot D \cdot n}{1000}$	[m/min]	v <sub>c</sub> řezná rychlost [m/min] f <sub>ot</sub> posuv na otáčku [mm/ot] f <sub>min</sub> minutový posuv (rychlost posuvu) [mm/min]
Posuv na otáčku	$f_{ot} = \frac{f_{min}}{n}$	[mm/ot]	n počet otáčok [1/min] D průměr (nástroja alebo obrodku) [mm] v <sub>c</sub> rezná rýchlosť [m/min] f <sub>ot</sub> posuv na otáčku [mm/ot] f <sub>min</sub> minútový posuv (rychlosť posuvu) [mm/min]
Minutový posuv (rychlost posuvu) Minútový posuv (rychlosť posuvu)	$f_{min} = v_f = f_{ot} \cdot n$	[mm/min]	
Teoretická hodnota maximální nerovnosti povrchu R <sub>max</sub> Teoretická hodnota maximální nerovnosti povrchu R <sub>max</sub>	$R_{max} = \frac{125 \cdot f_{ot}^2}{r_\epsilon}$	[μm]	R <sub>max</sub> teoretická hodnota maximální nerovnosti povrchu [mm] R <sub>s</sub> střední drsnost obrobeného povrchu [mm] f <sub>ot</sub> posuv na otáčku [mm/ot] r <sub>ε</sub> rádius zaoblení špičky nástroje [mm]
Střední drsnost obrobeného povrchu R <sub>s</sub> Středná drsnosť obrobeného povrchu R <sub>s</sub>	$R_s = \frac{43,9 \cdot f_{ot}^{1,88}}{r_\epsilon^{0,97}}$	[μm]	R <sub>max</sub> teoretická hodnota maximální nerovnosti povrchu [mm] R <sub>s</sub> středná drsnosť obrobeného povrchu [mm] f <sub>ot</sub> posuv na otáčku [mm/ot] r <sub>ε</sub> rádius zaoblenia špičky nástroja [mm]
Průřez třísky Prierez triesky	$A = f_{ot} \cdot a_p$	[mm <sup>2</sup> ]	A průřez třísky [mm <sup>2</sup> ] f <sub>ot</sub> posuv na otáčku [mm/ot] a <sub>p</sub> hloubka řezu [mm] κ <sub>r</sub> úhel nastavení hlavního břitu [°] h tloušťka třísky [mm] v <sub>c</sub> řezná rychlost [m/min] f <sub>min</sub> minutový posuv (rychlost posuvu) [mm/min] Q odebraný objem materiálu za 1 minutu [cm <sup>3</sup> /min]
Tloušťka třísky (VBD s rovným břitem) Hrúbka triesky (VRD s rovným ostrím)	$h = f_{ot} \cdot \sin \kappa_r$	[mm]	
Tloušťka třísky (VBD s kruhovým břitem) Hrúbka triesky (VRD s kruhovým ostrím)	$h = f_{ot} \cdot \sqrt{\frac{a_p}{D}}$	[mm]	A prierez triesky [mm <sup>2</sup> ] f <sub>ot</sub> posuv na otáčku [mm/ot] a <sub>p</sub> hĺbka rezu [mm] κ <sub>r</sub> uhol nastavenia hlavného ostria [°] h hrúbka triesky [mm] v <sub>c</sub> rezná rýchlosť [m/min] f <sub>ot</sub> posuv na otáčku [mm/ot] f <sub>min</sub> minútový posuv (rychlosť posuvu) [mm/min] Q odobraný objem materiálu za 1 minútu [cm <sup>3</sup> /min]
Odebraný objem materiálu Odobraný objem materiálu	$Q = a_p \cdot f_{ot} \cdot v_c$	[cm <sup>3</sup> /min]	
Potřebný příkon Potrebný príkon	$P_c = \frac{a_p \cdot f_{ot}^{1-c} \cdot k_{cl} \cdot v_c \cdot \kappa_r}{6 \cdot 10^4 \cdot \eta}$	[kW]	P <sub>c</sub> potřebný příkon [kW] a <sub>p</sub> hloubka řezu [mm] f <sub>ot</sub> posuv [mm.ot <sup>-1</sup> ] c konstanta KTV [1] k <sub>c</sub> měrný řezný odpor [MPa] k <sub>κ</sub> součinitel zahrnující vliv úhlu κ <sub>r</sub> [1] η účinnost soustruhu (obvykle η = 0,75) [1] x součinitel vlivu obr. materiálu [1]
Přibližný potřebný příkon Přibližný potřebný příkon	$P_c = \frac{a_p \cdot f_{ot} \cdot v_c}{x}$	[kW]	P <sub>c</sub> potrebný príkon [kW] a <sub>p</sub> hĺbka rezu [mm] f <sub>ot</sub> posuv [mm/ot] c konštanta KTV [1] k <sub>c</sub> měrný rezný odpor [MPa] k <sub>κ</sub> súčiniteľ zahrnujúci vplyv uhlu κ <sub>r</sub> [1] η účinnosť sústruhu (obvykle η = 0,75) [1] x súčiniteľ vplyvu obr. materiálu [1]

Materiál	Ocel Oceľ	Litina Litina	Al
Součinitel x Súčiniteľ x	20	25	100

## UPÍNACÍ ŠROUB / UPÍNACIA SKRUTKA

Označení šroubu Označenie skrutky		Šroubovák Skrutkovač		Uťahovací moment [Nm]* Uťahovací moment [Nm]*
28588		MA2-8304		0,8
28992		MA2-8304		0,8
416.1-832		PT-8002		3,6
5513 020-01		PT-8004		3,6
5513 020-03		PT-8001		0,8
5513 020-04		PT-8003		1,5
5513 020-05		PT-8001		0,8
5513 020-14		TX 225PLUS		8,5
5513 020-24		PT-8002		1,5
5513 020-27		PT-8000		0,6
5513 020-28		PT-8000		0,6
5513 021-03		DMN 3124		13
DVF 0573		PT-8002		1,5
DVF 2260		TX 215PLUS		3,6
DVF 3584		DMD 1650		0,6
DVF 3593		TX 207PLUS		0,8
HS 0408		HXK 3		5
HS 0520C		HXK 4		6
HS 0616C		HXK 5		8
HS 0620		HXK 5		8
HS 0620C		HXK 5		8
HS 0625		HXK 5		8
HS 0625C		HXK 5		8
HS 0630		HXK 5		8
HS 0825		HXK 6		10
HS 0830		HXK 6		10
HS 0835		HXK 6		10
HS 0840		HXK 8		11
HS 1060		HXK 6		10
HS 93		HXK 5		8
HS 94		HXK 5		8
PS 0512		HXK 2		3
PS 0616		HXK 2,5		4
PS 12040		HXK 5		8
PS 6026-709P		SRD T09P		2
SR 14		HXK 10		10
SR 85011-T15P		SDR T15P		5
SR 85017-T09P		SDR T09P		2
SR 85020-T15P		SDR T15P		3
SR 86025-T20P		SRD T20P		5
T20.037		DMD 1650		0,6
UP 0909-T09P		SRD T09P		2
US 2505-T07P		SDR T07P		0,9
US 2506-T07P		SDR T07P		0,9
US 3007-T09P		SDR T09P		2
US 34		HXK 3		5
US 35		HXK 4		6
US 3510A-T15P		SDR T15P		3
US 3510-T15P		SDR T15P		3
US 3512A-T15P		SDR T15P		3
US 3512-T15P		SDR T15P		3
US 36		HXK 4		6
US 38		HXK 5		8
US 39		HXK 5		8

## UPÍNACÍ ŠROUB / UPÍNACIA SKRUTKA

Označení šroubu Označenie skrutky		Šroubovák Skrutkovač 	Uťahovací moment [Nm]* Uťahovací moment [Nm]*
US 40		HXK 4	6
US 4008-T15P		SDR T15P	3,5
US 4011-T15P		SDR T15P	3,5
US 41		HXK 4	6
US 42		HXK 4	6
US 45013-T20P		SDR T20P	5
US 4512-T15P		SDR T15P	5
US 4514A-T20		SDR T20	5
US 46		HXK 3	5
US 46017-T20P		SDR T20P	5
US 47		HXK 5	8
US 5012-T15P		SDR T15P	5
US 5018-T20P		SDR T20P	5
US 6020-T25P		SDR T25P	6
US 64518-T15P		SDR T15P	5
US 8025-T30P		SDR T20P	13
US 83		HXK 4	6

## MOMENTOVÉ ŠROUBOVÁKY / MOMENTOVÉ SKRUTKOVÁČE

Momentová rukojeť Momentová rukoväť 	Upínací moment (Nm) Upínací moment (Nm)	Závit upínacího šroubu Závit upínacej skrutky
MR-0,8-2,0 vario	0,8 - 2,0	M 2 - M 3
MR-1,0-5,0 vario	1,0 - 5,0	M 2,5 - M 5
MR-0,9 fix	0,9	M 2
MR-2,0 fix	2,0	M 3
MR-3,0 fix	3,0	M 3,5
MR-3,5 fix	3,5	M 4
MR-5,0 fix	5,0	M 5

## VÝMĚNNÉ DŘÍKY / VÝMENNÉ DRIEKY

Výměnné dřívky  
Výmenné drieky

D-T6

D-T6P

D-T7

D-T7P

D-T8

D-T8P

D-T9

D-T9P

D-T15

D-T15P

D-T20

D-T20P

## MAZÁNÍ ŠROUBŮ

Vzhledem k velkému teplotnímu namáhání upínacích šroubů doporučujeme jejich mazání vysoce kvalitní mazací pastou (např. MOLYKOTE 1000). Tuto pastu lze objednat shodným způsobem jako náhradní díly.

## MAZANIE SKRUTEK

Vzhľadom k veľkému teplotnému namáhaniu upínacích skrutiek doporučujeme ich mazanie vysoko kvalitnou mazacou pastou (napr. MOLYKOTE 1000). Túto pastu je možné objednať rovnakým spôsobom ako náhradné diely.

Obrázek č. 29 / Obrázok č. 29

značení VBD (ISO); materiál interní kód čárový kód

číslo výrobku (JK) materiál množství VBD štítek výrobce

**CNMG 120408E-FM ; T9325**  
80015949 3215-2193615 QTY 10

Gr.	P15 - P35	M10 - M25	K20 - K35	-	S20 - S30	-
$v_c$	355-240	210-140	335-225	-	105-45	-
$f_z$	0,15-0,45	0,15-0,34	0,15-0,45	-	0,15-0,27	-
$a_p$	0,8-3,0	0,8-2,3	0,8-3,0	-	0,8-1,8	-
	■	■	■	□	□	-

STEEL STAINLESS CAST IRON NON-FERROUS SUPERALLOYS HARD MATERIAL

rozsah hloubky řezu s ohledem na typorozměr a utvařeč

rozsah posuvů s ohledem na typorozměr a utvařeč

rozsah startovních řezných rychlostí s ohledem na hloubku řezu i posuv

aplikační oblast řezného materiálu

členění materiálu dle ISO 513

hloubka řezu  
posuv  
řezná rychlost

priorita dané volby:  
(zohledňuje vhodnost  
užití s ohledem  
na řezný materiál  
i geometrii)  
■ - hlavní oblast použití  
■ - další použití  
□ - podmíněné použití

značení VRD (ISO); materiál interní kód čárový kód

číslo výrobku (JK) materiál množství VRD štítek výrobce

**CNMG 120408E-FM ; T9325**  
80015949 3215-2193615 QTY 10

Gr.	P15 - P35	M10 - M25	K20 - K35	-	S20 - S30	-
$v_c$	355-240	210-140	335-225	-	105-45	-
$f_z$	0,15-0,45	0,15-0,34	0,15-0,45	-	0,15-0,27	-
$a_p$	0,8-3,0	0,8-2,3	0,8-3,0	-	0,8-1,8	-
	■	■	■	□	□	-

STEEL STAINLESS CAST IRON NON-FERROUS SUPERALLOYS HARD MATERIAL

rozsah hloubky řezu s ohľadom na typorozmer a utvárač

rozsah posuvov s ohľadom na typorozmer a utvárač

rozsah štartovacích rezných rýchlostí s ohľadom na hĺbku rezu i posuv

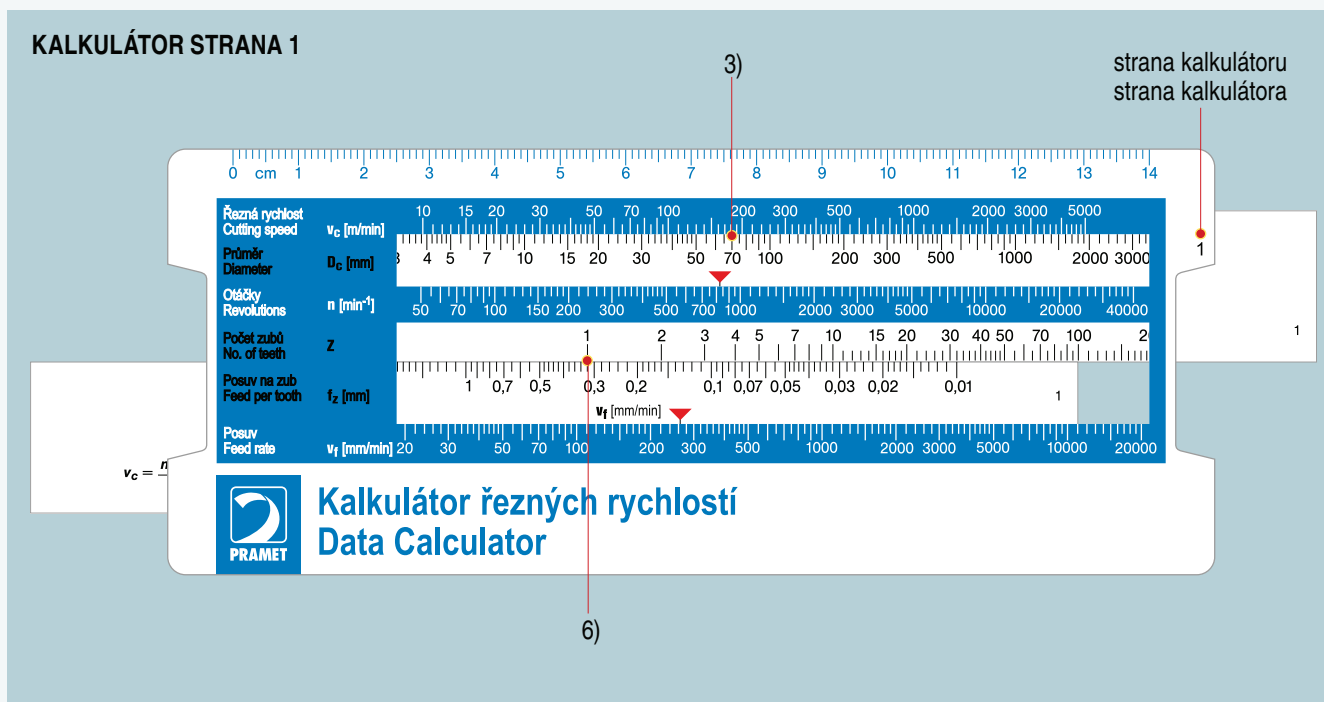
aplikačná oblasť rezného materiálu

členenie materiálu podľa ISO 513

hĺbka rezu  
posuv  
rezná rýchlosť

priorita danej voľby:  
(zohľadňuje vhodnosť  
použitia s ohľadom  
na rezný materiál  
i geometriu)  
■ - hlavná oblasť použitia  
■ - ďalšie použitie  
□ - podmienené použitie

Obrázek č. 30 / Obrázok č. 30



### SOUTRUŽENÍ

#### Příklad použití:

##### určení otáček – strana kalkulatoru 1

- 1) obrobek  $\varnothing$  70 mm;
- 2) v katalogu nebo na krabičce VBD zjistíme řeznou rychlost  $v_c$  např.  $v_c = 180$  m/min a předepsaný posuv na otáčku  $f_z = 0,32$  mm/ot;
- 3) na straně 1 kalkulatoru, označené  $D_c$  [mm] zadáme obráběný průměr a tuto hodnotu posuneme pod horní stupnici  $v_c$  [m/min.], pod hodnotu 180;
- 4) červená šipka na stupnici otáčky  $n$  [ot/min], označuje otáčky vřetene = 820 ot/min.

##### určení délky obrobenej plochy za min. – strana kalkulatoru 1

- 5) horní část kalkulatoru necháme na stejném místě
- 6) na spodní části stupnice označené  $f_z$  [mm] posuneme hodnotu např. 0,32 pod stupnici  $Z$ , hodnotu 1
- 7) červená šipka na stupnici posuv  $v_f$  [mm/min], označuje délku obrobenej plochy za 1 min., v našem případě 260 mm/min.

### SÚSTRUŽENIE

#### Příklad použitia:

##### určenie otáčok - strana kalkulatora 1

- 1) obrobok  $\varnothing$  70 mm
- 2) v katalógu, alebo na krabičke VRD zistíme reznú rýchlosť  $v_c$  napr  $v_c = 180$  m/min a predpísaný posuv na otáčku  $f_z = 0,32$  mm/ot;
- 3) na strane 1 kalkulatora, označené  $D_c$  (mm) zadáme obrábaný priemer a túto hodnotu posunieme pod hornú stupnicu  $v_c$  (m/min.) pod hodnotu 180;
- 4) čelná šípka na stupnici otáčky  $n$  (ot/min.) označuje otáčky vřetena = 820 ot/min.

##### určenie dĺžky obrobenej plochy za min. - strana kalkulatora 1

- 5) hornú časť kalkulatora necháme na rovnakom mieste
- 6) na spodnej časti stupnice označené  $f_z$  (mm) posunieme hodnotu napr. 0,32 pod stupnicu  $Z$ , hodnotu 1
- 7) červená šípka na stupnici posuv  $v_f$  (mm) označuje dĺžku obrobenej plochy za 1 min., v našom prípade 260 mm/min.

POROVNÁNÍ OBRÁBĚNÝCH MATERIÁLŮ - SKUPINA P  
POROVNANIE OBRABANÝCH MATERIÁLOV - SKUPINA P

ISO 513		Zahraniční ekvivalenty / Zahraničné ekvivalenty															
		CZ	GB	EU	ISO	AFNOR	UNI	JIS	DIN	D	D	PL	RUS	S	GB	USA	E
1	10.000				S 185	A 33	Fe 320	ST 33.1	SI 3	SI 3	SI 3	SI 3	SI 3	SI 3	SI 3	SI 3	SI 3
1	10.004		Q 195		Fe 310.4	A 33	Fe 320	SI 35.2	SI 1	SI 1	SI 1	SI 1	SI 1	SI 1	SI 1	SI 1	SI 1
1	10.216				Fe E24	Fe E24	CF 9 S1m.28	IG	SI 35.2	SI 35.2	SI 35.2	SI 35.2	SI 35.2	SI 35.2	SI 35.2	SI 35.2	SI 35.2
1	11.109				11SMc28	S 250	CF 9 S1m.28	SUM 22	9SMc28	1.0715	1.0715	A 10X	A 12	1912.04	230M07	1213	11SMc28
1	11.110				10520	10F1	CF10S20	10520	1.0721	1.0721	A 11	A 12	210M15	1912	210M15	10520	10520
1	11.120				Y20	20F2		22520	1.0724	1.0724							
2	11.140				35S20	35 MF 6	CF 35 S1m.10	35S20	35S20	1.0314	A 35	A 30	1957.03	212M06	1140	35 MF 6	35 MF 6
1	11.300				FeP 02		3CD5	SWMR6	D6-2	1.0314	UC6	05kp	1140	212M06	1140	Gr.1005	Gr.1005
1	11.301				FeP 03		SPCD	USI 13	USI 13	1.0333	SI 03F		1146	2HR.HS.CR.CS	1008	Gr.1005	Gr.1005
1	11.304				FeP 04			USI 14	USI 14	1.0336	1.0336		1147	1 HR.HS.CR.CS	A 619	DC04	DC04
1	11.320					ES	SPCE	SH 4	SH 4	1.0338	08J	08Ju	1144	1 HR.HS.CR.CS	A 619	DC04	DC04
1	11.321					FeP 01	DC 01/FeP 01	SPCC	SI 12	1.0322	08X	08kp	1142	DC 01/FeP 01	1008	DC 01	DC 01
1	11.325							SPCE	SI 12			08Ju	1142	DC 01/FeP 01	1008	AP 04	AP 04
1	11.330							SPC Cl.2	SI 3			08J	1142	Cr 2	366	FeP01/DC01	FeP01/DC01
1	11.331					DC01/FeP01	FeP01/DC01	SPOC	SI 2	1.0330		08J	1142	3CR	366	FeP01/DC01	FeP01/DC01
1	11.343		A 3		S 235JRG1	A34-2	Fe630	SS 300	S304-2	1.0028	S30X	16D	1312	CEN2BK	Gr.C	S 235JRG1	S 235JRG1
1	11.353						Fe680	STKM12A	SI 5	1.0308	R35	10	1233	CF S3	1120	F6304	F6304
1	11.364					A 37 APCP	FeE235	SPV 450	H 1	1.0345	SI 36 K	12K	1330	141-360	Gr. A	F6304	F6304
1	11.366					A 37 AP	Fe 360-1KG,KW	SGV 410	H 1	1.0345	SI 36K	12K	1330	141-360	Gr. A	A 37FCI	A 37FCI
1	11.368				P 3	A 37 AP	Fe 360-1 KG	SGV 410	SI 35	1.0345	SI 35 KW	15K	1330	141-360	Gr. A	A 37 RBL	A 37 RBL
1	11.369					A37FP	Fe 360-2KG	STPL380	AS135			15K	1332		Gr.1	A37RBL	A37RBL
1	11.373				S 235JRG1		Fe360 B	STKM12A	US937-2	1.0036	S93X	S13p	1311	Fe9008	Gr.C	S 235JRG1	S 235JRG1
1	11.375				S 235JRG2		Fe360 B	STKM12A	S 235JRG2	1.0036	S13p	RS360B	1312	S 235JRG2	Gr.36	S 235JRG2	S 235JRG2
1	11.378				Fe37B1, FN, FU	E 24-3	Fe 360C	SS330	SI 37-3		SI 3W	16D	1312	40 D	Gr.58	AE 235D	AE 235D
1	11.379							RSI 37-2 Cu3	SI 37-3	1.0167	SI 3 SCu		1312				
1	11.381					A37FP	Fe360-2KG	AS135	AS135				1312		Gr.55	A37RBL	A37RBL
1	11.416				P 265GH	A 42 AP	Fe 410KG,KT,KW	SG 295	H 11	1.0425	SI 41K	16K	1430	151-400	Gr.A	A 42PCII	A 42PCII
1	11.418				P 265GH	A 42F	P 265 GH	SG 295	SI 45.8		SI 41KW	20K	1430	161-430	Gr.60	A 42RBL	A 42RBL
1	11.419				P310NB	A 42 FPI	Fe 410-2KG	SI 41	AS141	1.0437			224-400	Gr.60	Gr.60	A 42 RBL	A 42 RBL
1	11.423					E 28-2		SS 41	SI 41		SI 3 SX	VS1 4 hp, ps	1020	49-25 HR.HS	1020	AE275B	AE275B
1	11.425				S 275JR	E 28-2	Fe 430B	RS462-2	RS462-2		SI 4V	SI 4	1411	161-430	Gr.D	AE275B	AE275B
1	11.428					E 28-3	Fe 430 C	SM 400 C	SI 42-3		SI 4 W	VS1 4.9p	1411	43 C	Gr.70	AE 275 D	AE 275 D
1	11.431					A 42 F	Fe 410-2 KG,KW	SLA 2	AS1 41	1.0426	SI 3M	20K	1411	400-22	X 42	F 6310	F 6310
1	11.443				Fe 430B	E 28-2		SI 44-2	SI 44-2	1.0044	R 45	SI 49p	1411	438.C		F 6310	F 6310
1	11.453						STKM13B	SI 45	SI 45				1035	430	1035		
1	11.474				P 295 NH	A 48 CP	Fe 460-1 KG	H IV	H IV	1.0445		16 GS	1035	430	1035		
1	11.478				P 295 GH	A 48 FP	Fe 460-1 KG,KW	SG 365	AS1 45		SI 462	14G2	1050	223-490	Gr.F	P 295 GH	P 295 GH
1	11.481				P 295 GH	A 48 AFP	Fe 510-1 KG,KW	SPV 315	AS1 45	1.0436	17MnKW	18K	2103	224-460 B	Gr.B,C	P 295 GH	P 295 GH
1	11.483				S 355J2G3	E 36-3	Fe 510	SI 490	SI 52-3	1.0570	G355	S345	2132	430 LT	X 46	A 47 FCI	A 47 FCI
1	11.484					A 48 FPI		SI 490	SI 52-3	1.0570	G355	S345	2132	50C	Gr.50 type 1 6z.4	S 355J2G3	S 355J2G3
2	11.500				Fe 490	A 50	Fe 490	SS 490	SI 50-2	1.0050	SI 5	S285	2172	4333HS	Gr.50	A 490-2	A 490-2
1	11.523				Fe 510	E 36-3	Fe 510	SI 520C	SI 52-3	1.0570	1662 A-Cu	SI 510D	2132	5035HR	Gr.15180	S 355J2G3	S 355J2G3
1	11.529				S 355J2G3Cu			SI 52-3 Cu3	SI 52-3 Cu3	1.0585	1662 A-Cu	1062 BD	2132	5035HR	Gr.15180	S 355J2G3	S 355J2G3
1	11.531				Fe 510 D2	A 52 FP	S 355J2G4	AS1 52	AS1 52	1.0577			224-460	Gr.A	AE 355 D	AE 355 D	
2	11.550				RS0-NBK		Fe 540	STKM 16 A	SI 55	1.0507	R 55	BS 5 ps	1050	CDS 7	Gr.A	AE 355 D	AE 355 D
2	11.600				Fe 690	E 335	E 335	SI 570	SI 57	1.0060	MS16	S16p	1650	E335	Gr.65	Fe690-2FN	Fe690-2FN
3	11.700				Fe 680	A 70	Fe 680	SI 70-2	SI 70-2	1.0070	SI 7	S375	1655	E360	Gr.65	E360	E360
1	12.010					X 10	C 10	S9CK	C 10	1.1121	10	08	1285	045A10	Gr.1010,1011,M1010	C10k	C10k
1	12.011											08	1285	045A10	Gr.1010,1011,M1010	C10k	C10k
1	12.014										E2	10880	10880				
1	12.014										E2	10880	10880				
1	12.020				C15E	C18RR	C15	STB 340	C15	1.1141	E2	10880	10880				
1	12.021				C15E4	C14	C14	STB 340	C15	1.0305	K 10	10	10	080M15	Gr.1016	C16k	C16k

	ČSN	GB	EN	ISO	AFNOR	UNI	JIS	DIN	D	W-nr	PN	ONORM	GOST	SS	BS	USA	E
1	12 022			TS 14		C 18	STB 410	Sl 45.8		1.0405	K 18		20				
1	12 023	15	C18E	C18E4	XC15	C15	S15C	C15		1.1141	15	RC15	15			Gr.1015	
1	12 024	20	C22	C 25	XC 18	C 21	S 22C	C 22		1.0402	20		20	1450		Gr.1020	
3	12 030	25	2C25	C25E4	XC25	C25	S25C	C25		1.0406	25		25			Gr.1025	C25K
3	12 031	30	C 30	C 30 E4	XC 32	C 30	S 30 C	C 30		1.0528	30		30			Gr.1035	C35
3	12 040	35	C35	C35E4	C35	C35	S35C	C35		1.0501	35	C35	35	1550		Gr.1035	C35
3	12 041	40	C 40	C 40E4	XC 42 HI	C 40	S 40C	C 40		1.0511	40		40			Gr.1040	C 40
1	12 042	35 B	C 35 BKO		38 B3	C 35 BKB	SWRCHB 234	35 B2			45	C45SW	45	1650		Gr.1043	F.1295
2	12 050	45	C45	C60E4	C45	C45	S45C	C45		1.0503	45		45			Gr.1043	C45K
2	12 051	50	C 50	C50E4	XC 48 H1	C 50	S 50 C	C 50		1.1206	50		50	1674		Gr.1050	1 C 50
3	12 060	55	C55	C55E4	C54	C55	S55C	C55		1.0535	55		55	1655		Gr.1055	C55
4	12 061	60	2 C 60	C 60 E4	C 60	C 60	S 60 C	C 60		1.0601	60		60	1665		Gr.1060	C60
2	12 071	75	1 C87		C 68	C 67	S 70C-CSP	C 67			75		75	1774		Gr.1070	
2	12 081	85	1CS75	CS75	XC75	C75		Ck75		1.1248	75		75			Gr.1078	
3	12 090	85	2 CS 85	CS 85	C 90RH	C 85	SK 5-CSP	C 85E		1.1269	85		85			Gr.1086	
2	13 141	30Mn2	28Mn6	28Mn6	35M5	C28Mn	SCMn2	28Mn6		1.1165	30C2		30C2			Gr.1330	30Mn5
2	13 151				45 S 7			45 S 7		1.5024	45 S		45 S			Gr.1330	46 Si 7
4	13 180	35SiMn			38M6S			80Mn4			65G		70G			Gr.1330	
3	13 240							37Mn5S		1.5122	35SG		35SG			Gr.1330	
3	13 242							42MnV7		1.5223						Gr.1330	
4	13 251			Type 3	45S7			46S7		1.5024	45S		50S2			Gr.1330	
4	13 270	60S2Mn			60S7	60S7	SUP6	60S7		1.5028	60S2		60S2			Gr.1330	F.1451
3	14 100	GCr15	100Cr6	Type 1-0	100C6	100C16	SUJ2	100C16			60S2		60S2			Gr.1330	60S7
2	14 109	GCr 15	100Cr6	Type 1-0	100C16	100C16	SUJ2	100C16		1.3505	LH 15		50H15			Gr.1330	F.1310
1	14 120	15Cr	150Cr2	37Cr4	12C8	12C8	SCr415	15Cr3		1.7015	15 H		15Ch			Gr.1330	100Cr6
2	14 140	35Cr	37Cr4	TYPE 2	37Cr4	38Cr4	SCr435H	37Cr4		1.7034	40H	41Cr4SP	38Cr4	2245		Gr.1330	37Cr4
3	14 160			55 C 3	55 C 3								50Cr4			Gr.1330	
3	14 209	Cr6SiMn	100CrMn6	TYPE 3	100CM6	100CMn6	SUJ3	100CMn6		1.3520	LH15SG		50Cr4			Gr.1330	100CrMn6
1	14 220	15CrMn	16MnCr5	TYPE 5	16MnCr5	16MnCr5		16MnCr5		1.7131	18HG		18HG	2127		Gr.1330	16MnCr5
1	14 221	20CrMn	20MnCr5	Type 7	20MnCr5	20MnCr5	SMnCr420H	20MnCr5		1.7147	18HGT		18HG			Gr.1330	F.150D
1	14 223															Gr.1330	
3	14 230															Gr.1330	
3	14 231															Gr.1330	
3	14 240	35Mn2			545Cr6	48S7	SMn438	36Mn5		1.5067	60S2		60S2			Gr.1330	
3	14 260	60S2CrA					SUP7	545Cr6		1.7102	30HGS		30HGS			Gr.1330	
3	14 331							34CrA6		1.8504	37HS		38Cr2JL			Gr.1330	
3	14 341															Gr.1330	
1	15 020		16Mn3	F26 P26, TS26	15D3	15Mn3	STBA12	15Mn3		1.5415	16M	15Mn3KW	38CrS	2912		Gr.1330	16Mn3
1	15 121	12CrM6	13CrMn6+5	F32 P32, TS26	15CD4-5	14CrMn3	SFVAF12	13CrMn6+4		1.7335	16HM	13CrMn6+4KW	12CHM	2216		Gr.1330	14CrMn6+5
1	15 124		18CrMn4	18CrMn4	18CrMn4	18CrMn4	SCM418	18CrMn4			18HGM		20CHM	708H20		Gr.1330	18CrMn4-1
1	15 128		13MnCrV6	TS33 P33, F33		14MnCrV6-3	14MnCrV6-3	14MnCrV6-3		1.7715	19HMF		20CHM	660-460		Gr.1330	13MnCrV6
2	15 130	30CrM6	25CrMn4	25CrMn4	25CD4	25CrMn4	SCM 430	25CrMn4			25 HM	24CrMn6 S	20CHM	2225		Gr.1330	25CrMn4
3	15 131	30CrM6	34CrMn4KD		25CD4	30CrMn4	SCM 420	30CrMn4		1.7220	26HM		30CHM	708A25		Gr.1330	34CrMn4
1	15 142	42CrM6	41CrMn6	TYPE 3	42CD4	38CrMn4KB	SCM440	41CrMn6		1.7225	40HM	42CrMn6SP	38CHM	2244		Gr.1330	42CrMn6
1	15 217	09CrPCrNi-A	S355J0MP	Fe 355W-1A	E 38W-A3	S355J0MP	SPA-H	9CrNiCuP 324		1.8922	10 H		15CrH			Gr.1330	09CrPCrNi-A
1	15 221															Gr.1330	
1	15 223															Gr.1330	
2	15 230															Gr.1330	
3	15 231															Gr.1330	
2	15 236	25CrMnVA						27MnCrV4		1.7961			25CrHMF			Gr.1330	
2	15 240							24CrMnV55		1.7733			40CrFA			Gr.1330	
2	15 241							42CrV6								Gr.1330	
2	15 260	50CrVA	51CrV4	TYPE 13	51CrV4	50CrV4	SUP 10	50CrV4		1.8159	50HF		50CrFA	2230		Gr.1330	51CrV4

POROVNÁNÍ OBRÁBĚNÝCH MATERIÁLŮ - SKUPINA P  
POROVNANIE OBRABANÝCH MATERIÁLŮV - SKUPINA P

ISO 513	CZ	GB	EN	EU	ISO	AFNOR	UNI	JIS	DIN	D	PL	ONORM	GOST	SS	GB	USA	E
3	15 261	12CrMo	10CrMo9-10		P94, T534, F54	10CD9; 10	12CrMo910 24CrMoV55	SCM4	58CrV4 10CrMo9-10 24CrMoV55 17CrMoV10	18159 17380 17733 17766	10H2M 20CrNiWFL	10CrMo910KW 24CrMoV55	20CrNiWFL	2218	622 671-850	Gr-F22	12CrMo910
1	15 313																
3	15 320																
1	15 323																
2	15 330																
3	15 340	38CrMoAl															
3	15 341																
1	15 412																
1	15 423																
1	16 220																
1	16 222																
1	16 231																
3	16 240																
3	16 240																
1	16 320																
3	16 341																
3	16 342																
3	16 343																
3	16 420																
3	16 431																
3	16 440																
3	16 444																
3	16 532																
3	16 540																
3	16 640																
1	16 720																
1	19 065																
1	19 083																
2	19 103																
2	19 125																
2	19 132																
2	19 133																
2	19 152																
2	19 191																
2	19 192																
3	19 221																
4	19 255																
3	19 312																
3	19 313																
3	19 340																
2	19 356																
3	19 418																
3	19 419																
4	19 420																
3	19 421																
3	19 422																
2	19 423																
2	19 426																
3	19 434																
3	19 436																
4	19 437																
4	19 452																
3	19 487																
4	19 512																



	ČSN	GB	EN	ISO	AFNOR	UNI	JIS	DIN	W-nr	PL	ONORM	GOST	SS	BS	USA	E
4	19 520	35C/M67	35C/M67	35C/M67	40C/M68	35C/M68KU	SKD7	40C/M67		WLB						40C/M67
2	19 541	30C/M67-11	30C/M67-11	30C/M67-11	30C/M67-11	30C/M67-11	SKD6	X32C/M67	1 2365	WLV	W320	30C/M67		BH10	H10	30C/M67-11
3	19 552	40C/M67-1	X37C/M67-1	X37C/M67-1	Z38C/DV5	X37C/M67-1KU	SKD6	X38C/M67-1	1 2343	WCL	W300	40C/M67		BH11	H11	X37C/M67-1
3	19 553	40C/M67-1	X37C/M67-1	X37C/M67-1	Z38C/DV5	X37C/M67-1KU	SKD6	X38C/M67-1	1 2343	WCL	W300	40C/M67		BH11	H11	X37C/M67-1
3	19 554	40C/M67-1	X40C/M67-1	40C/M67-1	X40C/M67-1	X40C/M67-1KU	SKF61	X40C/M67-1	1 2344	WCLV	W302	40C/M67	2214	BH 13	H13	X37C/M67-1
3	19 561														H42	
3	19 571	C5/M67	X100C/M67-1	X100C/M67-1	Z100C/DV5	X100C/M67-1KU	SKD12	X100C/M67-1		NCLV	K 305	90C/M67	2280	BA 2	A 2	F5227
3	19 572	X160C/M67-12	X160C/M67-12	X160C/M67-12	Z160C/DV12	C165C/M67-12KU	SKD 11	X165C/M67-12			k 105	CH12 MF	2310	D 2	D 2	F5211
4	19 581														A7	
3	19 614		40NC/M67-16	40NC/M67-16		40NC/M67-16 KU		55NC-10	1 2718		K 605		2550	BP 30		F5224
3	19 642		40NC/M67-16	40NC/M67-16		40NC/M67-16 KU		35NIM67			W 502					35NIM67-16
3	19 655		40NC/M67-16	40NC/M67-16		40NC/M67-16 KU		X45NIM67-12	1 2767		K 600					
3	19 662	55NC/M67	55NC/M67	55NC/M67	55NC/DV7	44NC/M67-17 KU	SKT 4	55NC/M67	1 2711	WNL	W 502	50NIM		BH 2245	L 6	F 520 S
3	19 663	55NC/M67	55NC/M67	55NC/M67	55NC/DV7	55NC/M67-17 KU	SKT4	55NC/M67	1 2714	WNLV	W501	50C/NV		BH2245	L 6	55NC/M67
4	19 675							28NC/M67-10	1 2740							
4	19 680							X55NC/M67-13-13								
3	19 710	W				110W4 KU	SKS 7M	120 W 4	1 2414	NW 1	K 405			F 1		F5228
3	19 711						SKS 2	120 WV 4	1 2516			CHV 1		BF 1		F520C
3	19 712							110WCV5				CHV6				
3	19 714						SKS 11	X 130M5			K 400	CHV 4F			F 2	
2	19 720	30WCV 5 3	X30WCV 5 3	30WCV 5 3	X32WCV 5	X30WCV 5 3 KU	SKD 4	30WCV 5 3			W 105					
3	19 721	30WCV 83	X30WCV 83	X30WCV 83	Z30WCV 9	X30WCV 83 KU	SKD5	X30WCV 83	1 2581	WWW	W100	30C12V6F		BH 21	H21	X30WCV 83
3	19 723							45WCV 8 KU	1 2542		W-103			BH 21A		
3	19 732	45WCV 8	45WCV 8	45WCV 8	45WCV 20	45WCV 8 KU		45WCV 7			W 100	50C1V2SF	2710	BS1	S1	45 WCV 8
3	19 733	60WCV 8	60WCV 8	60WCV 8	55WCV 20	55WCV 8 KU		60WCV 7			K 455	50C1V2S		BS 1	S 1	60WCV 8
3	19 740							30 WCV 151	1 2564		W 106					F527
3	19 802						SKH6	S 12-1-2	1 3318	SW12		R12F3				
4	19 810							S 12-1-4	1 3302	SW12		R9F5				
4	19 824	W18C/V	HS 18-0-1	HS 18-0-1	Z130WCV 13 4	Z80WCV 18-04-01	SKH1	S 12-1-4	1 3355	SW18	S 200	R18	2750	BT1	T1	HS 18-0-1
4	19 830	W6M5C/V2	HS 6-5-2	HS 6-5-2	Z85WCV 06-05-04-02	HS 6-5-2	SKH1	HS 6-5-2	1 3343	SW7M	S600	R6M5	2722	BM2	M2	HS 6-5-2
4	19 852	W6M5C/V2C05	HS 6-5-2-5	HS 6-5-2-5	Z85WCV 06-05-04-02	HS 6-5-2-5	SKH5	HS 6-5-2-5	1 3243	SK5M	S700	R6M5K3	2723	BM35	M35	HS 6-5-2-5
4	19 855	W18C/V4C04	HS 18-1-1-5	HS 18-1-1-5	Z 80WCV 18-05-04-01	HS 18-1-1-5	SKH13	HS 18-1-1-5			S 305	R18K5F2		BT 4	T 4	F5530
4	19 856															
4	19 858	W12C/V5C05	HS 12-1-5-5	HS 12-1-5-5	HS 12-1-5-5	HS 12-1-5-5	SKH10	HS 12-1-4-5	1 3202	SK 5V	S 308	R19F4K5		BT 15	T 15	HS12-1-5-5
4	19 861		HS 10-4-3-10	HS 10-4-3-10	Z130WCV 13 4	HS 10-4-3-10	SKH17	HS 10-4-3-10	1 3207	SK10V	S700	R19F3K10M5-5	2736	BT42		HS 10-4-3-10
1	422630	C18D	20-40	20-40	20-40M	F6G400	SC37	G338	1 0416	LI400	GS38	15L1		AM1	GrN1	
1	422633						SC 360	F6G38-3	1 0416	LI 400	GS-38	15 L1L1	1306	AM 1	GrN 1	
1	422640						SC 46	F6G 45	1 0443	LI 400	GS-45	25 L	1305	161-430 A	N 1	
1	422643						SC450	GC20	1 0443	L20	GS45	20L		GrWCA	430A	
1	422650						SC480	F6G49-1	1 0551	LI500	GS52	30L		161G-400A	GrN-2	
2	422653															
2	422660	ZG 310-570		30-57	30M6M	F6G 570	SCC 3	GS-60	1 0553	LI 600	GS-60	45L2	1606	A 3	Gr-80-40	
2	422670						SCC5	GS-62	1 0554			55L		AW3	Gr-105-85	
2	422709						SCMn2	GS-20Mn5		L20G	35G			GrA	Gr-80-40	AM30Mn5
1	422712						SCW 480	GS-20Mn5		L20G	20 GL		2172	161-540 A	GrA	F8310
1	422713							GS-16Mn5						G17Mn5	WCC	G17Mn5
1	422714						SCA 1	GS-20Mn5	1 1133	L20G	GS-21Mn5	20GL		GrA	LCB	AM 22Mn5
3	422715	Z640Mn					SCMn3	GS-36Mn5	1 1167			35G2		GrA		36Mn5
3	422719											30C1VGSFL				
3	422724											35C1VGSFL				
3	422726															
1	422733															
1	422744						SCPH 21	GS-17C/M655		L18HM	GS-17C/M655	20CINFL		GrWc6	Gr9	AM-18C/M605-05
1	422745						SCPH23	GS-17C/M6511		L19HMF	GS-17C/M6511					

OBRÁBĚNÉ MATERIÁLY  
OBRÁBANÉ MATERIÁLYGEOMETRIE VBD  
GEOMETRIA VRDŘEZNÉ MATERIÁLY  
REZNÉ MATERIÁLYVOLBA ŘEZ. PODMÍNEK  
VOLBA REZ. PODMIENOKTECHNOLOG. MOŽNOSTI  
TECHNOLOG. MOŽNOSTIOPOTŘEBENÍ  
OPOTREBENIEDALŠÍ INFORMACE  
DALŠIE INFORMÁCIEPŘEVODNÍ TABULKA  
PREVODNÁ TABUJKA

Zahraniční ekvivalenty / Záhranické ekvivalenty

ČSN	CZ	GB	EN	ISO	AFNOR	UNI	JIS	DIN	W-nr	PN	ONORM	GOST	SS	BS	USA	E
422750					Z15GD 505-M	GX15CrMo5	SCP4.61					40 CHNL 20CrNiMo P8	SS	625	AISI/AE	AM-X18CrMo5
422771																
422892																
3	podskupina															
P																

	CZ	GB	EN	ISO	AFNOR	UNI	JIS	DIN	DIN	W-nr	PL	ONORM	GOST	S	GB	USA	E
podskupina																	
1	17 020	0C13	X6Cr13	TYPE 1	Z6Cr13	X6Cr13	SUS410S	X7Cr14	X7Cr14	1.4000	0H13	ONORM	08Cr13	2301	40S17	Type 403	X6Cr13
1	17 021	1Cr12	X10Cr13	Type3	Z12Cr13	X12Cr13	SUS 410	X10Cr13	X10Cr13	1.4006	1H13		12Cr13	2302	410S2	Type 410	X12Cr13
2	17 022	2Cr13	X20Cr13	TYPE 4	Z20Cr13	X20Cr13	SUS420J1	X20Cr13	X20Cr13	1.4021	2H13		12Cr13	2302	420S37	Type 420	X20Cr13
2	17 023	3Cr13	X30Cr13	TYPE 5	Z30Cr13	X30Cr13	SUS420J2	X30Cr13	X30Cr13	1.4028	3H13		30Cr13	2304-03	420S45	Type 420	2304-03
2	17 024	4Cr13	X39Cr13	TYPE 6	Z40Cr13	X40Cr13		X39Cr13	X39Cr13	1.4031	4H13		40Cr13		420S45	Type 420	X39Cr13
2	17 029									1.4034							
1	17 040	1Cr15	X6Cr17	TYPE 8	Z6Cr17	X6Cr17	SUS 430	X6Cr17	X6Cr17	1.4016	H17		12Cr17	2320	430S18	Type 430	X6Cr17
1	17 041	1Cr15	X6Cr17	TYPE 8	Z6Cr17	X6Cr17	SUS430	X6Cr17	X6Cr17	1.4016	H17		12Cr17	2320	430S15	Type 430	X6Cr17
2	17 042										H18		95Cr18		440 C		
1	17 102	10MnCr50	5CrMo16	TS 37	Z10Cr05-05	A16CrMo25.5 KG, KW	SFVAB 5 A,B	12CrMo19.5	12CrMo19.5	1.7362	H5M		15Cr15M	625	Type 501, 502		F240B
1	17 113		X10CrAlSi7		Z6CrA7	X7Al		X10CrAlSi7	X10CrAlSi7	1.4713			15Cr16SU				X10CrAl7
1	17 115	4Cr6S2	X45CrS8	TYPE 1	Z45CrS9	X45CrS9	SLJH 1	X45CrS9	X45CrS9	1.4718	H6S2		40Cr6S2		401S45	HNV.3	F3220
2	17 116			TS38		X12CrNiMo9-1	SFVAF9	X12CrNiMo9-1	X12CrNiMo9-1					2203	629-470	Gr.F9	
2	17 125	0Cr13Al	X10CrAl13	TYPE H8	Z13Cr13	X10CrAl13		X10CrAl13	X10CrAl13	1.4724	H13JS		10Cr13SU		TYPE 405		F3152
2	17 134			TS40	Z10CrD12	X20CrMn20TiKG,KW		X20CrMoV121S	X20CrMoV121S		23H11MNF			2317			
2	17 153	1Cr25Ti			Z10Cr24	X16Cr26	SUH46	X6CrTi25	X6CrTi25				15Cr25T	2322	446		
3	17 240	0Cr18Ni9	X5CrNi18-10	Type11	X5CrNi18-10	X5CrNi18-10	SUSS04	X5CrNi18-10	X5CrNi18-10	1.4301	0H18N9		08Cr18Ni10	2333-02	TYPE 304		X5CrNi1810
3	17 241					X10CrNi18-09	SUS 302	X12CrNi18.8	X12CrNi18.8	1.4300	1H18N9				304S31		
3	17 242				Z10CrNi18-09	X15CrNi18-09		X12CrNi18.8	X12CrNi18.8		1H18N9		17Cr18N9	2337-02	Gr.302		
3	17 246	1Cr18Ni9Ti	X10CrNiTi18-10	TYPE 15	Z6CrNi18-10	X6CrNiTi1811	SUS321	X12CrNiTi18.9	X12CrNiTi18.9	1.4878	1H18Ni9T		08Cr18Ni10T	2337-02	321S12		X6CrNiTi1810
3	17 247	0Cr18Ni10Ti	X6CrNiTi18-10	TYPE 15	Z6CrNi18-10	X6CrNiTi18.11	SUS 321	X6CrNiTi18.10	X6CrNiTi18.10	1.4541	1H18Ni9T		08Cr18Ni10T	2337	321S31		F3523
3	17 248			TYPE 15	Z6CrNi18-10	X6CrNiTi1811	SUS321	X6CrNiTi1810	X6CrNiTi1810	1.4541	0H18Ni9T		08Cr18Ni10T	2337	321S31		X6CrNiTi18-10
3	17 249	0Cr19Ni10	X2CrNi18-10	TYPE 15	Z3CrNi18-11	X2CrNi18.11	SUS 304	X2CrNi18.11	X2CrNi18.11	1.4306	0H18Ni9T		08Cr18Ni11	2352	304S11		X2CrNi18.10
3	17 251	1Cr20Ni14Si2	X15CrNiSi20.12	TYPE H13	Z17CrNi20.12	X16CrNi23.14	SUH 309	X15CrNiSi20.12	X15CrNiSi20.12	1.4828	H20Ni12S2		20Cr20Ni14Si2		TYPE 309		F3312
4	17 253	1Cr18Ni95	X12NiCrSi95-16	H17	Z12NiCrSi7.18		SUH330	X12NiCrSi95-16	X12NiCrSi95-16		H18Ni9S2				308S24		X12CrNiSi96-16
4	17 254														330		
3	17 255	1Cr25Ni20Si2	X6CrNi25-21	H16	Z8CrNi25-20	X6CrNi2520	SUS310S	X6CrNi25-21	X6CrNi25-21	1.4845	H25Ni20S2			2361	310S31	310S	X15CrNiSi25-20
3	17 322														31S42	E-9	
3	17 335																
3	17 341			TS 63	Z6CrNi17-13B	X5CrNiMo1712	SUS 316	X6CrNiMo1713	X6CrNiMo1713	1.4919					316S51	TP316H	X5CrNiMo17122
3	17 346	0Cr17Ni12Mo2	X5CrNiMo17.12.2	TYPE 20	Z 6CrNi 17.11	X 5CrNiMo 17.12	SUS 316	X 5CrNiMo 17.12.2	X 5CrNiMo 17.12.2	1.4401				2347	316S31	TYPE 316	X 5CrNiMo 17.12.2
3	17 347																
3	17 348	0Cr18Ni12Mo2Ti	X6CrNiMoTi17-12-2	21	Z6CrNi17-12	X6CrNiMoTi17-12	SUS316Ti	X6CrNiMoTi17-12-2	X6CrNiMoTi17-12-2		H17Ni13M2T		10Cr17Ni13M2T	2350-02	321S12	316Ti	X6CrNiMoTi17122
3	17 349	0Cr17Ni14Mo2	X2CrNiMo17-12-2	TYPE 19	Z3CrNi18-12-02	X2CrNiMo17.12	SUS 316	X2CrNiMo17.13.2	X2CrNiMo17.13.2	1.4404	0H17Ni14M2		03Cr17Ni14M2	2348	316S11	316 L	X2CrNiMo17.13.2
3	17 350	0Cr17Ni14Mo2	X2CrNiMo18-14-3	TYPE 19a	Z3CrNi17-12-03	X2CrNiMo1713	SUS 316L	X2CrNiMo18-14-3	X2CrNiMo18-14-3	1.4435			03Cr17Ni14M2	2353	316S14	TP316L	X2CrNiMo18143
4	17 351			TYPE 7											TYPE 635		
4	17 351.9			TYPE 7											TYPE 635		
3	17 352	0Cr17Ni12Mo2	X3CrNiMo17-13-3	TYPE 20a	Z7CrNi18-12-3	X3CrNiMo17.13	SUS 316	X5CrNiMo17.13.3	X5CrNiMo17.13.3	1.4436	H17Ni13M2T		X5CrNiMo17.13.3 KW	2343	316S31	316	X5CrNiMo17.13.3
3	17 356	1Cr18Ni12Mo3Ti				X6CrNiMoTi17-13	316Ti	X10CrNiMoTi18-12	X10CrNiMoTi18-12				08Cr17Ni13M2T		320S33	316Ti	
3	17 436							X40MnCr18	X40MnCr18	1.3917							
3	17 460									1.3965	H17Ni4G9		12Cr17G9AN4		Gr.202		
4	17 465	5Cr11Ni9AlN4N	X 53 CrMnNi21.9	TYPE 9	Z 52 CrNi 21.09	X 53 CrMnNi21.9	SUH 35	X 53 CrMnNi21.9	X 53 CrMnNi21.9	1.4871	50 H21G9M4		55Cr20G9AN4	348S54	348S54	EY 12	F3217
3	17 536							Ni 36	Ni 36	1.3912	F6N8P8		38N		NILO 36	NILO 36	
4	17 618.4				Z120M12	X120Mn12		X120Mn12	X120Mn12	1.3401			110G13L	2183			
1	422904	ZG1Cr13	ZG1Cr13	Z6CrNi12-1M	GX12Cr13	GX12Cr13	SCS1	GX6CrNi13	GX6CrNi13	1.4008	LOH13		10Cr12NPL	410C21	410C21	Gr.CA-15	F8401
1	422905	ZG1Cr13	ZG1Cr13	Z6CrNi12-1M	GX12Cr13	GX12Cr13	SCS 1	G-X12Cr13	G-X12Cr13		LOH 13		15 Cr13L	410C21	410C21	Gr.CA-15	F8401
2	422906	ZG2Cr13	ZG2Cr13	Z90Cr13-M	GX90Cr13	GX90Cr13	SCS2	G-X20Cr14	G-X20Cr14	1.4027	LH 14		20Cr13.1	420C24	420C24	Gr.CA-40	F6387
2	422911	ZG1Cr17	ZG1Cr17	Z90CrNi7.2	GX35Cr17	GX35Cr17		G-X22CrNi17	G-X22CrNi17					ANC 2	ANC 2	Gr.C580	
2	422912							G-X40CrSi7	G-X40CrSi7								
2	422913	ZG028 M	ZG028 M	Z40Cr28 M			SCH 2	G-X40CrSi23	G-X40CrSi23		LH 26					Gr.HC	
2	422914	ZG028 B	ZG028 B	Z40Cr28 M			SCH 2	G-X70CrG9	G-X70CrG9		LH 26					Gr.HC	
2	422916							G-X22CrMoV12-1	G-X22CrMoV12-1	1.4922						Gr.CA28MNV	



	CZ	GB	EN	ISO	AFNOR	UNI	JIS	DIN	D	W-nr	PL	ONORM	GOST	S	GB	USA	E		
4	423001	Cu-ETP	Cu-ETP	Cu-ETP	Cu-a1	Cu9	C1100	E2-Cu58			Cu999E	Cu-E	Cu99.9	5010	C101	C110000	C110000		
4	423001	Cu-ETP	Cu-ETP	Cu-ETP	Cu-a1	Cu9	C1100	E2-Cu58			Cu999E	Cu-E	Cu99.9	5010	C101	C110000	C110000		
4	423001	Cu-ETP	Cu-ETP	Cu-ETP	Cu-a1	Cu9	C1100	E2-Cu58			Cu999E	Cu-E	Cu99.9	5010	C101	C110000	C110000		
4	423001	Cu-ETP	Cu-ETP	Cu-ETP	Cu-a1	Cu9	C1100	E2-Cu58			Cu999E	Cu-E	Cu99.9	5010	C101	C110000	C110000		
4	423001	Cu-ETP	Cu-ETP	Cu-ETP	Cu-a1	Cu9	C1100	E2-Cu58			Cu999E	Cu-E	Cu99.9	5010	C101	C110000	C110000		
4	423001	Cu-ETP	Cu-ETP	Cu-ETP	Cu-a1	Cu9	C1100	E2-Cu58			Cu999E	Cu-E	Cu99.9	5010	C101	C110000	C110000		
4	423001	Cu-ETP	Cu-ETP	Cu-ETP	Cu-a1	Cu9	C1100	E2-Cu58			Cu999E	Cu-E	Cu99.9	5010	C101	C110000	C110000		
4	423004						C1821				Cu997G	Cu-C	M3						
4	423005							C-Cu			Cu 99.56		M2						
4	423016	CuSi6	CuSi6	CuSi6	CuSi6P	CuSi6	C5191	CuSi6			CuSi6	CuSi6	BiOF6.5-0.15	CuSi6	PB102	C51900	C51900		
4	423018	CuSi8	CuSi8	CuSi8	CuSi8P	P-CuSi8	C5212	CuSi8			CuSi8	CuSi8	BiOF-0.2	CuSi8	PB104	C52100	CuSi8P		
4	423042	CuAl5As	CuAl5As	CuAl5	CuAl5	P-CuAl5		CuAl5As			CuAl5As	CuAl5As	BiAs	CuAl5	C68900	CuAl5	CuAl5		
4	423044							CuAl9Mn2					BiAlMg-2	CuAl9Mn2				CuAl9Mn2	
4	423045							CuAlBF63					BiAZ9-4						
4	423046	CuAl10Fe3Mn2	CuAl10Fe3Mn2	CuAl10Fe3		CuAl10Fe3Mn2	C6301	CuAl10Fe3Mn2			CuAl10Fe3Mn2	CuAl10Fe3Mn2	BiZnM10.3-1.5	CuAl10Fe3Mn2	CA104	C63000	CuAl10Fe3Mn2	CuAl10Fe3Mn2	
4	423047	CuAl10Ni5Fe4	CuAl10Ni5Fe4	CuAl10Ni5Fe4		CuAl10Ni5Fe4		CuAl10Ni5Fe4			CuAl10Ni5Fe4	CuAl10Ni5Fe4	BiAZN10-4.4	CuAl10Ni5Fe4				CuAl10Ni5Fe4	
4	423048																		
4	423053	CuS3Mn1	CuS3Mn1	CuS3Mn1		P-CuS3Mn1		CuS3Mn1			CuS3Mn1	CuS3Mn1	BiMn3-1	CuS3Mn1	CS101	C65500	CuS3Mn1	CuS3Mn1	
3	423058							CuZn1			CuZn1		BiKd1	CuZn1	C108	C16200			
3	423064							CuNi30Mn											
4	423065	CuNi44Mn1	CuNi44Mn1	CuNi44Mn1		P-CuNi44Mn1		CuNi44Mn1			CuNi44Mn1	CuNi44Mn1	MNiM6.43-0.5					CuNi44Mn1	
3	423115							CuSi5											
3	423119	CuSn10-C	CuSn10-C	CuSn10	CuSi8	G-CuSn10		G-CuSn10			CuSn10	CuSn10		CuSn10	CT1	C97700	CuSn10	CuSn10	
4	423120	CuSn11P-C	CuSn11P-C	CuSn10P	CuSi8P	CuSn10P		CuSn10P			CuSn10P	CuSn10P	Br O10F1	CuSn10	PB1	C91700	CuSn12	CuSn12	
4	423120	CuSn11P-C	CuSn11P-C	CuSn10P	CuSi8P	CuSn10P		CuSn10P			CuSn10P	CuSn10P	Br O10F1	CuSn10	PB1	C91700	CuSn12	CuSn12	
3	423121							G-CuP55Sn											
3	423122	CuPb10Sn10-C	CuPb10Sn10-C	CuPb10Sn10	CuSn12	G-CuPb10Sn10		G-CuPb10Sn10			CuPb10Sn10	CuPb10Sn10	BiO10S10	CuPb10Sn10	LB2	C93700	CuPb10Sn10	CuPb10Sn10	
4	423123	CuSn12-C	CuSn12-C	CuSn12	CuSn12	G-CuSn12		G-CuSn12			CuSn12	CuSn12		CuSn12	PB2	C91700	CuSn12	CuSn12	
4	423123	CuSn12-C	CuSn12-C	CuSn12	CuSn12	G-CuSn12		G-CuSn12			CuSn12	CuSn12		CuSn12	PB2	C91700	CuSn12	CuSn12	
4	423123	CuSn12-C	CuSn12-C	CuSn12	CuSn12	G-CuSn12		G-CuSn12			CuSn12	CuSn12		CuSn12	PB2	C91700	CuSn12	CuSn12	
3	423135	CuSi6Zn5Pb5-C	CuSi6Zn5Pb5-C	CuPb5Si5Zn5	CuSi6P5Zn5	G-CuSi6Zn5Pb5	BC6	G-CuSi6Zn5Pb5			CuSi6Zn5Pb5	CuSi6Zn5Pb5	BiOC6S55	CuSi6P5Zn5	LG2	C83600	CuSi6Zn5Pb5	CuSi6Zn5Pb5	
3	423135	CuSi6Zn5Pb5-C	CuSi6Zn5Pb5-C	CuPb5Si5Zn5	CuSi6P5Zn5	G-CuSi6Zn5Pb5	BC6	G-CuSi6Zn5Pb5			CuSi6Zn5Pb5	CuSi6Zn5Pb5	BiOC6S55	CuSi6P5Zn5	LG2	C83600	CuSi6Zn5Pb5	CuSi6Zn5Pb5	
3	423135	CuSi6Zn5Pb5-C	CuSi6Zn5Pb5-C	CuPb5Si5Zn5	CuSi6P5Zn5	G-CuSi6Zn5Pb5	BC6	G-CuSi6Zn5Pb5			CuSi6Zn5Pb5	CuSi6Zn5Pb5	BiOC6S55	CuSi6P5Zn5	LG2	C83600	CuSi6Zn5Pb5	CuSi6Zn5Pb5	
3	423138	CuSn10Zn2	CuSn10Zn2	CuSn10Zn2	CuSi6P5Zn5	G-CuSn10Zn2	BC3	G-CuSn10Zn2			CuSn10Zn2	CuSn10Zn2	BiO10C2	CuSn10Zn2	B1	C90500	CuSn10Zn2	CuSn10Zn2	
3	423138	CuSn10Zn2	CuSn10Zn2	CuSn10Zn2	CuSi6P5Zn5	G-CuSn10Zn2	BC3	G-CuSn10Zn2			CuSn10Zn2	CuSn10Zn2	BiO10C2	CuSn10Zn2	B1	C90500	CuSn10Zn2	CuSn10Zn2	
4	423144																		
4	423144																		
4	423145	CuAl10Fe3-C	CuAl10Fe3-C	CuAl10Fe3	CuAl10Fe3	G-CuAl10Fe3	AiBC1	G-CuAl10Fe3			CuAl10Fe3	CuAl10Fe3	BiAZN2L	CuAl10Fe3	AB1	C95200	CuAl10Fe3	CuAl10Fe3	
4	423145	CuAl10Fe3-C	CuAl10Fe3-C	CuAl10Fe3	CuAl10Fe3	G-CuAl10Fe3	AiBC1	G-CuAl10Fe3			CuAl10Fe3	CuAl10Fe3	BiAZN2L	CuAl10Fe3	AB1	C95200	CuAl10Fe3	CuAl10Fe3	
4	423146																		
4	423146																		
4	423147	CuAl10Fe5Ni5-C	CuAl10Fe5Ni5-C	CuAl10Fe5Ni5	CuAl10Fe5Ni5	G-CuAl10Ni	AiBC3	G-CuAl10Ni			CuAl10Fe5Ni5	CuAl10Fe5Ni5	BiAZN3M2	CuAl10Fe5Ni5	AB2	C95500	CuAl10Fe5Ni5	CuAl10Fe5Ni5	
4	423147	CuAl10Fe5Ni5-C	CuAl10Fe5Ni5-C	CuAl10Fe5Ni5	CuAl10Fe5Ni5	G-CuAl10Ni	AiBC3	G-CuAl10Ni			CuAl10Fe5Ni5	CuAl10Fe5Ni5	BiAZN3M2	CuAl10Fe5Ni5	AB2	C95500	CuAl10Fe5Ni5	CuAl10Fe5Ni5	
3	423183																		
3	423184																		
3	423200	CuZn5	CuZn5	CuZn5	CuZn5	G-CuPb30	KJ3	CuPb30			CuZn5	CuZn5	BiS30	CuZn5	CZ125	Cu-5Zn	CuZn5	CuZn5	
3	423201	CuZn10	CuZn10	CuZn10	CuZn10	G-CuZn10	C21000	CuZn10			CuZn10	CuZn10	L96	CuZn10	CZ125	Cu-5Zn	CuZn5	CuZn5	
3	423202	CuZn15	CuZn15	CuZn15	CuZn15	P-CuZn15	C2200	CuZn15			CuZn15	CuZn15	L90	CuZn15	CZ101	C22000	CuZn10	CuZn10	
3	423203	CuZn20	CuZn20	CuZn20	CuZn20	P-CuZn20	C2300	CuZn15			CuZn15	CuZn15	L85	CuZn15	CZ102	C23000	CuZn15	CuZn15	
3	423203	CuZn20	CuZn20	CuZn20	CuZn20	P-CuZn20	C2400	CuZn20			CuZn20	CuZn20	L80	CuZn20	CZ103	C24000	CuZn20	CuZn20	
3	423210	CuZn30	CuZn30	CuZn30	CuZn30	P-CuZn30	C2600	CuZn30			CuZn30	CuZn30	L70	CuZn30	CZ106	C26000	CuZn30	CuZn30	
4	423212	CuZn33	CuZn33	CuZn33	CuZn33	P-CuZn33	C2680	CuZn33			CuZn33	CuZn33	L68	CuZn33	CZ108	C27400	CuZn33	CuZn33	
3	423213	CuZn37	CuZn37	CuZn37	CuZn37	P-CuZn37	C2720	CuZn37			CuZn37	CuZn37	L63	CuZn37	CZ108	C27400	CuZn37	CuZn37	



ISO 513

podskupina		CZ	GB	EN	ISO	F	UNI	J	D	D	W-nr	PL	A	RUS	S	GB	USA	E	
		ČSN	BS	EN	ISO	AFNOR	UNI	JIS	DIN	DIN	W-nr	PN	ONORM	GOST	SS	BS	USA	USA	
4	4	423214	CuZn38Pb1	CuZn38Pb1	CuZn38Pb2	CuZn38Pb2	P-CuZn38Pb2	C3501	CuZn38Pb1,5	CuZn38Pb1,5	CuZn38Pb1,5	CuZn38Pb1,5	CuZn38Pb1,5	LS93-2	CZ 118	C34000	CuZn38Pb2		
4	4	423220	CuZn40	CuZn40	CuZn40	P-CuZn40	P-CuZn40	C2801	CuZn40	CuZn40	CuZn40	CuZn40	CuZn40	L60	CZ 109	C98000	CuZn40		
4	4	423221	CuZn37Pb1	CuZn37Pb1	CuZn39Pb0,8	P-CuZn39Pb0,8	P-CuZn39Pb0,8	C3501	CuZn39Pb0,5	CuZn39Pb0,5	CuZn39Pb0,5	CuZn39Pb0,5	CuZn39Pb0,5	LS90-1	CZ 123	C36500	CuZn40Pb		
4	4	423222	CuZn38Pb1	CuZn38Pb1	CuZn38Pb2	CuZn38Pb2	P-CuZn40Pb2	C3710	CuZn38Pb1,5	CuZn38Pb1,5	CuZn38Pb1,5	CuZn38Pb1,5	CuZn38Pb1,5	LS 59-1	CZ 129	C37000	CuZn38Pb1		
4	4	423223	CuZn38Pb2	CuZn38Pb2	CuZn38Pb2	P-CuZn40Pb2	C3711	C3711	CuZn40Pb2	CuZn40Pb2	CuZn40Pb2	CuZn40Pb2	CuZn40Pb2	LS 60-2	CZ 120	C37700	CuZn38Pb2		
4	4	423231	CuZn39AlFeMn	CuZn39AlFeMn	CuZn39AlFeMn1	CuZn39AlFeMn1	CuZn39AlFeMn1	C6782	CuZn40Al1	CuZn40Al1	CuZn40Al1	CuZn37Al	CuZn37Al	Lmc58-2	CZ 136		CuZn39AlFeMn		
4	4	423234	CuZn40Mn2Fe1	CuZn40Mn2Fe1	CuZn38Sn1	CuZn38Sn1	P-CuZn38Sn1	C4640	CuZn38Sn1	CuZn38Sn1	CuZn38Sn1	CuZn38Sn1	CuZn38Sn1	LO60-1	CZ 112	C46400	CuZn38Sn1		
4	4	423256	CuNi15Zr21	CuNi15Zr21	CuNi15Zr22	CuNi15Zr22	CuNi15Zr21	SzBc2	CuNi15Zr21	CuNi15Zr21	CuNi15Zr21	CuNi15Zr21	CuNi15Zr21	MNC15-20	NS105		CuNi15Zr21		
4	4	423303	CuZn16S4C	CuZn16S4C	CuZn19Ag Y20	CuZn19Ag Y20	HbSc4	HbSc4	G-CuZn25Al5	G-CuZn25Al5	G-CuZn25Al5	G-CuZn25Al5	G-CuZn25Al5	LC15K4		C87500			
4	4	423311	CuZn25Al5MnFe3-C	CuZn25Al5MnFe3-C	CuZn25Al5MnFe3-C	CuZn25Al5MnFe3-C	HbSc4	HbSc4	G-CuZn25Al5	G-CuZn25Al5	G-CuZn25Al5	G-CuZn25Al5	G-CuZn25Al5	LC29A23Mc		C86200	CuZn25AlFeMn3		
3	3	423319	CuZn33Pb2-C	CuZn33Pb2-C	CuZn33Pb2	CuZn33Pb2	G-CuZn33Pb2	YbSc2	G-CuZn33Pb	G-CuZn33Pb	G-CuZn33Pb	G-CuZn33Pb	G-CuZn33Pb				CuZn33Pb		
4	4	423320					G-CuZn40												
4	4	423321	CuZn37AlH-C	CuZn37AlH-C	CuZn40 Y40	CuZn40 Y40	YbSc3	YbSc3	G-CuZn37AlH	G-CuZn37AlH	G-CuZn37AlH	G-CuZn37AlH	G-CuZn37AlH	LC40S		C86500			
1	4	423322	CuZn32Al2Mn2Fe1-C	CuZn32Al2Mn2Fe1-C	CuZn30AlFeMn	CuZn30AlFeMn	HbSc1	HbSc1	G-CuZn34Al2	G-CuZn34Al2	G-CuZn34Al2	CuZn38Al2Mn1Fe	CuZn38Al2Mn1Fe			C86400	CuZn35AlFeMn		
1	4	424002	AW-A99.8 (A)	AW-A99.8 (A)	A99.8 (A)	A99.8 (A)	1080A	1080A	A99.8	A99.8	A99.8	A99.8	A99.8	AD000	1080A		A99.8 (A)		
1	1	424003	AW-A99.7	AW-A99.7	A99.7	A99.7	1070A	1070	A99.7	A99.7	A99.7	A99.7	A99.7	AD00	A99.7		A99.7		
1	1	424004	AW-EA99.5	AW-EA99.5	E-A99.5	E-A99.5			E-AI	E-AI	E-AI	E-AI	E-AI	AD0E	EAI99.5	1350	A199.5E		
1	1	424005	AW-A99.5	AW-A99.5	A99.5	A99.5	1050A	1050A	A99.5	A99.5	A99.5	A99.5	A99.5	AD0	A99.5	A91060	A199.5		
2	2	424201	AW-ALCu4MgSi	AW-ALCu4MgSi	A1Cu4MgSi	A1Cu4MgSi	2017A	2017	A1Cu4MgSi	A1Cu4MgSi	A1Cu4MgSi	A1Cu4MgSi	A1Cu4MgSi	D1	A1Cu4Mg	A92017	AI-4CuMg		
2	2	424203	AlP2024	AlP2024	AlCu4Mg1	AlCu4Mg1	2024	2024	AlCu4Mg2	AlCu4Mg2	AlCu4Mg2	AlCu4Mg2	AlCu4Mg2	D16	2024	2024	Al-4Cu1Mg		
2	2	424206							AlCu25Mn	AlCu25Mn	AlCu25Mn	AlCu25Mn	AlCu25Mn	AK6	2618A	A92618	AI-2CuMgNi		
2	2	424218	AW-ALCu2Mg1.5Ni	AW-ALCu2Mg1.5Ni	ALZr6MgCu	ALZr6MgCu	7075	7075	ALZr6MgCu1.5	ALZr6MgCu1.5	ALZr6MgCu1.5	ALZr6MgCu	ALZr6MgCu	V85	7075	A97075	AI-6ZrMgCu		
2	2	424222	AlP7075	AlP7075	ALZr6MgCu	ALZr6MgCu	4032	4032	ALZr6MgCu	ALZr6MgCu	ALZr6MgCu	ALZr6MgCu	ALZr6MgCu			A94032	AI-7ZrNi		
2	2	424237	AW-A1Si12.2MgCuNi	AW-A1Si12.2MgCuNi	P-A1Si12MgCuNi	P-A1Si12MgCuNi	2024-F	2024-F	P-A1Si12MgCuNi	P-A1Si12MgCuNi	P-A1Si12MgCuNi	P-A1Si12MgCuNi	P-A1Si12MgCuNi	D16P		Al68Al9024			
2	2	424253	AW-ALCu4PbMg	AW-ALCu4PbMg	AlCu4PbMg	AlCu4PbMg			AlCu4Mg2Pb	AlCu4Mg2Pb	AlCu4Mg2Pb	AlCu4Mg2Pb	AlCu4Mg2Pb						
2	2	424315	AC-A1Si12(e)	AC-A1Si12(e)	Al-Cu4Ni2Mg2	Al-Cu4Ni2Mg2	ACSA	ACSA	G-A1Cu4NiMg	G-A1Cu4NiMg	G-A1Cu4NiMg	G-A1Cu4NiMg	G-A1Cu4NiMg	AL1	AI-Cu4NiMg2	A02420	AI-4Cu2NiMg		
2	2	424330	AC-A1Si10Mg (A)	AC-A1Si10Mg (A)	Al-S10G	Al-S10G	ADCC3	ADCC3	G-A1Si10Mg	G-A1Si10Mg	G-A1Si10Mg	G-A1Si10Mg	G-A1Si10Mg	AK12	AI-S12Cu	A04130	AI-1ZSi1Cu		
2	2	424332	AC-A1Si7Mg	AC-A1Si7Mg	Al-S7G	Al-S7G	ADCC3	ADCC3	G-A1Si7Mg	G-A1Si7Mg	G-A1Si7Mg	G-A1Si7Mg	G-A1Si7Mg	AK9	AI-S10Mg	A-0359.0			
2	2	424336	AC-A1Si12CuNiMg	AC-A1Si12CuNiMg	Al-S11UNG	Al-S11UNG	ACBA	ACBA	A-S11UNG	A-S11UNG	A-S11UNG	A-S11UNG	A-S11UNG	AK7	AI-S7MgFe	A03560	AI-7SiMg		
2	2	424357	Al-SiCu3	Al-SiCu3	A-S8U3G	A-S8U3G	AC2A	AC2A	G-A1Si5Cu	G-A1Si5Cu	G-A1Si5Cu	G-A1Si5Cu	G-A1Si5Cu	AK5M4	AI-S6Cu4	A03080	AI-6SiCu		
2	2	424380			A-UBS	A-UBS								AI 5		A02130	AI-7CuSi		
2	2	424386			A-S16UNG	A-S16UNG	ACBA	ACBA											
1	1	ONZ 424406	Al-P0682	Al-P0682	AlSi11MgMn	AlSi11MgMn	6061	6061	AlMgSi1	AlMgSi1	AlMgSi1	AlMgSi1	AlMgSi1	AD35	LM28	A96061	AI-1SiMgMn		
1	1	ON 424406	AW-A99.98Mg0.5	AW-A99.98Mg0.5	AlRMg0.5	AlRMg0.5			AlRMg0.5	AlRMg0.5	AlRMg0.5	AlRMg0.5	AlRMg0.5	AD35	6082				
1	1	424412	AW-AMg2	AW-AMg2	AlMg2	AlMg2.5	5052	5052	AlMg2.5	AlMg2.5	AlMg2.5	AlMg2.5	AlMg2.5	AlMg2	5251	A95052	AI-2.5Mg		
1	1	424413	AW-AMg3	AW-AMg3	AlMg3	AlMg3.5	5154	5154	AlMg3.5	AlMg3.5	AlMg3.5	AlMg3.5	AlMg3	AlMg3	5454	A95154	AI-3Mg		
1	1	424415	AW-AMg4	AW-AMg4	AlMg4.5Mn0.7	AlMg4.5Mn0.7	5183	5183	AlMg4.4	AlMg4.4	AlMg4.4	AlMg4.5Mn	AlMg4.5Mn	AlMg4.5Mn	5083	A95083	AI-5Mg		
1	1	ONZ 424432	AW-AMn1	AW-AMn1	AlMn1	AlMn1.2Cu	3003	3003	AlMn1	AlMn1	AlMn1	AlMn1	AlMn1	Arc	3103	A93003	AI-1Mn		
2	2	424518	AC-AMg5Si	AC-AMg5Si	AlMg5Si1	AlMg5Si1	A-G6	A-G6	G-AMg5Si	G-AMg5Si	G-AMg5Si	AMg5Si1	AMg5Si1	AMg5K	LM5				
2	2	424519			AlMg10	AlMg10	ADCC5	ADCC5	GD-AMg9	GD-AMg9	GD-AMg9	AMg10	AMg10	AMg10	LM10				
2	2	424519	AC-AMg9	AC-AMg9	AlMg10	AlMg10	ADCC5	ADCC5	GD-AMg9	GD-AMg9	GD-AMg9	AMg10	AMg10	AMg10	LM10				

N

POROVNÁNÍ OBRÁBĚNÝCH MATERIÁLŮ - SKUPINA N  
POROVNANIE OBRABANÝCH MATERIÁLOV - SKUPINA N

ČSN	EN	ISO	AFNOR	UNI	JIS	DIN	W-nr	PN	ONORM	GOST	S	GB	USA	E
ČS	EN	ISO	AFNOR	UNI	JIS	DIN	W-nr	PN	ONORM	GOST	S	GB	USA	E
2	Uranus 66		Z2NCD125-20			X1NiCrMoCu25-20-5	1.4539				2562		904 L UNS N0890A	
2	ZMCTV25-15BFF		EZ 6 NCTDV 25-15			X5NiCrTi 26-15	1.4980				2570		B 163	
2	Incoloy 800 HT		Z10NC32-21		SCH15	X10NiCrAlTi32-21	1.4876					330C11		
2	G-X40NiCrSi88-18			XG6NiCr29-19		G-X40NiCrSi88-18	1.487							
2	X5NiCrAlTi 31 20				SUH330	X5NiCrAlTi 31 20	1.496						N 08330	
2	X12NiCrSi 36 16			F-3313		X12NiCrSi 36 16	1.4864					NA 15	N 08800	
2	X2NiCrAlTi 32 20					X2NiCrAlTi 32 20	1.456						N 08831	
2	X1NiCrMoCu 32 28 7					X1NiCrMoCu 32 28 7	1.456						N 08828	
2	X1NiCrMoCuAl 31 27 4			Z1NiCrDU81-27-03		X1NiCrMoCuAl 31 27 4	1.4563				2584		AMS 5732-5737	
2	A 286					X 5 Ni CrTi 25 15								
2	X40CoNi20 20		Z42CoNiMoNb			X40CoNi20 20	1.498	NiCu30		NiMZn28-2,5-1,5				
3	Ni70Cu30	NiCu30	NiCu28Fe 1.5Mn			NiCu30Fe								
3	NiFe48					NiFe16CuCr								
3	NiFe48					NiFe47								
3	NiCr21Mo16Al												ALLOY 59	
3	NiCr21Mo16W												INCONEL alloy 686	
3	NiCrCo18Ti												NIMONIC alloy 90(HEV6)	
3	NiCo20Cr15MoAlTi												NIMONIC alloy 105	
3	NiMoCr15W												UNS N10276	
3	NiCr22Mo9Nb													
3	CoCr23Ni10W7Ta4													
3	Hastelloy C-4													
3	Hastelloy X													
3	Hastelloy B													
3	Hastelloy C & C 276													
3	Nimonic C-263													
3	Nimonic C-263													
3	Nimonic 90													
3	Nimonic PE 13													
3	Nimonic PE 13													
3	Nimonic 115													
3	Nimonic 263/C263													
3	Nimonic 105													
3	Nimonic PK33													
3	Nimonic 80A													
3	Nimonic 901													
3	Nimonic PK 25													
3	Nimonic PE 16													
3	Nimonic 75													
3	Nimonic 842													
3	Inconel 600													
3	Inconel 601													
3	Inconel 617													
3	Inconel 625													
3	Inconel 690													
3	Inconel 706													
3	Inconel 713													
3	Inconel 718													
3	Inconel 722													
3	Inconel X-750													
3	Inconel X-750													
3	Incoloy 825													
3	Incoloy 901													
3	Rene 41													
3	Rene 95													

ISO 513		Zahraniční ekvivalenty / Záhraniczne ekvivalenty																			
	ČSN	CZ	GB	EN	EU	ISO	AFNOR	UNI	JIS	DIN	D	D	W-nr	PN	ONORM	RUS	S	GB	USA	E	
3	Monel 400						NU30			NC138Fe			2.4360								
3	Monel K-500						NU 30 AT			NC143DAI			2.438					NA 18		4676	
3	Udimet 500						NCK19DAT			NC118Ccl18MoTi			2.4983							AMS 5751	
3	Udimet 710						NCK18TDA														
3	Udimet 718						NCK20AT			NC15C1McAlTi			2.4638								
3	Udimet 720						NC19FeN			NC119Fe19NiMo			LW2.4668							5383	
3	Waspaloy						NC20K14			NC119Fe19NiMo			LW2.4668								
4	Haynes 25						KC20WN					LW2.4984								AMS 5544	
4	Haynes 188						KC22VN													AMS 5759	
4	Air Resist 213						KC20WN			CoC20W15Ni										AMS 5772	
4	Jetalloy 209						KC22WN			CoC22W14Ni										5537C	
1	Ti 1 Pd											3.723								AMS 5772	
1	TiAl 3 V 2.5									Ti 1 Pd		3.720								R 52250	
1	TiAl 3 V 2.5									TiAl 3 V 2.5		3.720									
1	TiAl 6 V 4 ELI									TiAl 6 V 4 ELI										AMS R56401	
1	TiAl 5 Sn 2.5									TiAl 5 Sn 2.5		3.7115								AMS R54520	
1	TiAl 5 Sn 2						T-A5E			TiAl 5 Sn 2		3.712									
1	TiAl 6 Sn 2 Zr 4 Mo 2 Si									TiAl 6 Sn 2 Zr 4 Mo 2 Si		3.715								R 54620	
1	TiAl 6 V 4						T-A6V			TiAl 6 V 4		3.7165								AMS R56400	
1	TiAl 6 V 6 Sn 2									TiAl 6 V 6 Sn 2		3.718									
1	TiAl 4 Mo 4 Sn 2 Si 0.5						T-A4DE			TiAl 4 Mo 4 Sn 2 Si 0.5		3.719								TA 45-5/TA 57	

	ČSN	EN	ISO	AFNOR	UNI	JIS	DIN	DIN	W-nr	PN	ONORM	GOST	SS	BS	ASIS/AE	
4	12 010.4	2C10	C10	XG10	C10	SPCK	C10	C10	1.1121	10	RC12	08	1285	045A10	Gr. 1010,1011, M1010	C10k
4	12 020.4	C19E	C19E4	C19RR	C15	S15C	C15	C15	1.1141				1370-40	080M15	Gr.1016	C16k
4	12 023.4	C15E	C15E4	XG15	C15	S15C	C15	C15	1.1141	15	RC15	15		040A15	Gr.1015	
4	12 024.4	C22	C25	XG18	C21	S22C	C22	C22	1.0402	20		20	1450	070M20	1020	
4	12 071.4	1C967		C68	C67	S70C-CSP	Ck67	Ck67				65		080A67	Gr.1070	
4	14 100.4	100C6	Type 1-0	100C6	100C6	SUJ2	100C6	100C6		LH15			2258	534A99	52100	F1311
4	14 109.4	100C6	Type 1-0	100C6	100C6	SUJ2	100C6	100C6	1.3505	LH15			2258	535 A99	52100	100C6
4	14 120.4	15C2	37C4	12C8	15C2	SCR415	15C3	15C3	1.7015	15H				523M15	5015	
4	14 209.4	100CM6	TYPE 3	100CM6	SUJ3	SUJ3	100CM6	100CM6	1.3520	LH15SG				535A99	Gr.2	100CM6
4	14 220.4	16MnC6	TYPE 5	16MnC6	16MnC6	SMAc 420 H	16MnC6	16MnC6	1.7131	15HG			2127	527M17	No.5115	16MnC6
4	14 221.4	20MnC6	TYPE 7	20MnC6	20MnC6		20MnC6	20MnC6	1.7147	18HGt				18CHG	5120	F150D
4	14 223.4									18HGt						
4	14 231.4									30CHGT						
4	14 280	60S2CA		54S2C6	48S7	SUJ7	54S2C6	54S2C6	1.7102	60S2			2090	250A61	9260	
4	15 340.4	38CM6Al		40CAD 6.12	41CAM67	SACM 645	41CAM67	41CAM67	1.8509	38HMJ				905M99	C. A	41CAM67
4	16 220.4	15NC6		16NC6	16CNA4		15CN6	15CN6	1.5713	15HN			2512	815M17	Gr.4320	16NC14
4	16 231.4			20NC6	20CNA4		19CN6	19CN6						822M17	3120	
4	16 420.4			13NC14	SNC815		14NC14	14NC14	1.5752					655H13	E8310X	
4	16 720.4									30HGSNA						
4	17 023.4	X30C13	Type 5	Z30C13	X30C13	SUS420L2	X30C13	X30C13	1.4028	18C2N4MA						2304-03
3	17 024.4	X39C13	Type 6	Z40C13	X40C14		X39C13	X39C13	1.4031	3H13			2304-03	420S45	Type 420	X39C13
3	17 029.4								1.4034	4H13				X39C13	Type 420	X39C13
4	19 083.4			Y342			C45W3	C45W3	1.1730	H18				95CH18	440 C	F5131
4	19 103.4			Y355			C60W3	C60W3	1.1740							
4	19 103.4			Y365			C67W	C67W	1.1744							
4	19 125.9															
4	19 132.4	T7	C70 U	C70 EU	C70 KU	SK6	C70 W2	C70 W2		N7				U7-1	W1-7	F5103
4	19 133.4	T7	C70U	C70U	C70KU	SK6	C70W	C70W		N7				U7	C70U	C80U
4	19 152.4	T8	C80U	Y180	C80KU	SK5	C80W2	C80W2	1.1620	N8				U8-1	W1Gr.A	C80U
4	19 191.4	T10A	CT105	C105EU	C100KU	SK3	C105W1	C105W1	1.1625	N8				U8-1	W5	C102U
4	19 192.4	T10	CT 105	C 105 EU	C 100 KU	SK3	C 105 W2	C 105 W2	1.1645	N10E			1880	BW1B	W 110	F5117
4	19 221.4	T11	CT20U	Y2120	C120KU	SK2	C110W2	C110W2	1.1654	N12				BW1C	W 112	F5123
4	19 255.4		CT 120	C120 ESU	C120 KU	SK2	C125 W	C125 W	1.1663	N12				W 112	C120 U	C120 V
4	19 312.4	90MnV8	90MnCV8	90MnV8	90MnV8	90MnV8	90MnCV8	90MnCV8	1.2842	N12				B02	02	90MnCV8
4	19 313.4	90MnV8	90MnCV8	90MnV8	90MnV8	90MnV8	90MnCV8	90MnCV8	1.2842	N12				B02	02	90MnCV8
4	19 340.4	60SMn7	60SMn7	60S18	65SMn7 KU	70S17				N12			No 22	BO 2	02	90MnCV8
4	19 356.4	100V2	TCV 105	C 105 E2 U1V1	102 V2 KU	SKS 43	100 V1	100 V1	1.2833	NV				BW 2	W 210	100 V2
4	19 418.4						80CV5	80CV5		NCV1				80CV2		80CV2
4	19 419.4						80CV2	80CV2		NCV1				80CV2		80CV2
4	19 420.4	C106		Y2 140 C		SKS 8	140C2	140C2	1.2008	NC 5				K 205		140C2
4	19 421.4		107CV3		107CV3KU		115CV3	115CV3	1.2210	NC 5				K510	L2	120CV2
4	19 422.4						145C6	145C6		NC 6				K 505		
4	19 423.4						90C3	90C3	1.2056	NC 6				K 505		
4	19 426.4						85C7	85C7		K 201				90CH	L 2	
4	19 434.4	X21C13	X21C13	X20C13	X21C13KU	SKC 11	X20C13	X20C13	1.2082	4H13				40CH13		X20C13 F5661
3	19 435.4	X41C13	X40C14	X40C14	X41C13KU	SUS 420 J2	X42C13	X42C13	1.2082	4H13			2314	420S45		F5263
4	19 436.4	X210C12	C210C12	Z200C12	X205C12KU	SKD1	X210C12	X210C12	1.2080	NC11				B03	D3	X210C12
4	19 437.4	X210CW 12-1	X210CW12	2150CW 12-1 KU	X210CW12	SKD1	X210CW12	X210CW12	1.2103	NC11			2313	B03	D3	2313
4	19 452.4			Y60SC7			585C68	585C68	1.2103	K244						
4	19 487.4			100CD7	100CM67	SUJ4	21MnC6	21MnC6	1.2162						L7	F520F
4	19 501	100CM67		100CD7	100CM67	SUJ4	100CM67	100CM67	1.2303						L7	F520F
4	19 501.4	100CM67		100CD7	100CM67	SUJ4	100CM67	100CM67	1.2303						L7	F520F
3	19 512.4			45CDV6	36CM68 KU		48CM6V 6 7	48CM6V 6 7								



Mez pevnosti Medza pevnosti [MPa]	Tvrdost / Tvrdosť			
	BRINELL	VICKERS	ROCKWELL	ROCKWELL
<b>R<sub>m</sub></b>	<b>HB</b>	<b>HV</b>	<b>HRB</b>	<b>HRC</b>
285	86	90	1190	-
320	95	100	56,2	-
350	105	110	62,3	-
385	114	120	66,7	-
415	124	130	71,2	-
450	133	140	75,0	-
480	143	150	78,7	-
510	152	160	81,7	-
545	162	170	85,8	-
575	171	180	87,1	-
610	181	190	89,5	-
640	190	200	91,5	-
675	199	210	93,5	-
705	209	220	95	-
740	219	230	96,7	-
770	228	240	98,1	-
800	238	250	99,5	-
820	242	255	-	23,1
850	252	265	-	24,8
880	261	275	-	26,4
900	266	280	-	27,1
930	276	290	-	28,5
950	280	295	-	29,2
995	295	310	-	31,0
1030	304	320	-	32,2
1060	314	330	-	33,3
1095	323	340	-	34,4
1125	333	350	-	35,5
1155	342	360	-	36,6

Mez pevnosti Medza pevnosti [MPa]	Tvrdost / Tvrdosť			
	BRINELL	VICKERS	ROCKWELL	ROCKWELL
<b>R<sub>m</sub></b>	<b>HB</b>	<b>HV</b>	<b>HRB</b>	<b>HRC</b>
1190	352	370	-	37,7
1220	361	380	-	38,8
1255	371	390	-	39,8
1290	380	400	-	40,8
1320	390	410	-	41,8
1350	399	420	-	42,7
1385	409	430	-	43,6
1420	418	440	-	44,5
1455	428	450	-	45,3
1485	437	460	-	46,1
1520	447	470	-	46,9
1555	456	480	-	47,7
1595	466	490	-	48,4
1630	475	500	-	49,1
1665	485	510	-	49,8
1700	494	520	-	50,5
1740	504	530	-	51,1
1775	513	540	-	51,7
1810	523	550	-	52,3
1845	532	560	-	53,0
1880	542	570	-	53,6
1920	551	580	-	54,1
1955	561	590	-	54,7
1995	570	600	-	55,2
2030	580	610	-	55,7
2070	589	620	-	56,3
2105	599	630	-	56,8
2145	608	640	-	57,3
2180	618	650	-	57,8

OBRÁBĚNÉ MATERIÁLY  
OBRÁBĚNÉ MATERIÁLYGEOMETRIE VBD  
GEOMETRIA VRDŘEZNÉ MATERIÁLY  
ŘEZNÉ MATERIÁLYVOLBA ŘEZ. PODMÍNEK  
VOLBA ŘEZ. PODMÍNEKTECHNOLOG. MOŽNOSTI  
TECHNOLOG. MOŽNOSTIOPOTŘEBENÍ  
OPOTŘEBENIEOPOTŘEBENÍ  
OPOTŘEBENIEOPOTŘEBENÍ  
OPOTŘEBENIEOPOTŘEBENÍ  
OPOTŘEBENIE